

بسمه تعالی

وزارت صنایع و معادن

سازمان زمین‌شناسی و اکتشافات معدنی کشور

طرح اکتشافات مواد معدنی با استفاده از داده‌های ماهواردای و ژئوفیزیک هوایی

بررسی‌های دورسنجی بمنظور شناسایی پتانسیل مواد معدنی
در برگه ۱:۱۰۰،۰۰۰ تخت سلیمان

مجری طرح: محمد تقی کره‌ای

ناظر علمی:

سیمین مهدیزاده تهرانی

تهیه کننده:

مهرداد مدنی گیوی

بهار ۱۳۸۰

کتابخانه سازمان زمین‌شناسی و
اکتشافات معدنی کشور
تاریخ: ۸/۱/۶۴
شماره ثبت: ۸۰۹۲

کتابخانه سازمان زمین‌شناسی و
اکتشافات معدنی کشور

فهرست مطالب

صفحه	عنوان
الف.....	-تشکر و قدردانی.....
ب.....	-پیشگفتار.....
فصل اول: کلیات	
۱-۱- موقعیت جغرافیائی و ریخت‌شناسی	۲.....
۱-۲- زمین‌شناسی عمومی ناحیه مورد بررسی	۵.....
فصل دوم: مطالعات دورسنجی	
۲-۱- موزائیک کردن داده‌ها.....	۹.....
۲-۲- تصحیحات هندسی	۱۴.....
۲-۳- تصحیح‌های جوی	۱۸.....
۲-۴- پردازش تصاویر به منظور آشکارسازی و بارزکردن پدیده‌ها	۲۴.....
۱- افزایش کنتراست یا تباين	۲۷.....
۲- ایجاد تصاویر رنگی مجازی	۳۴.....
۳- عملیات ریاضی بین باندها و بکارگیری PCA	۳۴.....
۴- فیلتره کردن	۳۹.....
فصل سوم: زمین‌ساخت	
۱-۳- تکوین ساختاری منطقه تخت سلیمان	۴۳.....

عنوان	صفحه
۳-۲- تشخیص و تعیین ساختارهای زمین‌ساختی	۴۵
۱- گسل‌ها	۴۵
۲- چین‌خوردگی	۵۵
فصل چهارم: بارزسازی آلتراسیون	
۴-۱- مقدمه	۶۳
۴-۲- پردازش اطلاعات ماهواره‌ای	۶۴
۴-۳- تجزیه و تحلیل باندهای TM لندست	۶۴
۴-۴- ترکیب رنگ مجازی از تقسیم باندها	۶۶
۴-۵- پردازش بر اساس آنالیز مؤلفه‌های اصلی	۷۳
۱- آنالیز مؤلفه‌های اصلی برای چهار باند نقشه‌برداری هیدروکسیل	۸۰
۲- آنالیز مؤلفه‌های اصلی برای چهار باند نقشه‌برداری اکسیدآهن	۸۴
۴-۶- ترکیب کروست و نقشه‌برداری آلتراسیون	۸۸
نتیجه‌گیری	۸۹
منابع	۹۳

تشکر و قدردانی

برخود لازم می‌دانم از کلیه دوستان و همکارانی که در تهیه این گزارش و مطالعات دورسنجی مربوطه مرا یاری نموده‌اند تشکر و قدردانی نمایم. از آقای مهندس کرهای ریاست محترم سازمان بخاطر تلاش سازنده‌شان در جهت ایجاد فضایی مناسب برای مطالعات تحقیقاتی و خانم مهندس سیمین مهدیزاده که زحمت مطالعه این گزارش را تقبل کرده و نظراتشان را اعلام نمودند سپاسگزاری می‌کنم. از همکارم خانم طبیه سامانی که زحمت موائزیک اطلاعات و تصحیحات را به عهده داشته‌اند مشکرم و همچنین از آقای مهندس فریبرز قریب که مرا در برداشت صحرائی همراهی نموده‌اند و در تفسیرهای زمین اینجانب را راهنمائی کرده‌اند بی‌نهایت سپاسگزارم.

لازم است از خانم بقایی که زحمت تایپ گزارش را متحمل شده‌اند نیز قدردانی کنم.

پیشگفتار

سنچش از دور از جمله علوم و فنون جدیدی است که در سالهای اخیر به سبب پیشرفت کامپیوتر در فن آوری ماهواره‌ای و انواع سنجدندها بسرعت رشد کرده و توسعه یافته است. بکارگیری موفقیت‌آمیز فن سنچش از دور در موضوعات مختلف به ویژه زمین‌شناسی و اکتشافات معنی مستلزم داشتن مهارت کافی در آن موضوع و دانش لازم در پردازش صحیح تصویری می‌باشد.

یکی از ویژگیهای مهم تصاویر ماهواره‌ای، دید یکپارچه و وسیع آن است که امکان بررسی ادامه روندهای زمین ساختی، چین خوردگیها، رخنمون‌های سنگی و امتداد و شیب لایه‌های سنگی و سایر پدیدهای زمین‌شناسی را در یک محدوده مطالعاتی فراهم می‌سازد. به این منظور برگه تخت سلیمان با استفاده از پردازش اطلاعات رقومی سنجدنده TM ماهواره لندست با هدف موارد زیر مورد بررسی قرار گرفت:

- ۱- اعمال معادلات ویژه ریاضی و آماری جهت بارزسازی داده‌های ماهواره‌ای
- ۲- تفکیک واحدهای اصلی رخنمون سنگی بمنظور توجیه چین‌شناسی منطقه
- ۳- تشخیص و تفکیک نواحی دگرسان شده آرژیلیتی و سیلیسی و اکسید آهندار
- ۴- تشخیص و ترسیم ساختمانهای زمین‌شناسی و شکستگی‌ها با در نظر گرفتن سازوکار آنها
- ۵- تحلیل زمین ساختی منطقه بر اساس مطالعات دورسنگی
- ۶- ارتباط نواحی دگرسانی با زمین ساخت منطقه

فصل اول



فصل اول

۱- موقعیت جغرافیائی و ریخت‌شناسی

برگه ۱:۱۰۰،۰۰۰ تخت سلیمان بخشی از چهارگوش ۱:۲۵۰،۰۰۰ تکاب می‌باشد که در محدوده طول خاوری $۴۷^{\circ} ۳۰'$ تا $۴۷^{\circ} ۳۶'$ و عرض شمالی $۳۷^{\circ} ۳۰'$ واقع شده است. منطقه‌ای است کوهستانی و سخت گذر که در زمستان سرد و در تابستان دارای هوای معتدل می‌باشد. بلندترین نقطه ورقه، قله کوه بلقیس با بلندای ۲۲۳۰ متر و پست‌ترین نقطه آن در شمال روستای آقاج بالا با بلندای ۱۴۶۴ متر از سطح تراز دریا می‌باشد. این محدوده میان چهار استان آذربایجان خاوری - آذربایجان باختری، زنجان و کردستان قرار گرفته است. نقشه ۱-۱ موقعیت برگه تخت سلیمان را در شمال باختری ایران به همراه استانهای دربرگیرنده آن نشان می‌دهد.

راههای دسترسی به گستره ورقه عبارت است از:

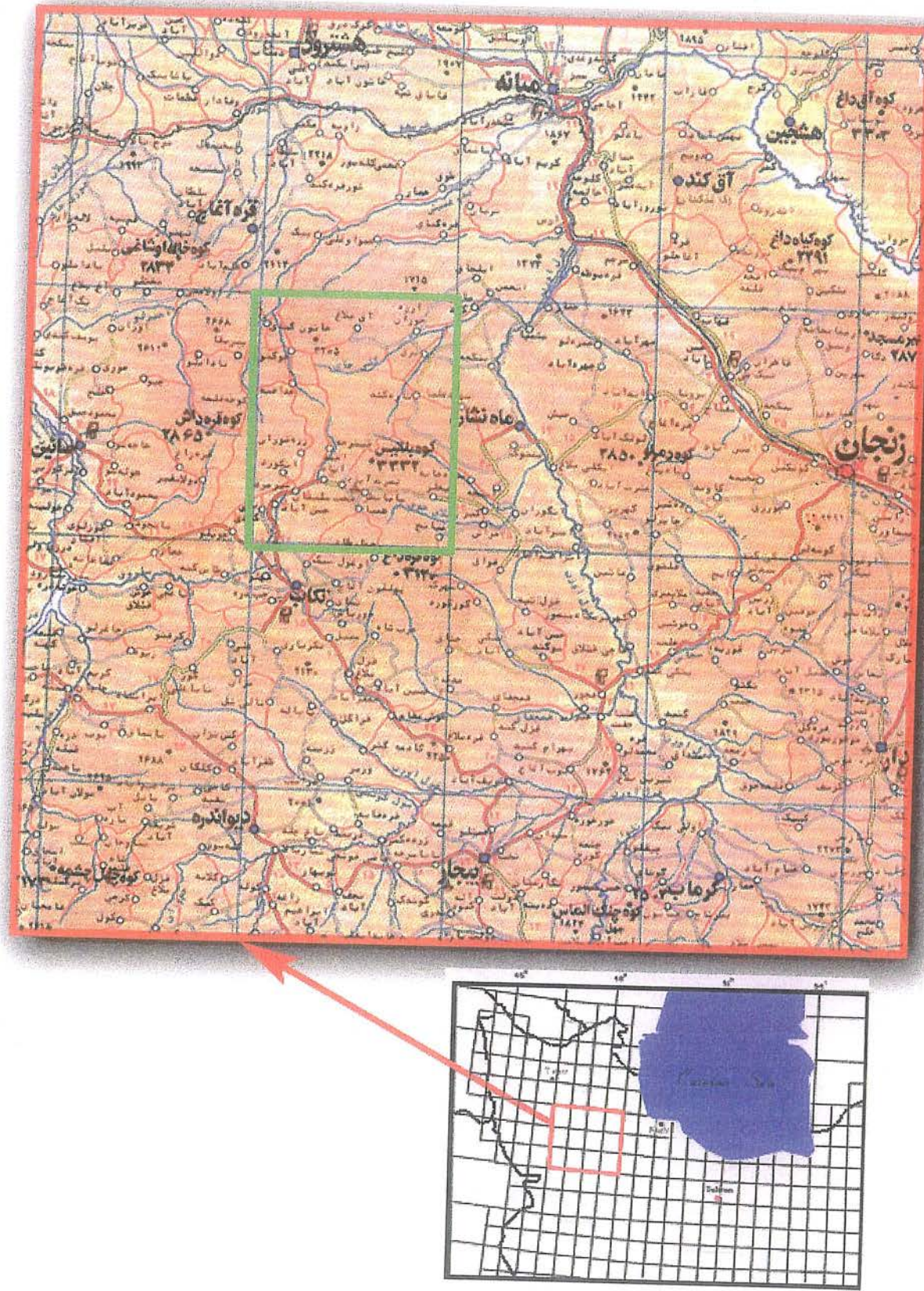
الف - برای مطالعات بخش‌های جنوبی و جنوب باختری منطقه از ۱۰ کیلومتری جاده آسفالت زنجان - بیجار، جاده‌ای به سمت کارخانه تغليظ روی دندی است که از آنجا به معدن انگوران، منطقه تخت سلیمان، معدن زره‌شوران و آق دره می‌توان دسترسی داشت.

ب - برای مطالعه بخش‌های شمالی و شمال باختری و خاور منطقه از طریق جاده ماهنشان که منشعب از جاده دندی است به سمت روستای پری و ذاکرکنی می‌رسیم که مسیری خاکی تا مالرو می‌باشد. نقشه شماره ۱-۲ نشان‌دهنده موقعیت برگه ۱:۱۰۰،۰۰۰ تخت سلیمان نسبت به چهارگوش ۱:۲۵۰،۰۰۰ تکاب - شاهین‌دژ و راههای ارتباطی آن می‌باشد.

بخش شمالی منطقه که بیشتر از سنگهای دگرگونی گنایس، مرمر و آمفیبولیت تشکیل شده، دارای توپوگرافی خشن و با دردهای پرشیب می‌باشد، در حالیکه بخش جنوب باختری آن بیشتر از رسوبات مارنی و ماسه سنگی و آهکی اولیگوسن - میوسن تشکیل شده و دارای توپوگرافی ملایمی است. مرز جداكتنده این دو بخش یک مرز گسلی است که سازوکار تراستی دارد. لازم به ذکر است که چشمه‌های جنوب باختری این گسل همه چشمه‌های آبگرم و آهک ساز می‌باشند، و آب چشمه‌های شمال خاوری این گسل سرد و پرآب می‌باشد.



نقشه ۱-۱- موقعیت برگه تخت سلیمان در شمال باختری ایران به همراه استانهای در برگیرنده



نقشه ۱-۲- نشاندهنده موقعیت برگه تخت سلیمان نسبت به چهارگوش تکاب - شاهیندز

۲-۱-زمین‌شناسی عمومی ناحیه مورد بررسی:

منطقه مورد مطالعه از نظر ساختمانی بخشی از زون سنتنگ - سیرجان (اشتوکلین ۱۹۶۸) و زون خوی - مهاباد (نبوی ۱۳۵۵) بوده و محل برخورد زون‌های ساختاری البرز - آذربایجان، ایران مرکزی و سنتنگ - سیرجان است و از آن رو دارای ویژگی‌های زون‌های یاد شده نیز می‌باشد.

تنوع سنگی در گستره برقه $1:100,000$ تخت سلیمان زیاد است و بیشترین رخمنون سنگی در این محدوده مربوط به مجموعه سنگ‌های دگرگونی شامل شیست، مرمر، گنایس و آمفیبولیت است که با روند شمال باختری - جنوب خاوری در بخش میانی منطقه مورد مطالعه قرار گرفته‌اند. این مجموعه از سنگ‌ها با توپوگرافی خشن، بلندترین ارتفاعات را در این منطقه تشکیل می‌دهد.

بخش وسیعی از منطقه مورد بررسی (بیش از 50 درصد سطح نقشه) را سنگ‌های رسوبی و آتشفشاری الیگوسن - میوسن تشکیل می‌دهند که بطور ناهمسان بر روی سنگ‌های دگرگونی کهن گرفته‌اند. سنگ‌های رسوبی الیگوسن شامل پی کنکلومرائی و ماسه سنگی قرمز رنگ است که شاید بتوان آن راهم ارز سازند سرخ زیرین دانست. بر روی این رسوبات، واحدهای سنگی مربوط به الیگوسن - میوسن شامل آهک توده‌ای و ریفی، تناوبی از شیل و سیلتستون توفی و نیز مارن و ماسه سنگ با میان لایه‌هایی از گچ دیده می‌شوند که هر کدام می‌تواند هم ارز با بخش‌هایی از سازند قم باشند.

سنگ‌های آتشفشاری الیگوسن - میوسن بر روی واحد آهکی توده‌ای و یا کنکلومرا و ماسه سنگ الیگوسن و همچنین در بین واحدهای رسوبی الیگوسن - میوسن جای گرفته‌اند که شامل واحدهای توف برشی - توف با ترکیب آندزیتی بیانگر فعالیت آتشفشاری در محیط زیر آب و نیز ردیفی از گدازه‌ها و توقفهای داسیتی تا آندزیتی است.

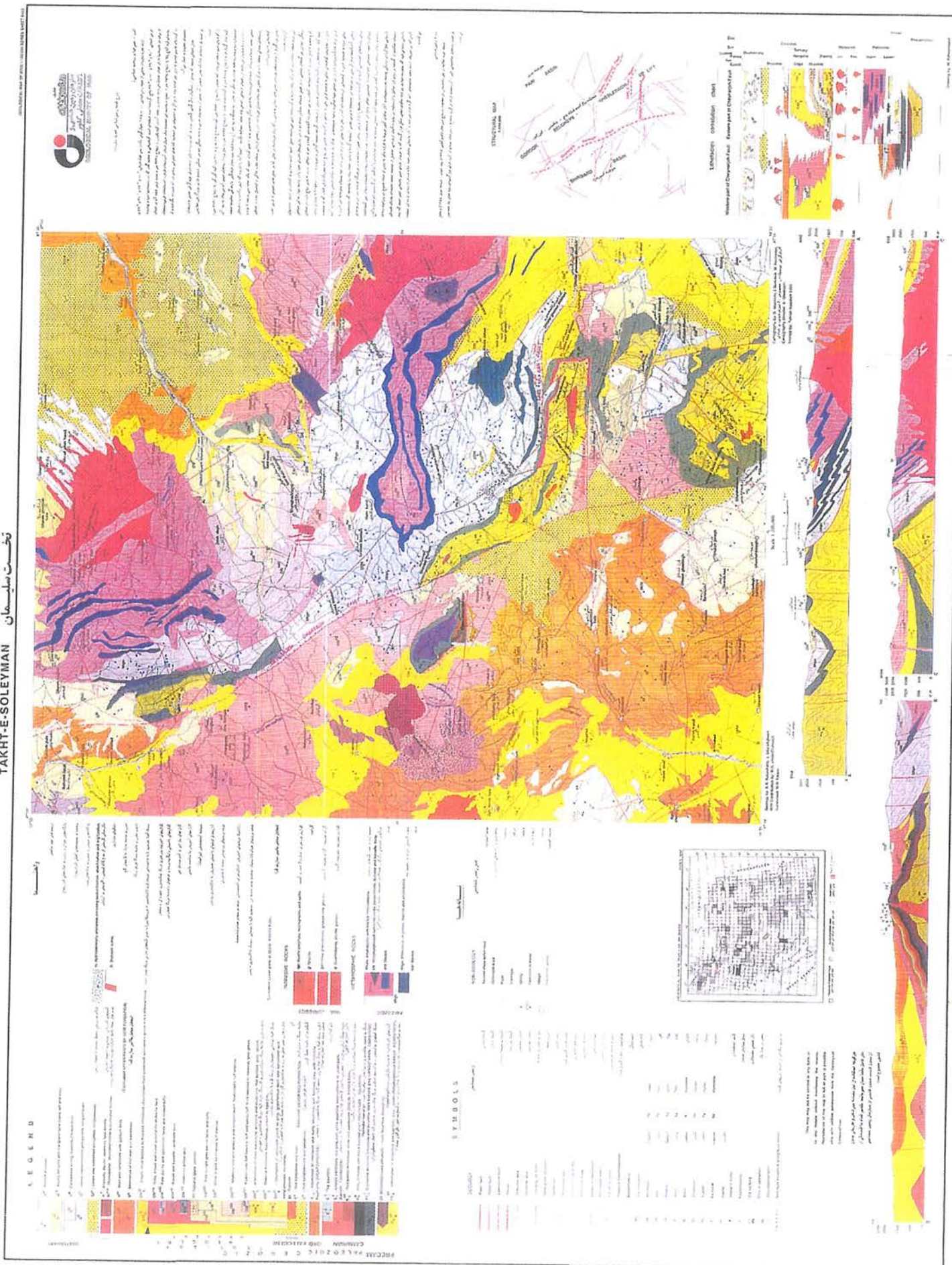
بر روی واحدهای مارتی و ماسه سنگی گچ دار و گدازه‌های آندزیتی تناوبی از مارن و ماسه

سنگ قرمزنگ همراه با گچ بطور ناهمساز قرار می‌گیرد که در بخش جنوب باختری منطقه بیشترین گسترش را داشته و بر روی آنها نهشته‌های آهک آب شیرین حاصل فعالیت چشمehای آهک ساز بصورت لایه‌های افقی دیده می‌شود. رسوبات این واحد را شاید بتوان هم ارز سازند سرخ فوقاری در نظر گرفت.

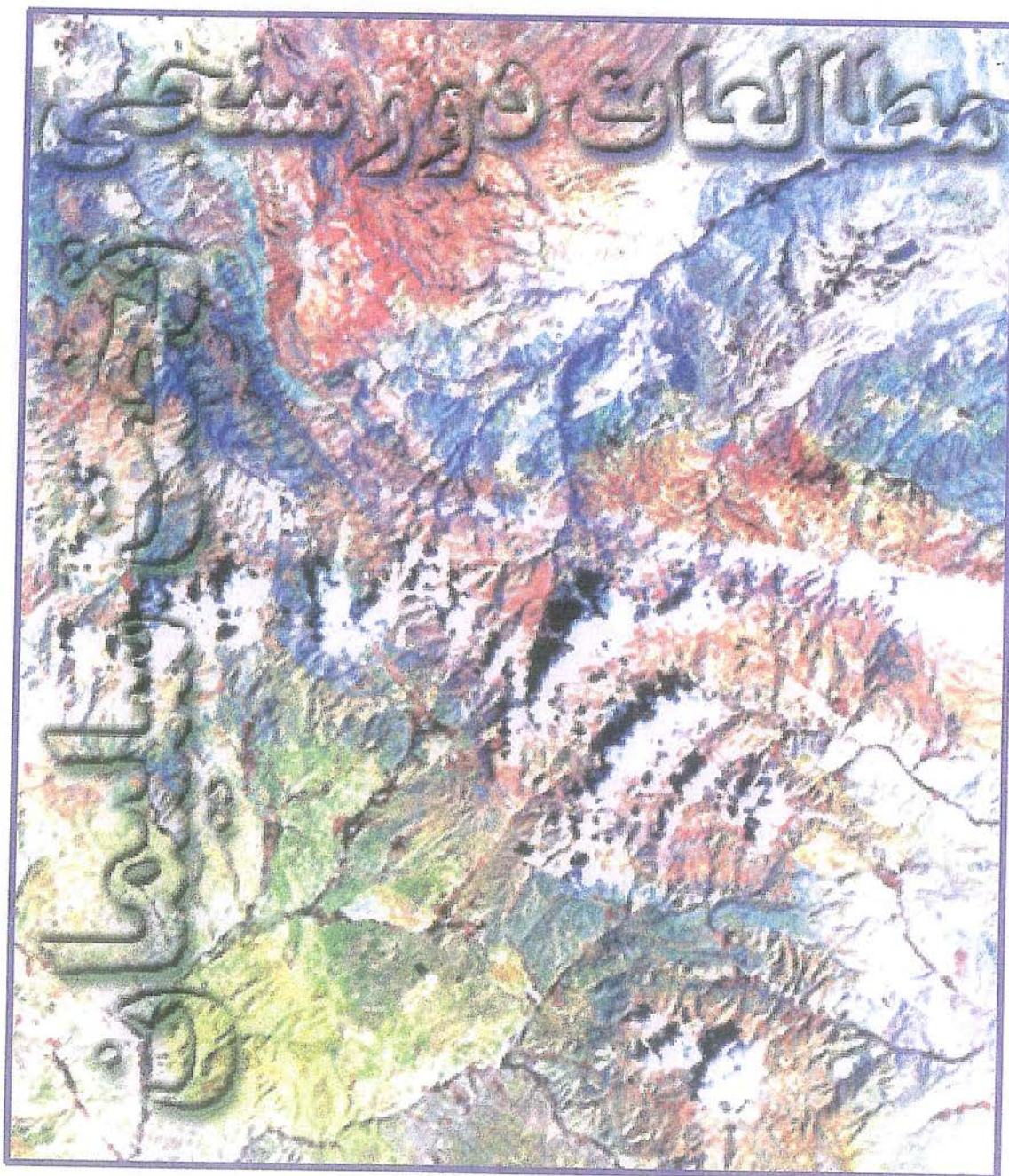
در شمال خاور منطقه رسوبات کنگلومرائی - رسی با شبکه کم و بطور ناهمساز بر روی رسوبات مارنی و ماسه سنگی الیگوسن و سنگهای قدیمی‌تر قرار گرفته است که دارای رخساره سیلابی بوده و به احتمال هم ارز سازند هزار دره در البرز می‌باشند.

از رسوبات منسوب به کواترنری می‌توان رسوبات آبرفتی پادگانه‌های کهن، رسوبات آبرفتی مخروط افکنه‌ای دشت و آبرفت‌های جوان رودخانه‌ای را نام برد. در این زمان گستره عظیمی از نهشته‌های تراورتن دیده می‌شود که حاصل فعالیت چشمehای آهک ساز با آبهای سرد و گرم می‌باشند. نقشه ۱-۳ زمین‌شناسی برگه ۱:۱۰۰,۰۰۰ تخت سلیمان را با واحدهای چینه‌شناسی مربوطه نشان می‌دهد.

نقشه ۳- نقشه زمین‌شناسی برگه تخت سلیمان



فصل دوم



مطالعات دورسنگی:

برگه ۱۰۰،۰۰۰ تخت سلیمان از موزائیک کردن دو صحنه (سین) مختلف اطلاعاتی سنجنده TM تشکیل شده است. صحنه شمالی آن همانطور که در جدول ۱-۲ نشان داده شده است، از داده های رقومی ماهواره لندست ۴ به شماره گذر ۱۶۷ و شماره ردیف ۳۴ که در تاریخ ۲۸ می ۱۹۹۱ در هفت باند طول موجی و قابلیت تفکیک زمینی ۲۸/۵ متر (بجز باند شش با قابلیت تفکیک زمینی ۱۲۰ متر) دریافت شده است. صحنه جنوبی که در جدول ۲-۲ بر اساس توضیحات کامل در فایل معرف (Header) صحنه دیده می شود، از داده های رقومی ماهواره لندست ۵ به شماره گذر ۱۶۷ و شماره ردیف ۳۵ که در تاریخ ۱۹۸۷ اگوست ۲۹ در هفت باند طیفی و نیز قابلیت تفکیک زمینی (Resolution) ۲۸/۵ متر دریافت شده، استفاده گردیده است.

بررسی های دورسنگی در گستره برگه تخت سلیمان طی مراحل ذیل انجام گرفته است:

۱- موزائیک کردن داده ها

۲- تصحیح هندسی

۳- تصحیح جوی

۴- پردازش تصویر به منظور آشکارسازی و بارز کردن پدیده ها

۱-۲- موزائیک کردن داده ها:

برای موزائیک کردن داده ها ابتدا صحنه های اطلاعاتی مربوطه با بهره گیری از نرم افزار های ویژه پردازش تصویر خوانده شدند. تصویر شماره ۱-۲ تمامی سین شمالی (۱۶۷/۳۴) و تصویر شماره ۲-۲ تمامی سین جنوبی (۱۶۷/۲۵) را نشان می دهد.

برای بدست آوردن تصویری یکسان از منطقه بیش از ۳۰ نقطه مشترک در مناطق هم پوشانی دو تصویر شمالی و جنوبی انتخاب گردید. خط موزائیک با توجه به توپوگرافی منطقه و بهترین مسیر عبور این خط ترسیم شد تا اثر خط و اختلافات دو تصویر در دو طرف این خط دیده نشود.

MSH Data Tape Source Header Listing EASI /PACE V4.2 08:30 21-OCT-96

EOSAT Fast format (Band Sequential) tape header

Scene ID	:	2233077 -01 WRS =167/03400
Date (YYYYMMDD)	:	1991/05/28
Satellite	:	L4
Instrument	:	TM10
Product Type	:	ORBIT ORIENTE
Projection	:	SOM
USGS Projection #	>	21
USGS Map Zone	>	167
Pixel size (meters)	>	28.50
List of bands on tape :		1234567
Pixels per scanline	>	6967
Scanlines per image	>	5965
List of bands on tape :		7
Record length (bytes)	>	27868
Blocking factor	>	4

Longitude DDMMSS.SSSSH	Latitude DDMMSS.SSSSH	Easting (meters)	Northing (meters)
Upper-left : 0464612.3414E		382425.3646N	434116.221 15823369.079
Upper-right : 0490003.0624E		380506.3377N	632350.484 15834219.646
Lower-right : 0483813.0765E		363453.7278N	623060.679 16003939.593
Lower-left : 0462656.9374E		365350.1853N	424826.416 15993089.025

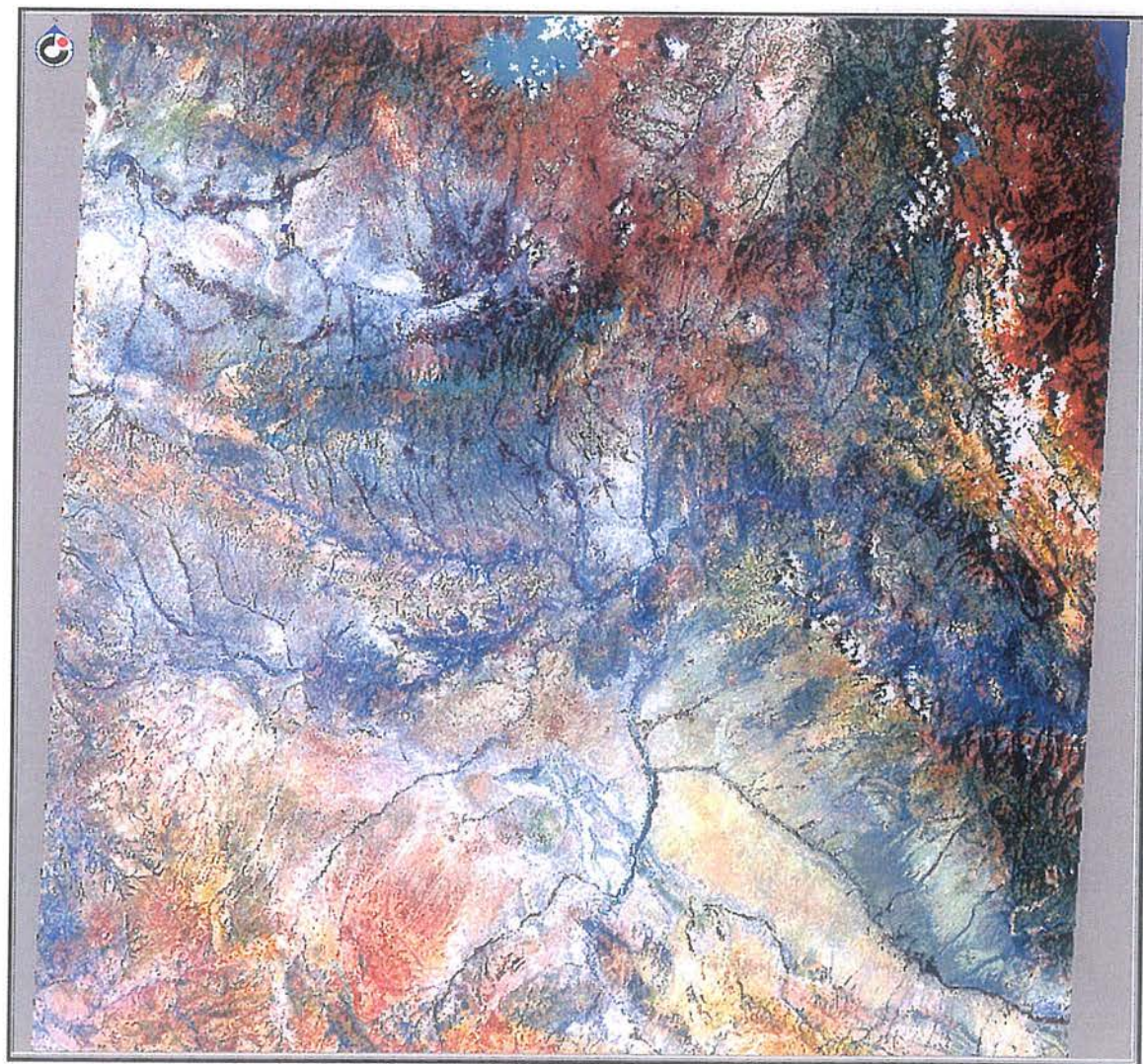
جدول ٢-١- توضیحات فایل معرف سین اطلاعاتی TM مربوط به ١٦٧/٣٤

MSH Data Tape Source Header Listing EASI/PACE V4.2 08:30 21-OCT-96

EOSAT Fast format (Band Sequential) tape header

Scene ID :	2233078-01	WRS =167/03500
Date (YYYYMMDD) :	19870829	
Satellite :	L5	
Instrument :	TM10	
Product Type :	ORBIT ORIENTE	
Projection :	SOM	
USGS Projection # >	21	
USGS Map Zone >	167	
Pixel size (meters) >	28.50	
List of bands on tape :	1234567	
Record length (bytes) >	27868	
Pixels per scanline >	6967	
Scanlines per image >	5965	
List of bands on tape :	7	
Blocking factor >	4	

	Longitude DDMMSS.SSSSH	Latitude DDMMSS.SSSSH	Easting (meters)	Northing (meters)
Upper-left	: 0463242.0615E	365643.2881N	432721.381	15986832.133
Upper-right	: 0484359.8164E	363733.0055N	630942.673	15997917.130
Lower-right	: 0482247.2762E	350717.2546N	621452.159	16167625.972
Lower-left	: 0461353.4316E	352605.8700N	423230.866	16156540.974



تصویر ۱-۲- تصویر سین اطلاعاتی TM با شماره گذر ۱۶۷ و ردیف ۳۴ در برگیرنده

شمال منطقه برگه تخت سلیمان



تصویر ۲-۲- تصویر سین اطلاعاتی TM با شماره گذر ۱۶۷ و ردیف ۳۴ دربرگیرنده

جنوب منطقه برگه تخت سلیمان

با توجه به اختلاف تاریخ اخذ دو تصویر (بهار و تابستان) هیستوگرام‌های درجات روشنائی دارای اختلاف زیادی بودند که با بهره‌گیری از روش‌های ویژه‌ای تصویر همسانی تهیه گردید.
تصویر ۲-۳ تصویر موزائیک شده منطقه قبل از اعمال تصحیح هندسی می‌باشد.

متاسفانه بعلت وجود پوشش ابر زیاد در صحنه ۱۶۷/۳۵ موزائیک این دو صحنه مشکلاتی داشته، از جمله مشخص بودن خط موزائیک در تصویر تلفیق شده، پوشیده شدن واحدهای سنگی و پدیدهای زمین ساختی. افزون بر آن پوشش ابر تاثیر زیادی بر روی محاسبات آماری و معادلات ریاضی گذاشت که منجر به اشتباهاتی در این محاسبات بعلت ایجاد واریانس زیاد و ضریب انحراف بسیار شده است.

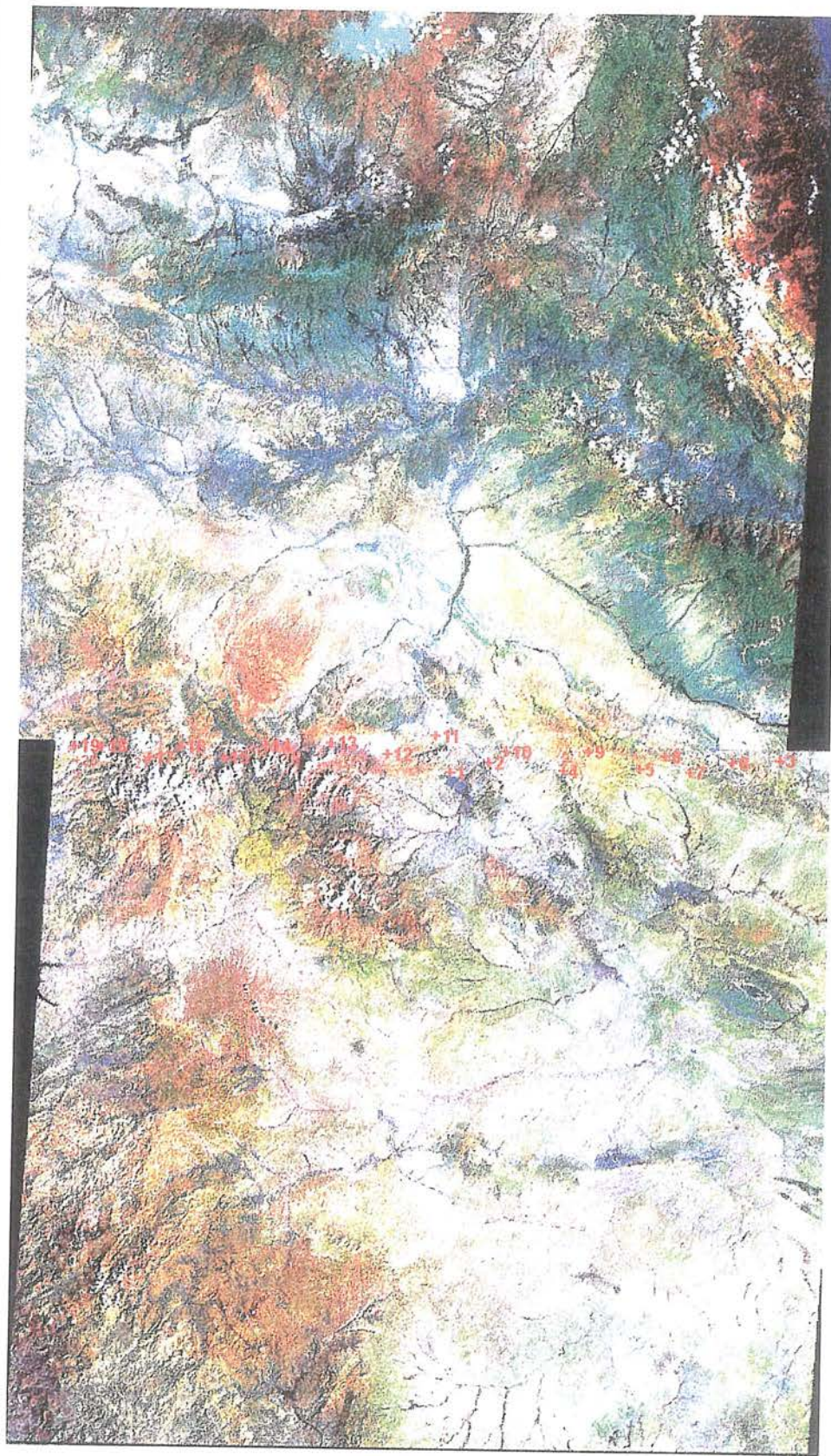
۲-۲-تصحیحات هندسی:

برای اینکه تصویر ماهواره‌ای یک منطقه مختصات جغرافیایی نقشه همان منطقه را داشته باشد، یعنی مختصات تصویر از پیکسل و خط اسکن به مختصات جغرافیایی نقشه سیستم UTM و طول و عرض جغرافیایی تبدیل شود لازم است که یکسری تصحیح‌های هندسی روی تصویر ماهواره‌ای اعمال شود. زیرا تصاویر ماهواره‌ای لندست دارای خطاهای هندسی می‌باشد که عوامل زیر در ایجاد آن دخیل می‌باشند:

الف - خطاهای تجهیزات سنجنده، شامل انحرافات در سیستم نوری، خطی نبودن مکانیسم اسکن و بالاخره عدم یکنواختی کادر پیکسهای انتخاب شده

ب - انحراف پانوراماتیک که در سنجنده‌های AVHRR با میدان دید باز (Wideangle) نسبت به سنجنده‌ای با میدان دید کم از قبیل لندست و اسپات بیشتر است.

ج - حرکت وضعی زمین، در حالی که ماهواره به طرف خاور در حرکت است زمین در حرکت وضعی به سمت باختر در گردش بوده، بنابراین شروع هر خط اسکن به صورت فزاینده به طرف باختر متمایل می‌شود.



تصویر ۳-۲- تصویر موزائیک شده دو سین اطلاعاتی TM قبل از اعمال تصحیح هندسی

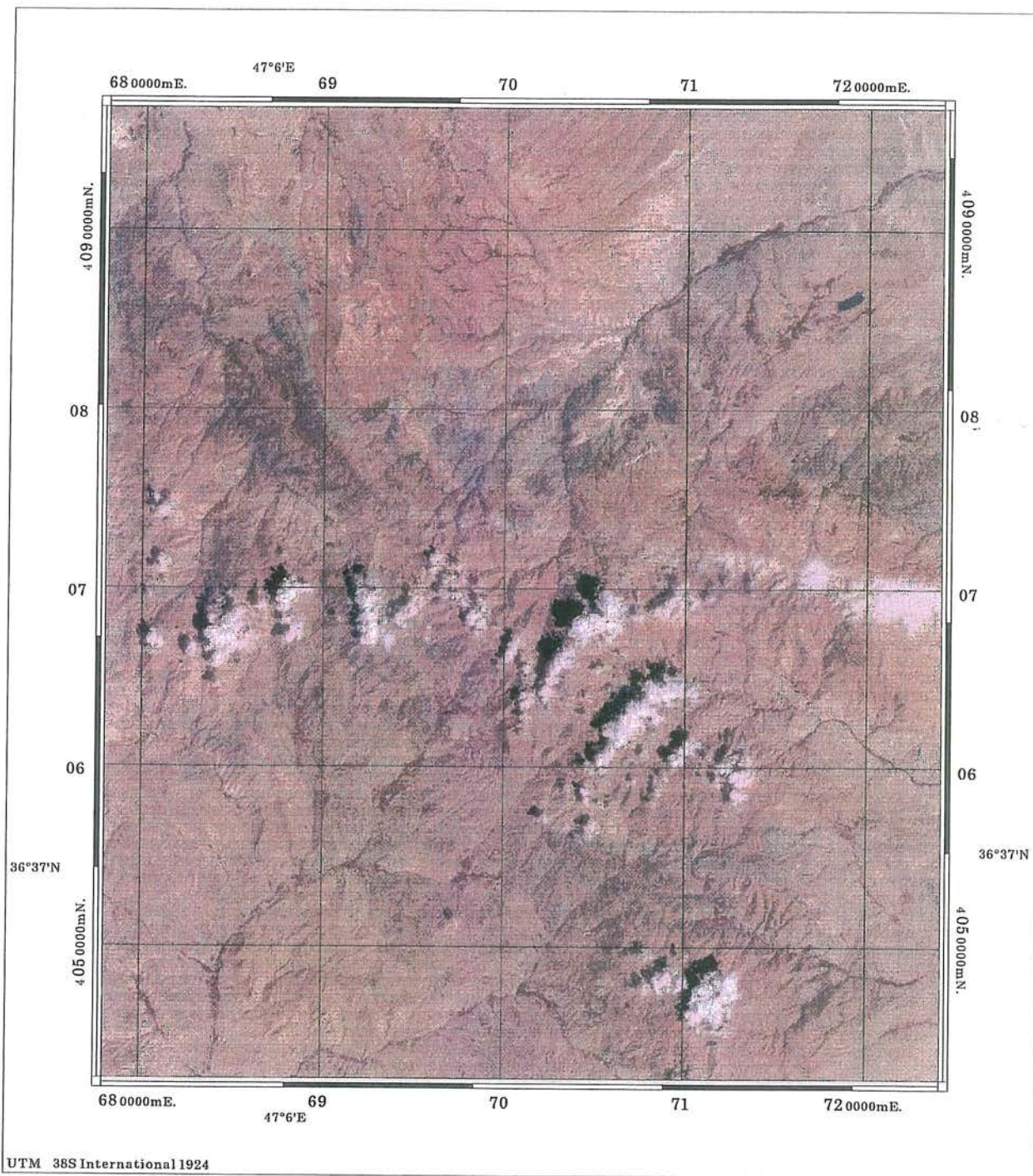
د - عدم ثبات سکوها ماهواره‌های منابع زمینی که حاوی سنجنده نوع TM هستند دارای سکوها پایدار و ثابتی نیستند، بدین معنی که ممکن است ارتفاع آن نسبت به سطح زمین، سرعت ماهواره و وضعیت آن که با شبیب (حرکت در حول محور عرض مسیر)، انحراف (حرکت در طول محور قائم) و رُل (حرکت در حول محور طول) مشخص می‌شود، متغیر باشد.

تمامی این تغییرات اختلافاتی را در هندسه و مقیاس تصویر ممکن است ایجاد نماید، که در نتیجه تصویر تصحیح نشده تصویر واقعی زمین نیست. پس از عملیات موzaïek کردن، تصویر بر اساس نقاط زمینی دارای مختصات تصحیح می‌گردد. نظر به اینکه بررسیهای دورسنجی در این ورقه در مقیاس $1:100,000$ می‌باشد، بنابراین نقشه‌های توپوگرافی پوشش سراسری به مقیاس $1:50,000$ مبنای تصحیحات قرار گرفته است. با توجه به اینکه زمان تهیه تصویر با زمان تهیه جدیدترین نقشه تفاوت قابل توجهی دارد، در انتخاب نقطه کنترل زمینی دقیق شده تا مناطقی که در فرآیند فرسایش و تغییرات سطح زمین قرار داشته مانند رویخانه‌ها، حاشیه جنگلها و مزارع و مناطق ساحلی و... به عنوان نقاط کنترل زمینی انتخاب نشود، بلکه بهترین نقاط کنترل زمینی می‌تواند تقاطع جاده‌ها و دره‌ها و آبراهه‌ها، قله کوهها و خلاصه پدیده‌ها و احياناً پارهای سازدهایی که دستخوش تغییر قرار نگرفته و هم در نقشه و هم در تصویر براحتی قابل تشخیص و تطبیق باشد. در ورقه تخت سلیمان در مجموع 120 نقطه کنترل زمینی انتخاب شد و برای یافتن ارزش عددی هر پیکسل در تصویر اصلاح شده و از روش واسط یابی (interpolation) استفاده شده که یکی از انواع روش واسط یابی، روش نزدیکترین همسایه (nearest neighbour) می‌باشد. در این روش مقدار پیکسل خاصی که نزدیکترین فاصله را با مختصات پیکسل تصویر شده دارد، انتخاب می‌شود.

این روش دو مزیت دارد: یکی اینکه سرعت این روش زیاد بوده و دوم اینکه ارزش‌های عددی اخلاقی داده شده به هر پیکسل در تصویر تصحیح شده مستقیماً از تصویر خام کپی شده و در نتیجه ارزش واقعی پیکسل‌ها است. تصویر شماره ۲-۴ نمایی از برگه $1:100,000$ تخت سلیمان را پس از تصحیح هندسی و قبل از آشکارسازی نشان می‌دهد.

Color Composite Map of Takht-e-Soleyman

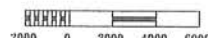
Bands : R= B5 , G= B3 , B= B1 Without Enhancement



BY : Remote Sensing Group of G.S.I.

M. Madani Givi

1:350000



تصویر ۲-۴-نمایی از برگه تخت سلیمان پس از تصحیح هندسی و قبل از آشکارسازی

شمال منطقه برگه تخت سلیمان

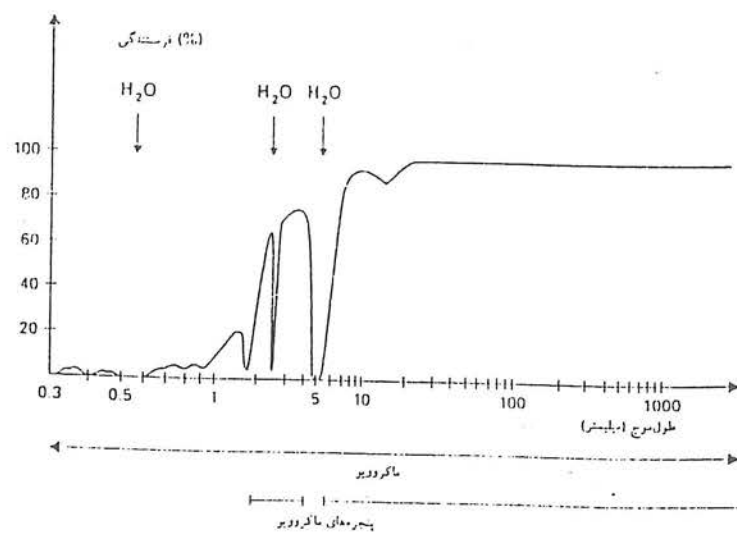
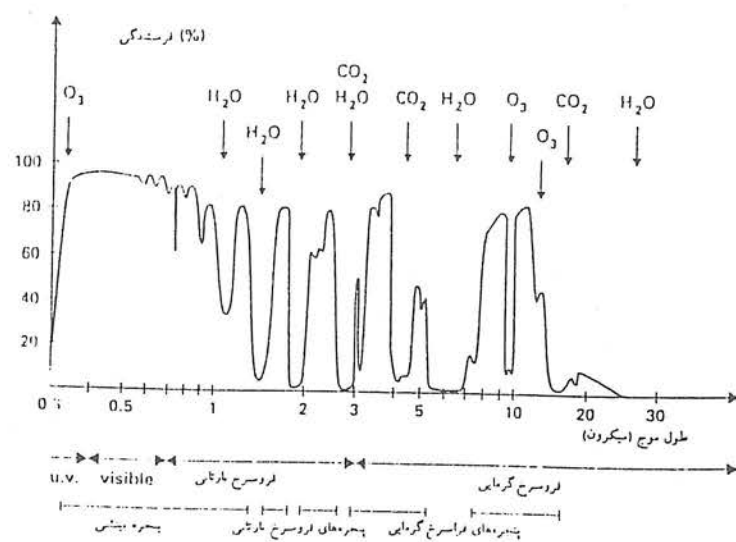
۲-۳- تصحیح‌های جوی:

سنجدندهای لندست، امواج الکترو مغناطیسی حاصل از انعکاس نور خورشید از سطح زمین را ثبت می‌کنند، با توجه به اینکه این امواج در هنگام عبور از جو زمین با مواد معلق و مولکول‌های گاز سازنده جو برخورد می‌کند، منجر به پراکنش و جذب این امواج به وسیله جو زمین می‌گردد. استفاده از بخش‌هایی از طیف الکترو مغناطیسی که پراکنده و جذب شده است ممکن نیست، زیرا فرآیند پراکنش و جذب باعث تیره و تار شدن تصاویر ماهواره‌ای می‌گردد.

بخش‌هایی از طیف الکترو مغناطیسی که پراکنش و جذب جوی بر آنها تاثیر کمتری داشته‌اند بنام پنجره جوی (Atmospheric Window) گفته می‌شوند. این پنجره‌های جوی بیشترین مقدار تابش الکترو مغناطیسی را عبور می‌دهند. نمودار ۲-۱ ارتباط طول موج و جذب آنها توسط اتمسفر و پنجره‌های جوی را نشان می‌دهد. بیشترین جذب مربوط به ذخایر آب (H_2O)، دی‌اکسید کربن (CO_2) و ازن (O_3) می‌باشد، ازون مهمترین جذب کننده امواج طیف فرابنفش (Ultraviolet) می‌باشد.

اگر طول موج‌های دریافتی در هفت باند سنجدنده TM ماهواره لندست در نمودار ۲-۱ در نظر گرفته شود، ملاحظه می‌شود که حدود تغییرات طیفی هر یک از باندهای سنجدنده TM تنها در محدوده پنجره‌های جوی که تقریباً کمترین جذب و پراکنش جوی را دارد، قرار می‌گیرند، چون امواج الکترو مغناطیس بدون جذب و پراکنش از جو زمین عبور نمی‌کند، بنابراین بر روی تصویر ایجاد تیرگی و مه آلودگی می‌شود که در نتیجه آن کنتراست بین عوارض تصویر کاهش می‌یابد.

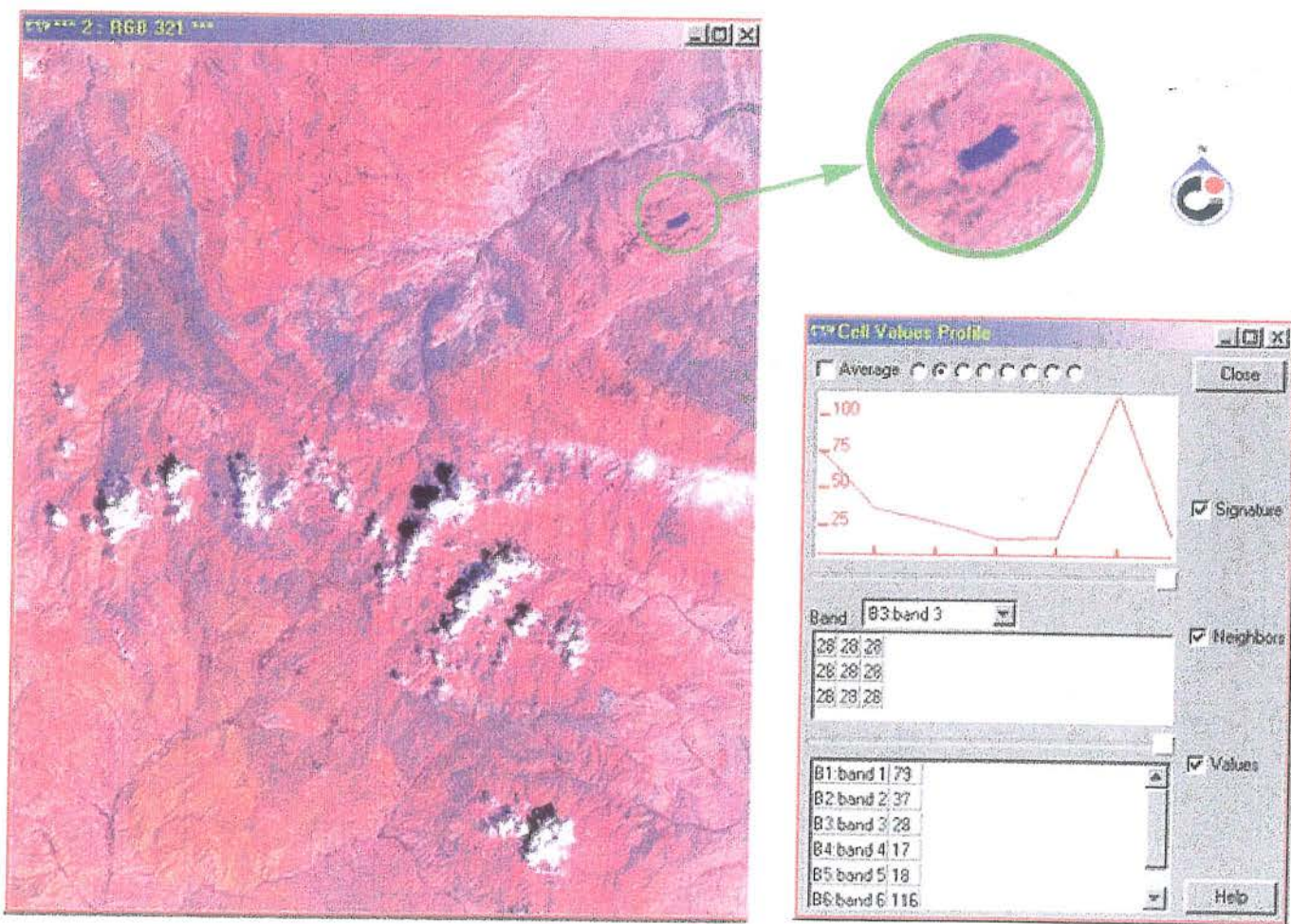
پراکنش و جذب، در نتیجه برخورد امواج الکترو مغناطیسی تابیده شده از خورشید با مولکول‌های گاز و یا ذرات موجود در جو روی می‌دهد که این ذرات می‌تواند منشا طبیعی و یا فعالیت‌های انسانی داشته باشد. بنابراین تمرکز ذرات در جو، در زمان و مکان متغیر است، بنابراین شفافیت و کنتراست بین عوارض بسته به شرایط موجود در زمان و مکان متفاوت می‌باشد. پس از افزایش کنتراست و شفافیت در تصویر ماهواره‌ای لازم است تصحیحات جوی را برای هر یک از باندهای سنجدنده TM اعمال نمود.



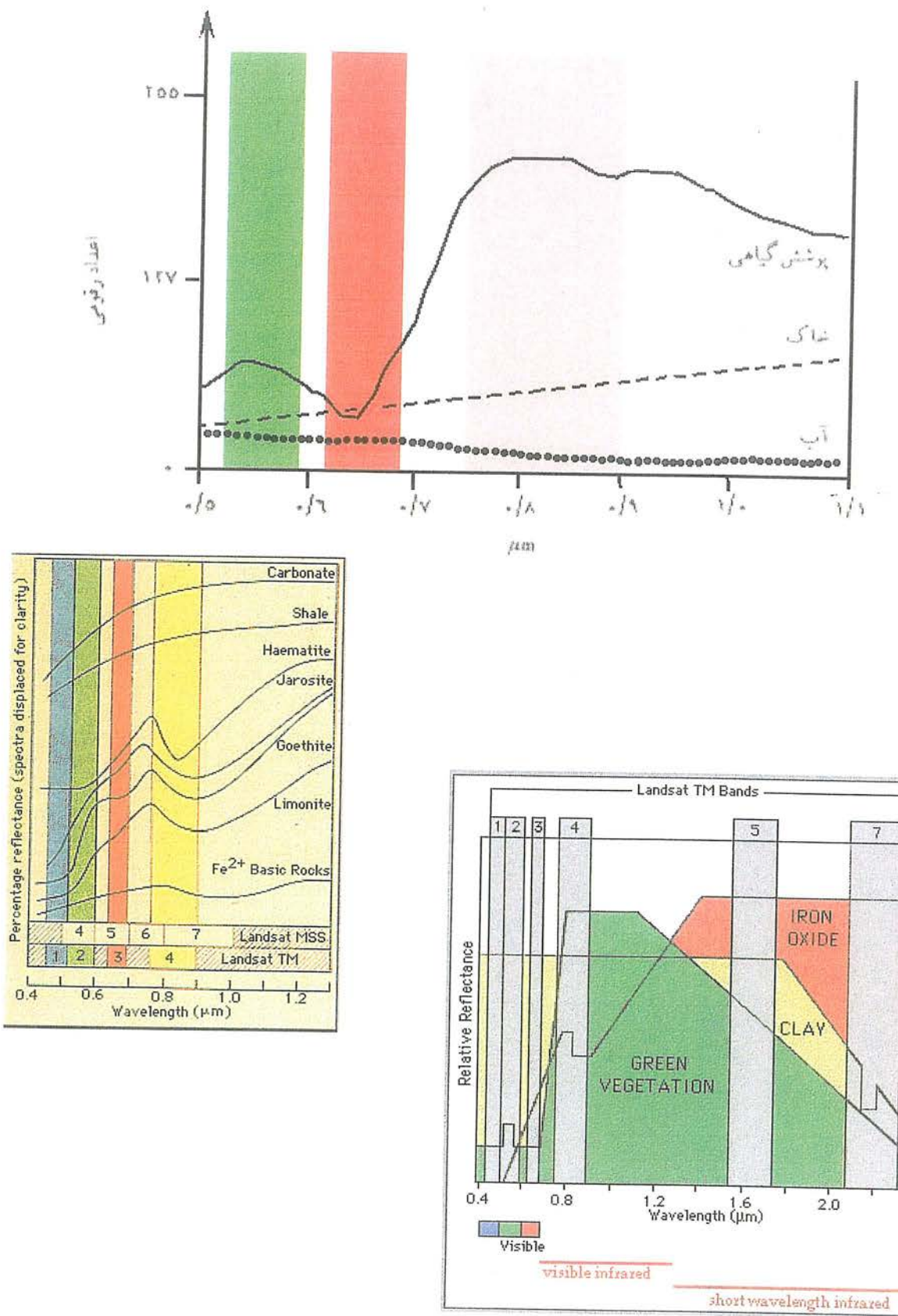
نمودار ۲-۱- نمودار پنجره‌های جوی و ارتباط طول موج و جذب آنها توسط اتمسفر

تصویر شماره ۵-۲، تصویر خام بدون آشکارسازی و پیش از تصحیحات جوی می‌باشد. همانطور که دیده می‌شود واحدهای سنگی و پدیدهای زمین‌شناسی به روشنی قابل تشخیص و قابل تفکیک نیست. نمودار ۲-۲ که نشان دهنده بازتاب طیفی ایده‌آل پوشش گیاهی، آب و خاک می‌باشد، می‌توان کاهش محسوس انعکاس طیفی آب را با افزایش طول موج مشاهده کرد. بنابراین انعکاس طیفی آبهای عمیق و شفاف در طول موج مادون قرمز نزدیک به صفر است که این بازتاب طیفی تحت تاثیر تمرکز مواد محلول و معلق و نیز عمق آب تغییر یافته و زیاد می‌شود.

در گوشه سمت راست بالای تصویر شماره ۵-۲ دریاچه پرورش ماهی منطقه پری بعنوان نمونه انتخاب شده است که در قسمت‌های میانی دریاچه عمیق آب زیاد است و می‌توان انتظار داشت که در محدوده باندهای مادون قرمز سنجنده TM مقدار بازتاب نزدیک صفر باشد، ولی همانطور که در قسمت پایین تصویر مشاهده می‌شود و برای این محدوده از باندهای (TM) یک مقدار عددی محاسبه شده است که این مقدار نشان دهنده اثرهای جوی بروی مقدار بازتاب طیفی سطح زمین می‌باشد. همانطور که در نمودار ۱-۲ دیده می‌شود، پراکنش جوی با طول موج نسبت عکس دارد یعنی اینکه با کاهش طول موج مقدار پراکنش افزایش می‌یابد. یکی از روش‌های بکار رفته در تصحیحات جوی روش رگرسیون (Regression) است. با توجه به اینکه پیکسل‌های مناطقی از تصویر بازتاب کم (آب صاف، سایه و بازالت تیره) در باندهای با طول موج کوتاه مادون قرمز (SWIR) باند TM7 ارزش عددی نزدیک به صفر دارند پس تمامی باندها را نسبت به باند TM7 که مقدار پراکنش حداقل دارد، در نظر می‌گیریم. تصویر ۶-۲ نمودار پراکندگی (Scatter plot) باندهای TM1,2,3,4,5 نسبت به TM7 را قبل از تصحیحات جوی نشان می‌دهد. با استفاده از روش رگرسیون استاندارد، بهترین خط مستقیمی که بتواند از داخل هر یک از نمودار پراکندگی‌ها عبور کند را در نظر می‌گیریم که انحراف این خط در محور X در هر یک از باندها بیانگر مقدار پراکنش جوی می‌باشد که با کم کردن این مقادیر از هر یک از باندهای مربوطه می‌توان اثرات جوی را کاهش داد. با توجه به این نمودارها، توزیع فراوانی تجمعی هر یک از نسبت باندها از باند TM1 تا TM7 به سمت صفر میل می‌کند که این همان نسبت عکس طول موج با میزان پراکنش را نشان می‌دهد.

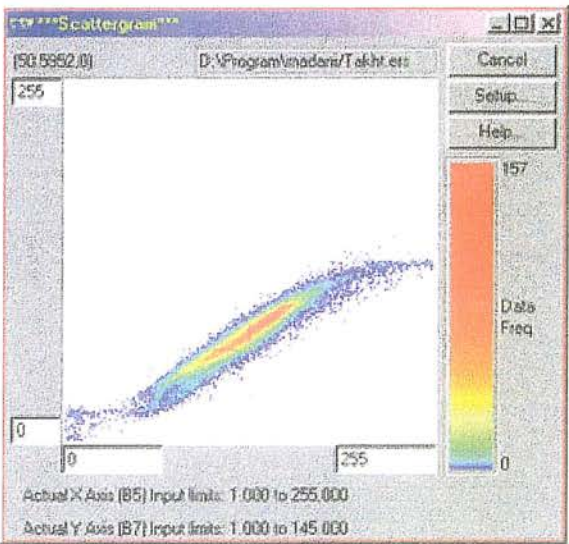
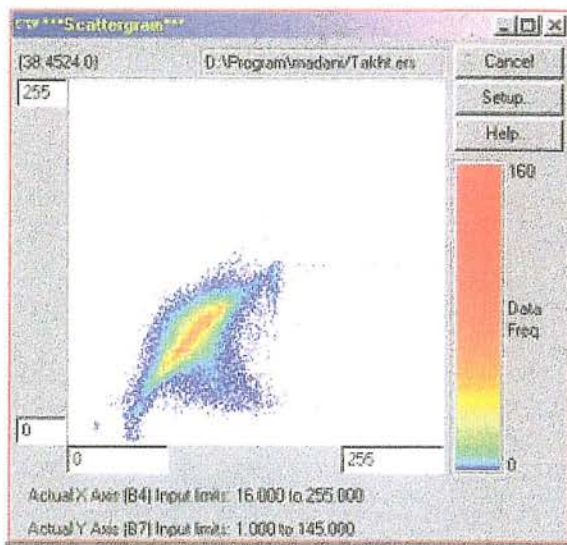
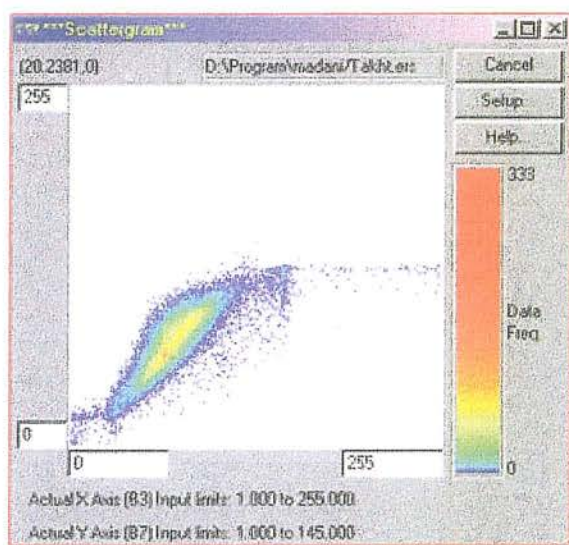
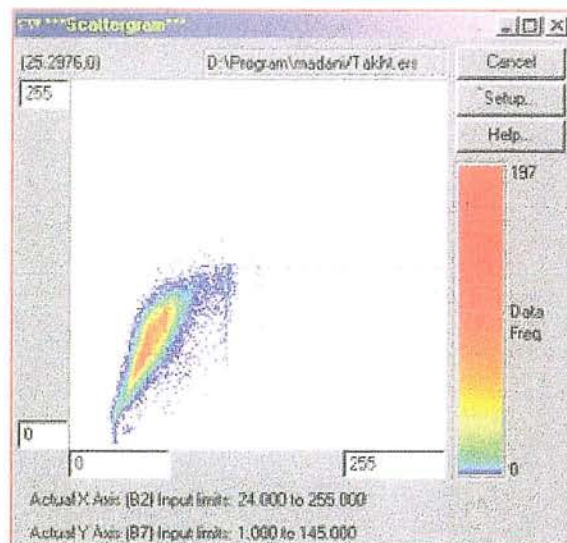
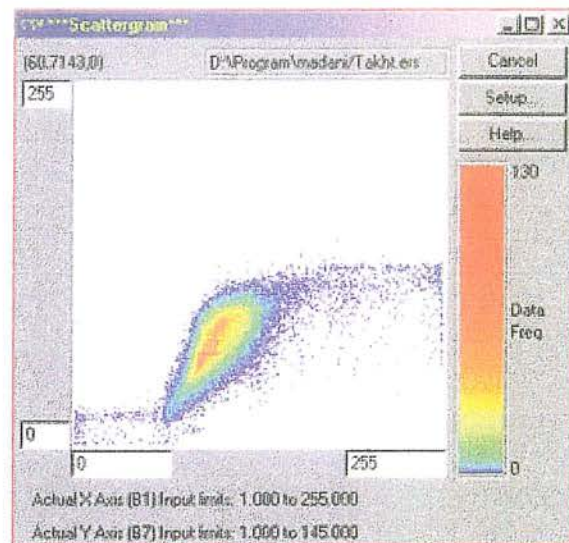


نمودار ۲-۵- تصویر خام بدون آشکارسازی و پیش از تصحیحات جوی برگه تخت سلیمان



نمودار ۲-۲- نشانه هنده بازتاب طیفی ایده آل پوشش گیاهی، آب و خاک (a)

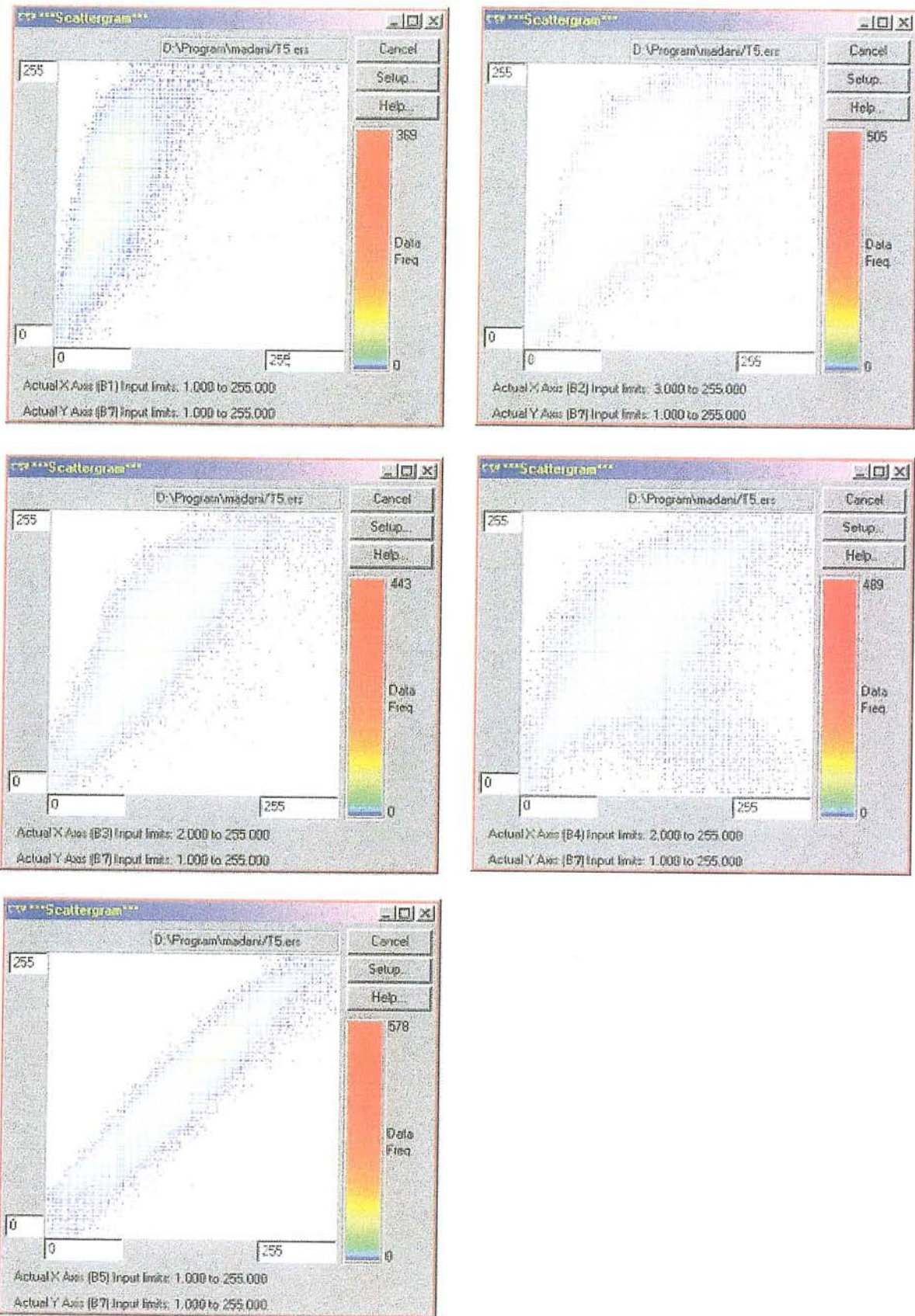
طول موج بعضی از سنگها و کانیها (b)



نمودار ۲-۶- نمودار پراکندگی باندهای TM1,2,3,4,5 نسبت به TM7 قبل از تصویحات هندسی

تصویر شماره ۲-۷ تصویر خام بدون آشکارسازی و بعد از تصحیحات جوی می‌باشد، که تصویری واضح و شفاف نسبت به تصویر خام پیش از تصحیحات جوی می‌باشد و تا حدودی واحدهای زمین‌شناسی در آن قابل تشخیص می‌باشد. در این تصویر منحنی مربوط به بازتاب هر باند TM از دریاچه پری در منطقه عمیق آن از نمودار مربوط به آبهای سطحی (نمودار ۲-۲) نسبت به تصویر خام پیش از تصحیحات جوی (تصویر ۲-۵) کاملاً تبعیت می‌کند که این امر نشان دهنده کاهش اثرات جوی در تصویر منطقه می‌باشد که سبب شفافیت و افزایش کنتراست تصویر شده است. تصویر شماره ۲-۸ نمودار پراکندگی (Scatter plot) هر باند TM (سواری باند TM6) نسبت به باند ۷ TM بعد از تصحیحات جوی را نشان می‌دهد.

- ۲-۴- پردازش تصاویر به منظور آشکارسازی و بارزکردن پدیده‌ها
- مهمترین و اصلی‌ترین قسمت مطالعات دورسنجی، پردازش تصاویر و اعمال روشهای متعدد آشکارسازی و بارزکردن پدیده‌های ویژه می‌باشد. روشهای معمول بکار گرفته شده در پردازش تصویر این محدوده مطالعاتی عبارتند از:
- ۱- افزایش کنتراست یا تباین
 - ۲- ایجاد تصاویر با رنگ‌های مجازی
 - ۳- عملیات ریاضی و آماری در بین باندها و بکارگیری آنالیز مولفه اصلی
 - ۴- فیلتره کردن باندها



نمودار ۲-۸- نمودار پراکندگی تمامی باندها نسبت به باند TM7 بعد از تصحیحات جوی

۱-۴-۲- افزایش کنتراست یا تباين :

سنجددهای تصویربرداری بایستی بتوانند تابندگی‌های غیرعادی را از شدت بازتاب کم (اقیانوسها) تا شدت‌های خیلی زیاد (برف و بخ) را ثبت کنند. ولیکن معمولاً توان کامل سنجددها در به تصویر درآوردن هر ناحیه از سطح زمین بکار گرفته نمی‌شود.

تصاویر شماره ۲-۹ الی ۲-۱۱ هیستوگرام درجات روشنائی باندهای لندست برتری TM1,TM3,TM5 را بهمراه تصویر ماهواره‌ای منطقه تخت سلیمان نشان می‌دهد که هر یک ارزش عددی پیکسل‌های تصویری از صفر تا ۲۵۵ دارند. همانطور که در سه تصویر یاد شده دیده می‌شود تمامی دامنه صفر تا ۲۵۵ به وسیله پیکسل‌ها اشغال نشده است، از این رو تصاویر مربوطه تاریک و فاقد کنتراست است. بطور مثال:

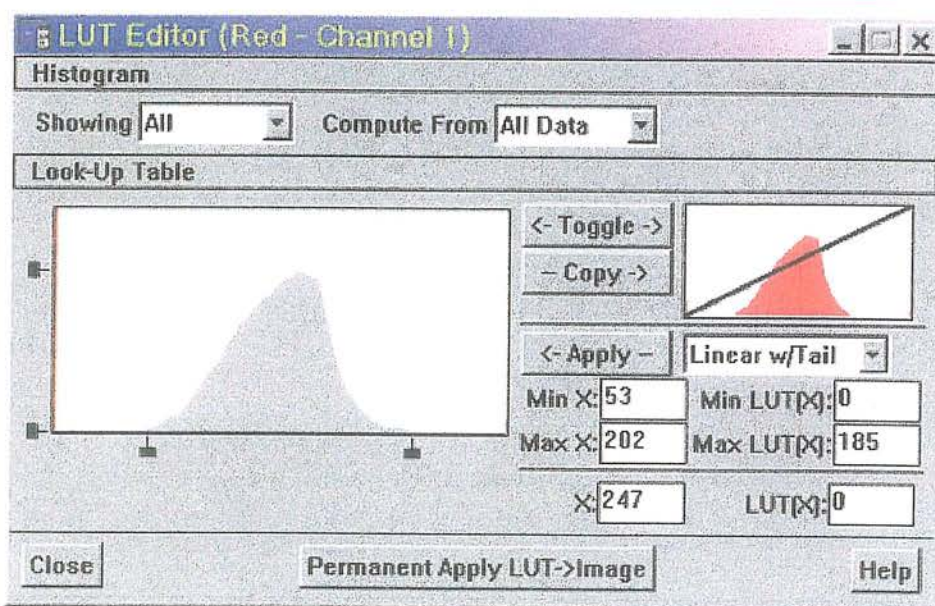
در باند TM5 درجات روشنایی در محدوده ۵۳ تا ۲۰۲ و با حداقل مقدار فراوانی در درجه روشنایی ۱۸۵ می‌باشد.

در باند TM3 درجات روشنایی در محدوده ۲۶ تا ۱۱۷ و با حداقل مقدار فراوانی در درجه روشنایی ۱۹۷ می‌باشد.

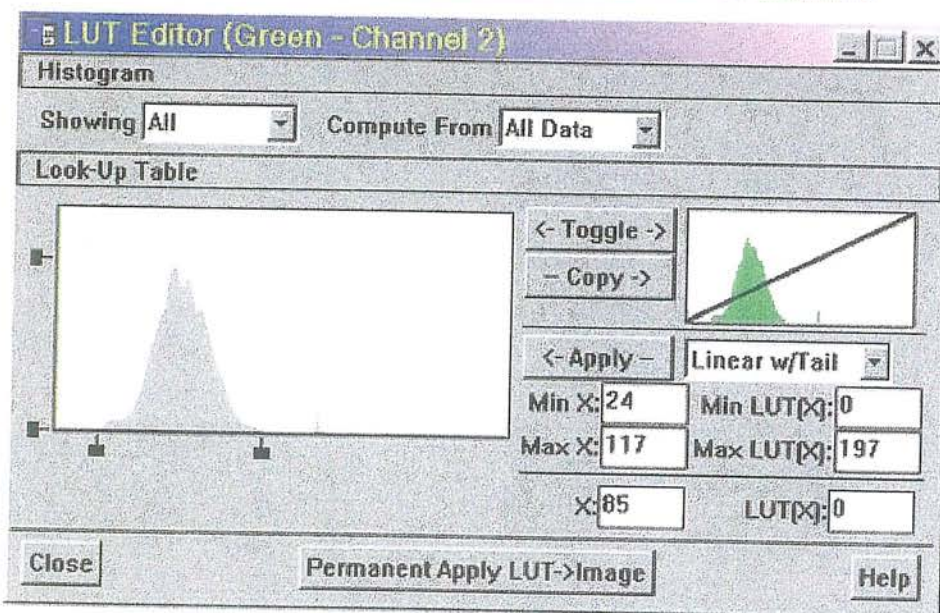
در باند TM1 درجات روشنایی در محدوده ۱۴۷ تا ۶۲ و با حداقل مقدار فراوانی در درجه روشنایی ۱۸۵ می‌باشد.

با بکارگیری افزایش کنتراست خطی، ارزشهای عددی پیکسل‌ها به صورتی گسترش می‌یابد که حداقل مقدار عددی پیکسل به صفر و حداقل آن به ۲۵۵ می‌رسد و مقادیر حدوداً میان مقدار حداقل و مقدار حداقل در موقعیت نسبی خود و در حد صفر تا ۲۵۵ پراکنده می‌شود.

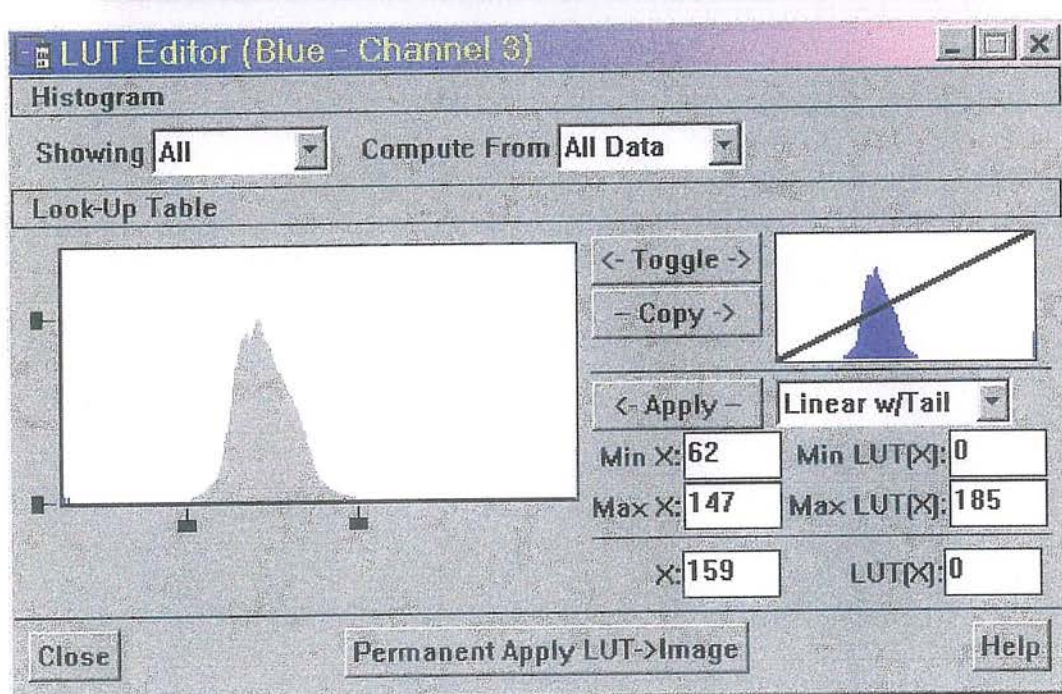
تصاویر شماره ۲-۱۲ الی ۲-۱۴ هیستوگرام درجات روشنائی پس از اعمال افزایش کنتراست خطی به همراه تصاویر ماهواره‌ای مربوطه در هر سه باند TM1, TM3, TM5 را نشان می‌دهد.



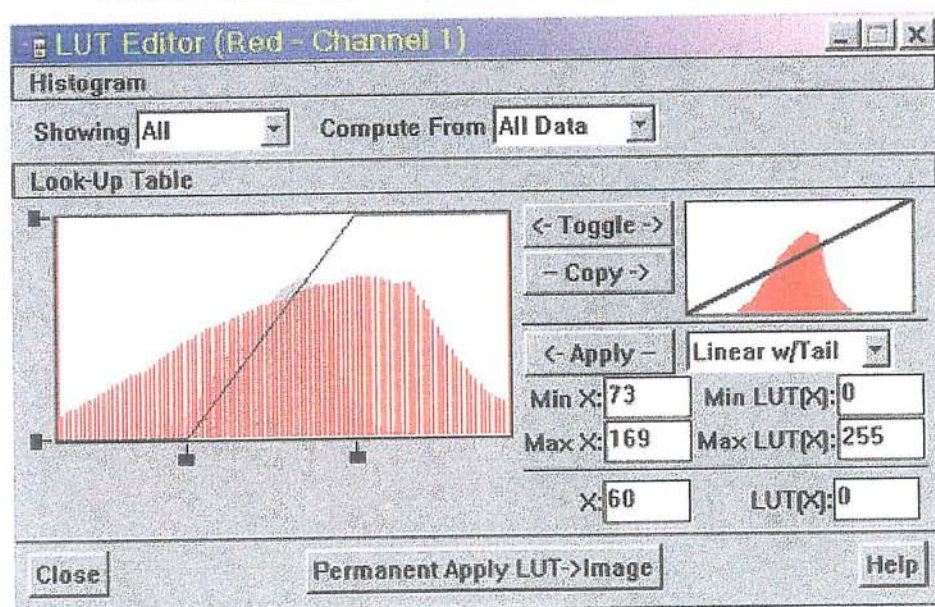
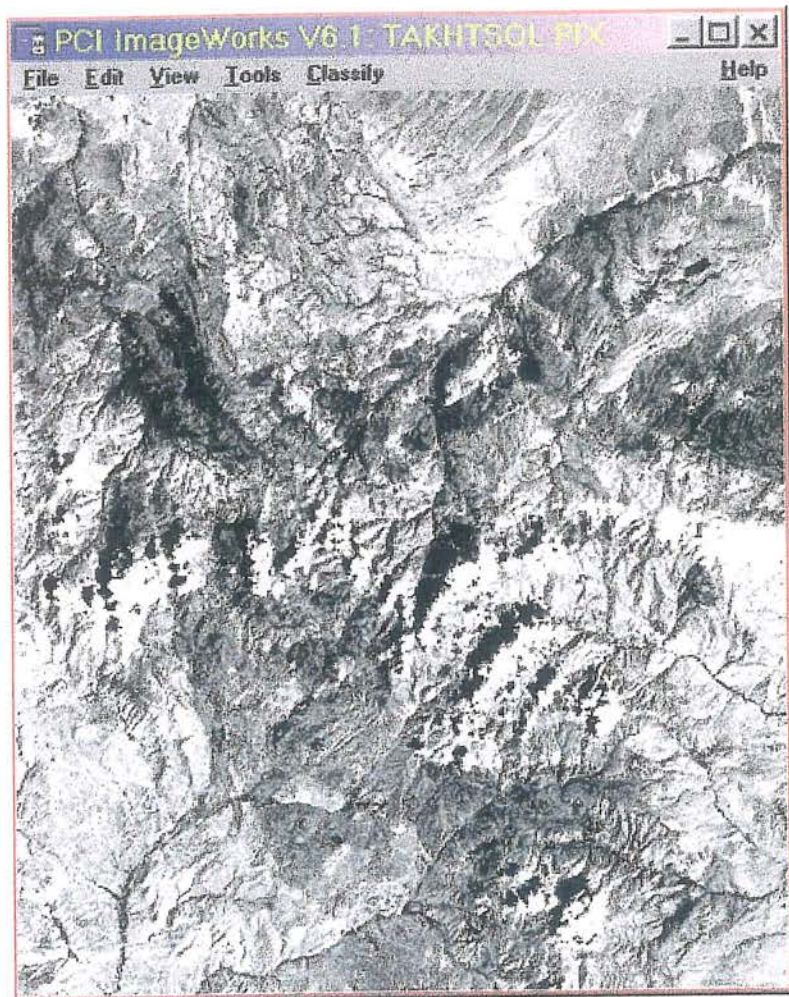
تصویر ۹-۲-هیستوگرام درجه روشنائی باند TM5 قبل از آشکارسازی در کanal رنگی قرمز



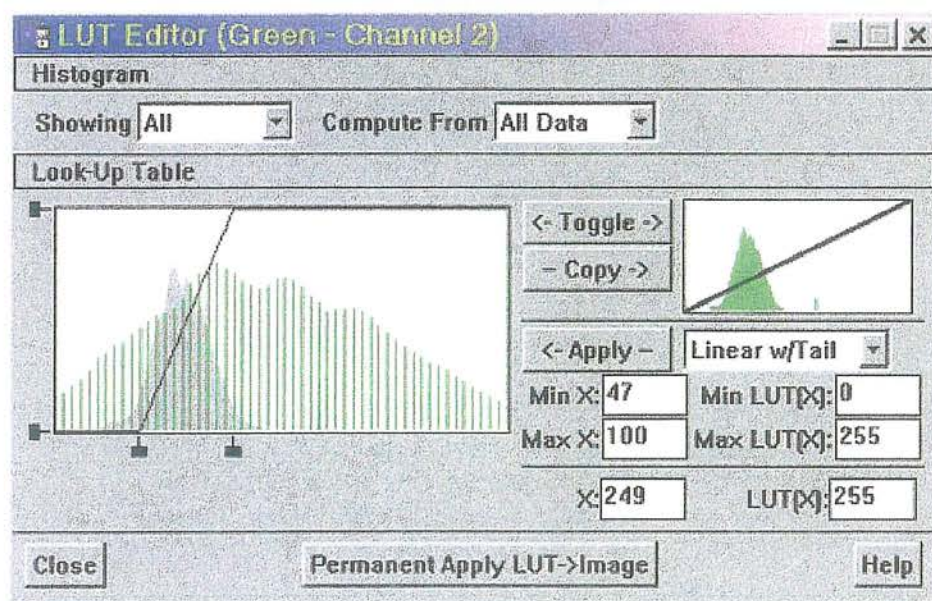
تصویر ۲-۱۰- هیستوگرام درجه روشنائی باند TM3 قبل از آشکارسازی در کanal رنگی سبز



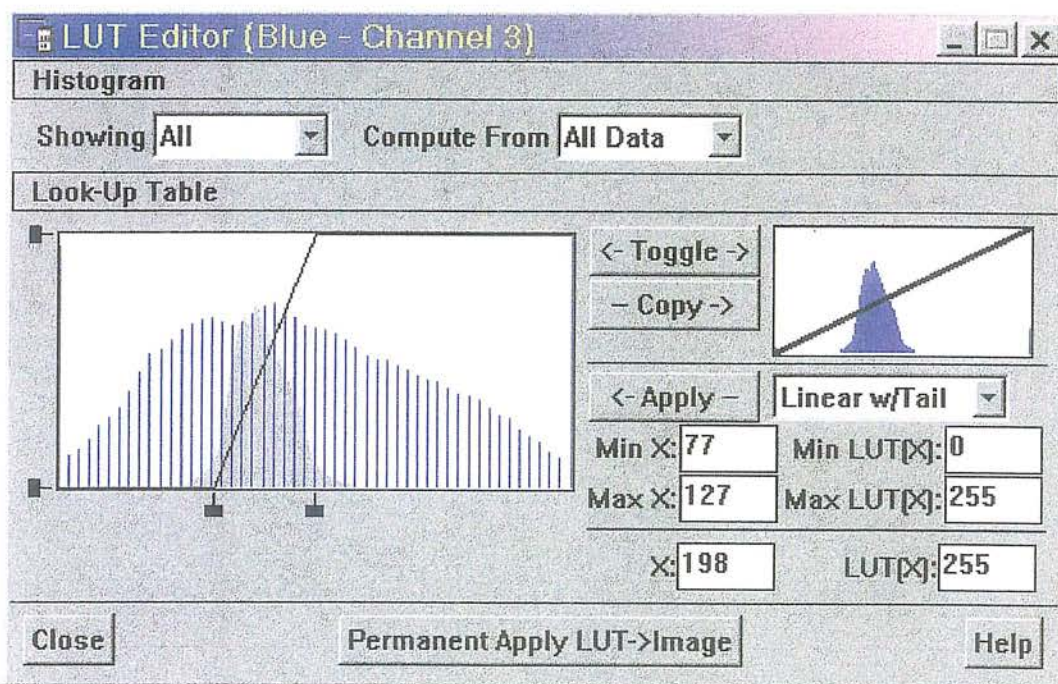
تصویر ۱۱-۲-هیستوگرام درجه روشنایی باند TM1 قبل از آشکارسازی در کanal رنگی آبی



تصویر ۱۲-۲- هیستوگرام درجه روشنایی باند TM5 بعد از آشکارسازی خطی در کanal رنگی قرمز



تصویر ۲-۱۳- هیستوگرام درجه روشنائی باند TM3 بعد از آشکارسازی خطی در کanal رنگی سبز



تصویر ۱۴- هیستوگرام درجه روشنایی باند TMI بعد از آشکارسازی خطی در کanal رنگی آبی

۲-۴-۲- ایجاد تصاویر رنگی مجازی:

ایجاد تصاویر رنگی مجازی مختلف نمایش همزمان سه باند تصویری و بکارگیری فیلترهای قرمز، سبز و آبی، روشی برای پردازش تصویر و بارز کردن پدیده ها است. در این روش، تصاویر تک باندی دارای طیف خاکستری (۲۵۶ گام) به تصاویر رنگی که می توانند ترکیب های مختلفی از سه رنگ قرمز، سبز و آبی که هر کدام دارای ۲۵۶ گام رنگی هستند تبدیل می شوند، در نتیجه این عمل عوارض با رنگ های مختلف به نمایش در می آیند که شناخت آنها آسان تر انجام می شود.

تصویر رنگی مجازی شماره ۲-۱۵ حاصل ترکیب باندهای TM1, TM3, TM5 بترتیب در کانالهای قرمز - سبز و آبی پس از افزایش کنtras است خطی (Linear) می باشد. در این تصویر پوشش گیاهی با رنگ قرمز تا قهوه ای دیده می شود. تصویر رنگی مجازی شماره ۲-۱۶ حاصل ترکیب باندهای TM7, TM4, TM2 است که پس از افزایش کنtras است موازن های بوجود آمده است.

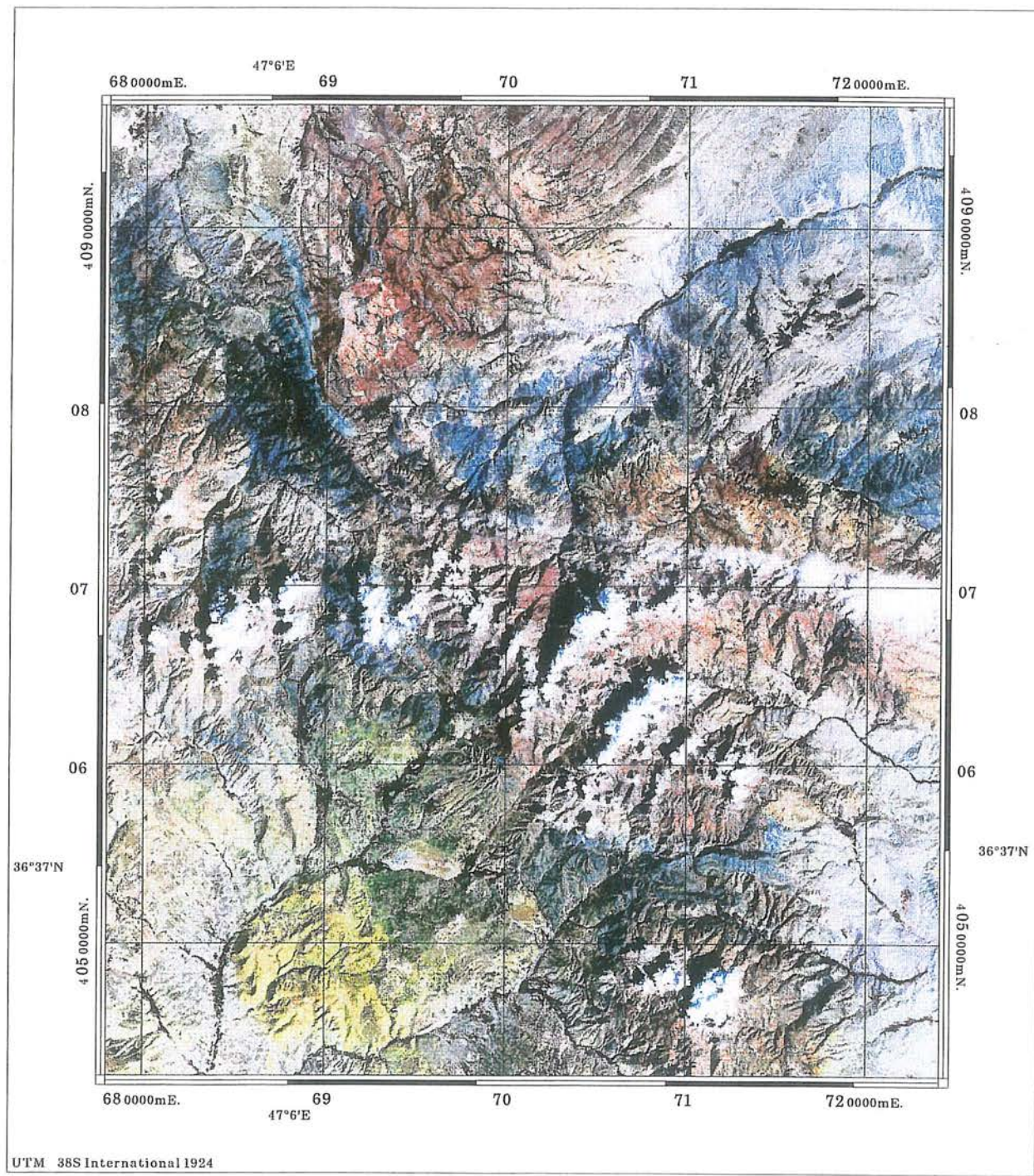
۲-۴-۳- عملیات ریاضی بین باندها و بکارگیری PCA:

عملیات ریاضی از قبیل جمع، تفریق، ضرب و تقسیم در داده های چند باندی بر روی یک باند و یا چند باند اعمال می شود که حاصل آن تصویری است دارای ویژگی های باند های بکار گرفته شده، بنابراین تصاویر بدست آمده دارای ویژگی هایی است که برای بعضی از اهداف خاص بسیار مناسب تر از تصویر اولیه و خام می باشد. با مشخص کردن بیشترین و کمترین بازتاب یک پدیده در محدوده طول موج های مختلف و بکارگیری روش های نسبتی (Ratio) و تفاضلی (Difference) بین دو باند، می توان بازتاب طیفی پدیده موردنظر را افزایش داد و بارز نمود.

تصویرهای ۲-۱۷ و ۲-۱۸ تصاویر رنگی مجازی هستند که از ترکیب سه کanal نسبتی و تفاضلی ایجاد شده اند. هدف از ایجاد این تصاویر نشان دادن محدوده های دارای کانی های رسی (برنگ بنفش تا صورتی) اکسید آهن (برنگ آبی) و پوشش گیاهی (برنگ زرد تا سبز) بصورت تفکیک شده می باشد.

Color Composite Map of Takht-e-Soleyman

Bands : R= B5 , G= B3 , B= B1

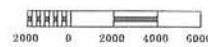


UTM 38S International 1924

BY : Remote Sensing Group of G.S.I.

M. Madani Givi

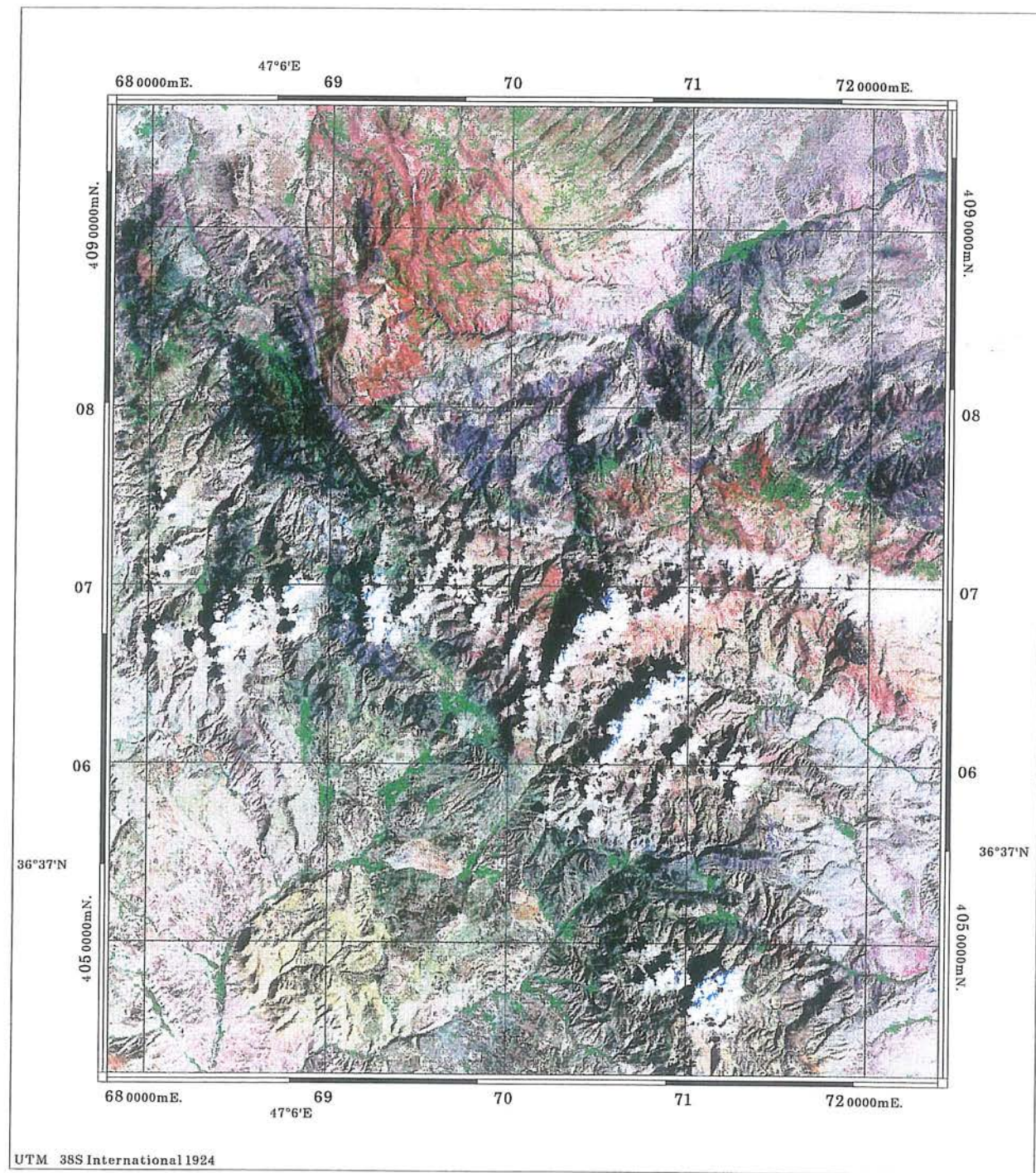
1:350000



تصویر ۱۵-۲- ترکیب رنگی مجازی باندهای TM5,3,1 پس از افزایش کنترast خطی

Color Composite Map of Takht-e-Soleyman

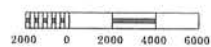
Bands : R= B7 , G= B4 , B= B2



BY : Remote Sensing Group of G.S.I.

M. Madani Givi

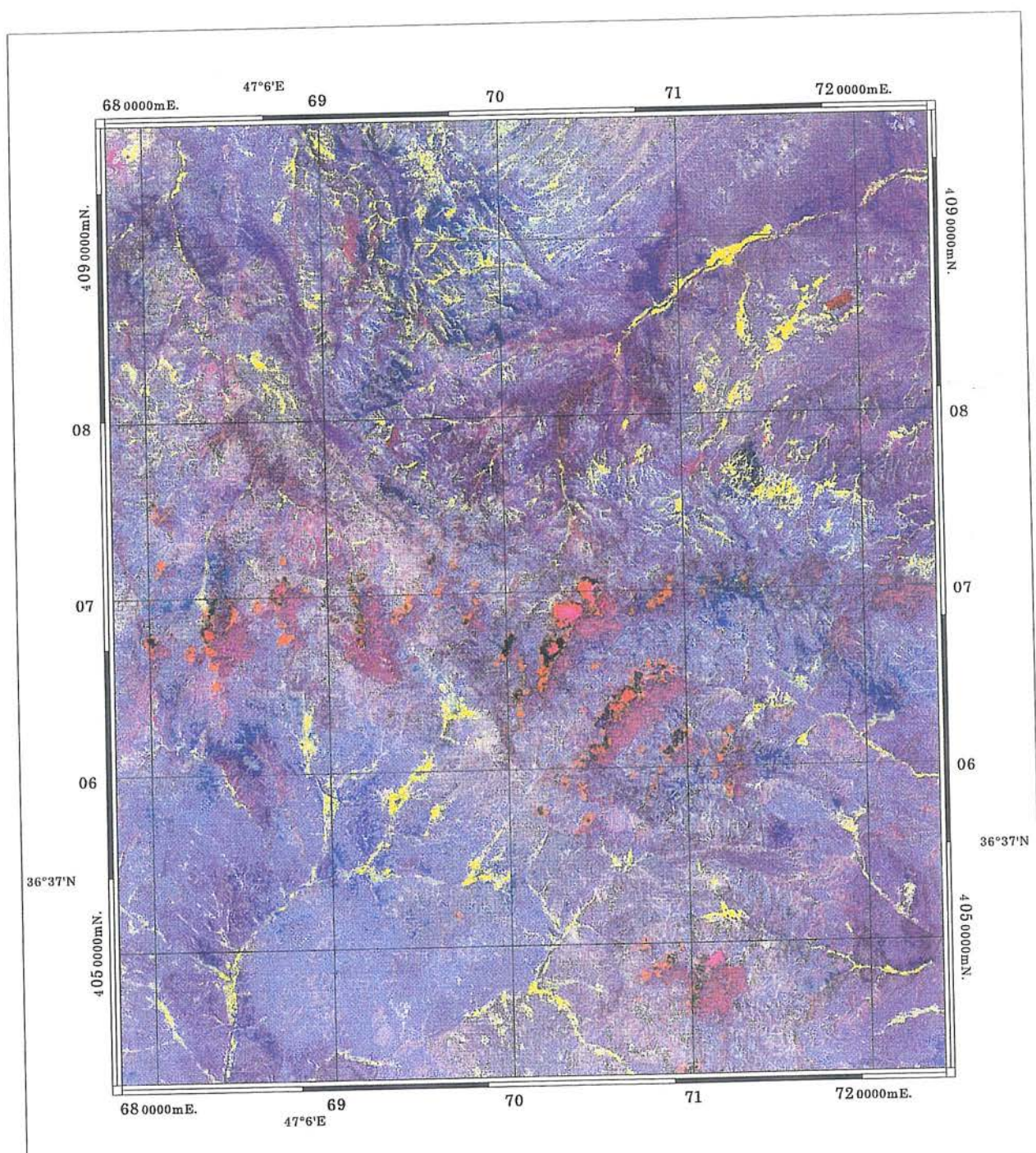
1:350000



تصویر ۱۶-۲- ترکیب رنگی مجازی TM7,4,2 پس از افزایش کنtras است مواد نهادی

Color Composite Image of Takht-e-Soleyman

Ratio Bands : R= 5/7 , G= 4/2 , B= 3/1



UTM 38S International 1924

BY : Remote Sensing Group of G.S.I.

M. Madani Givi

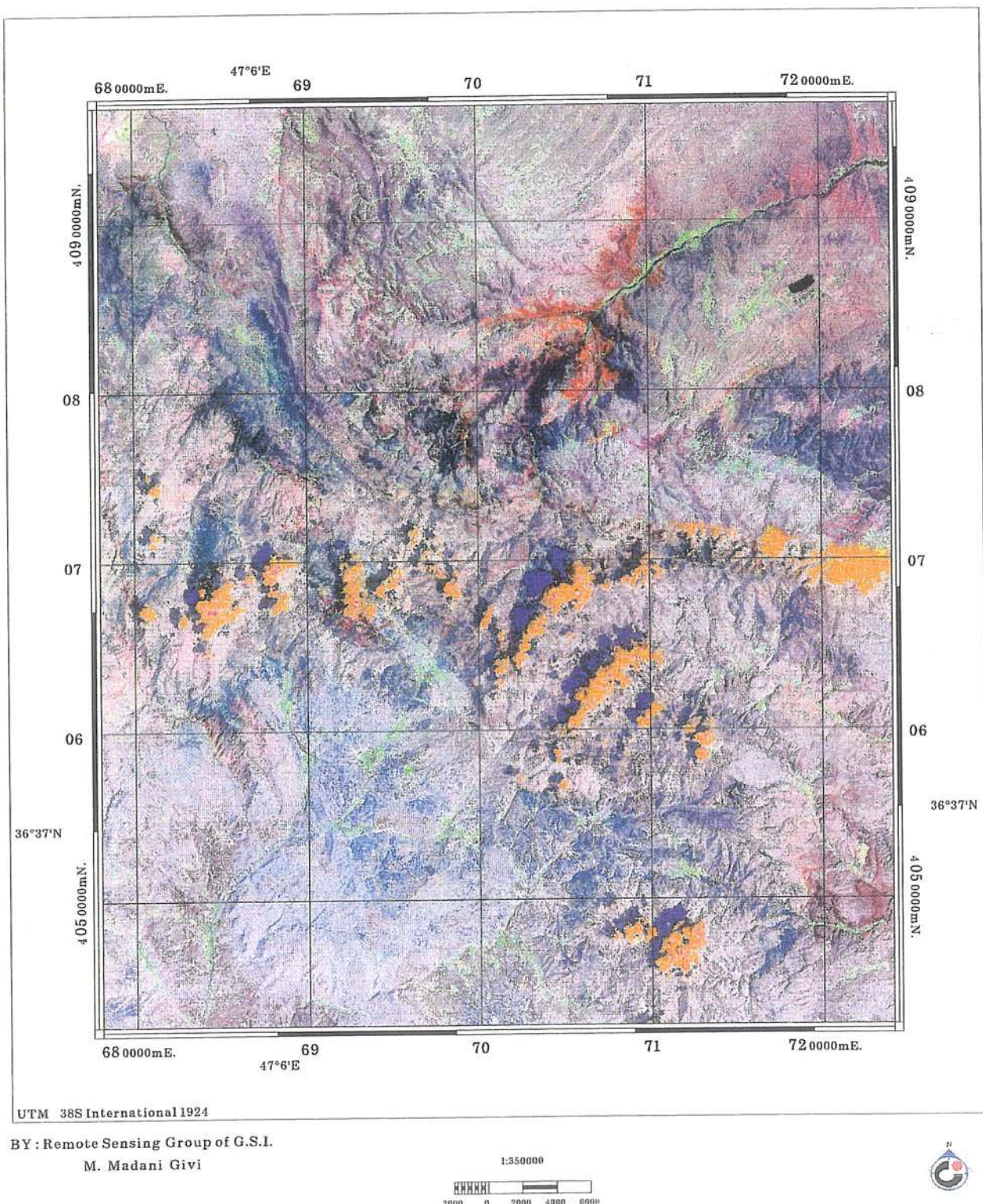
1:350000



تصویر ۱۷-۲- ترکیب رنگی مجازی سه کانال نسبتی R=5/7, G=4/2, B=3/1

Color Composite Image of Takht-e-Soleyman

Difference Bands: R= 5-7, G= 4-2, B= 3-1



تصویر ۱۸-۲- ترکیب رنگی مجازی سه کanal تفاضلی $R=5,7, G=4,2, B=3,1$

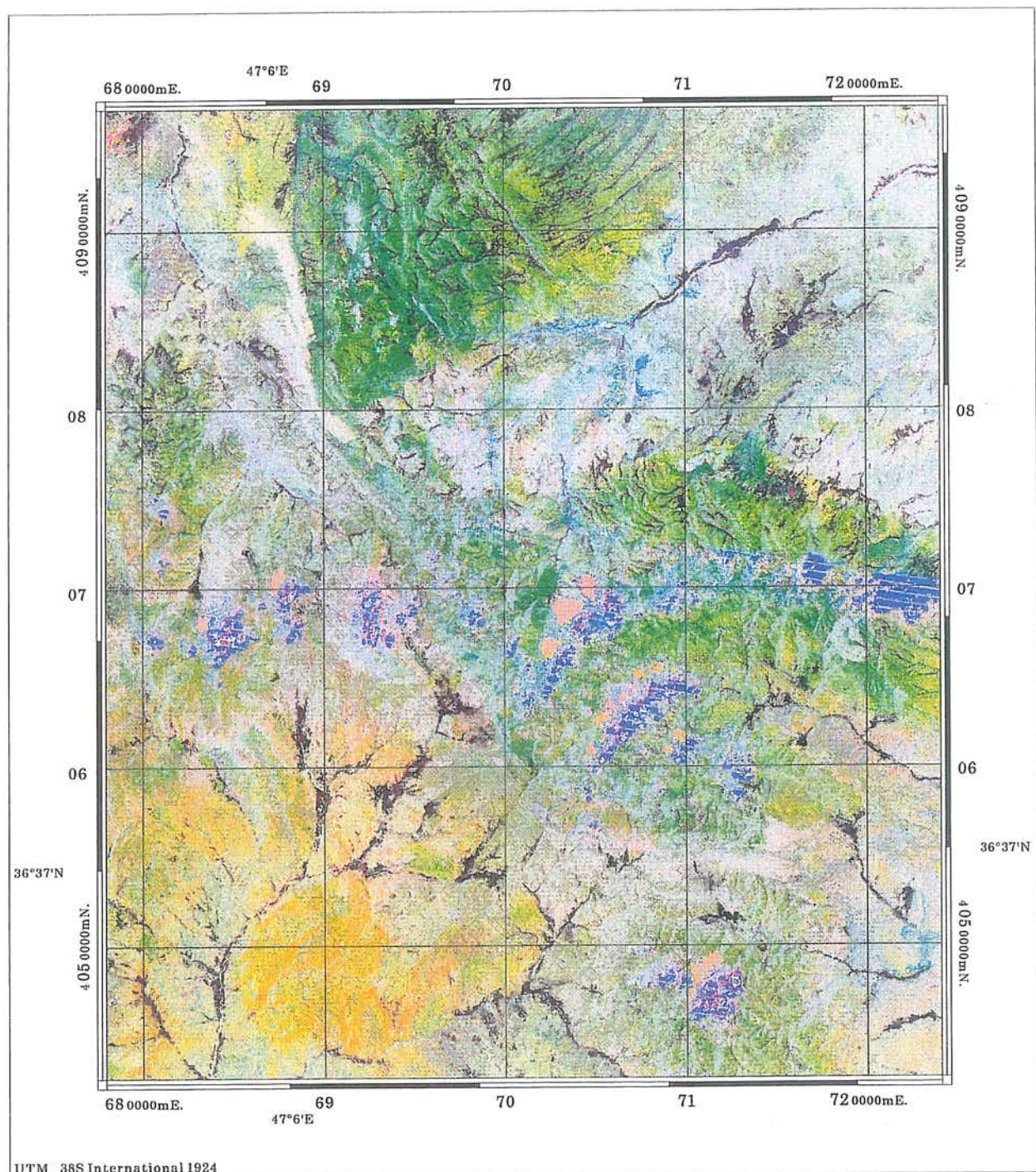
روش آنالیز مولفه‌های اصلی PCA که بر اساس محاسبه واریانس، کوواریانس و انحراف معیار باندهای مختلف انجام می‌شود، روش دیگری است که با کاهش انطباق بین داده‌های باندهای مختلف در فضای چند بعدی موجب بارزشدن پدیده ویژه‌ای می‌گردد. تصویر شماره ۲-۱۹ تصویر رنگی مجازی حاصل از ترکیب PC₂, PC₃, PC₄ که بترتیب در کانالهای قرمز، سبز و آبی قرار گرفته‌اند، پس از افزایش کنتراست خطی نشان می‌دهد.

۴-۴-۲- فیلتر ۵ کردن :

یکی دیگر از روش‌های پردازش تصویر رنگی فیلترینگ است. در اثر اعمال فیلترها و حذف یا بارزسازی فراوانی‌های مکانی، راستها و بافت‌های ویژه، می‌توان تصویری مطلوب‌تر ایجاد کرد. بطور مثال با بکارگیری فیلترهای پایین‌گذر (Low pass) می‌توان تصویری هموارتر و با اعمال فیلترهای بالاگذر (High pass) می‌توان تصویری واضح‌تر داشت که برای ترسیم خطواره‌ها از این روش استفاده شده است. تصویر ۲-۲۰ تصویر باند TM4 پس از افزایش کنتراست خطی و اعمال فیلتر Edge Enhancemant می‌باشد.

Color Composite Map of Takht-e-Soleyman

Bands : R= PC4 , G= PC3 , B= PC2



UTM 38S International 1924

BY : Remote Sensing Group of G.S.I.
M. Madani Givi

1:350000

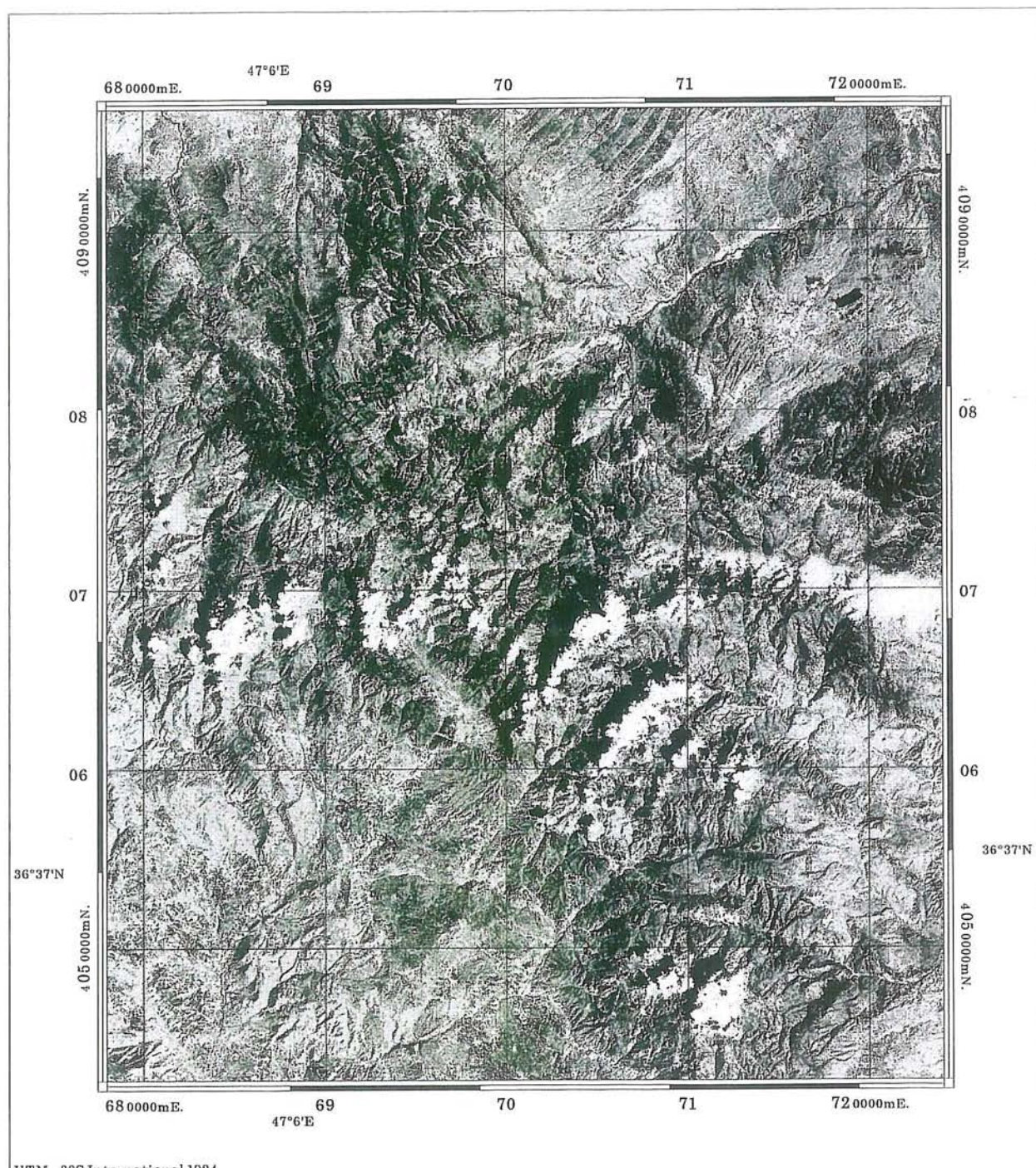
2000 0 2000 4000 6000



تصویر ۱۹-۲- ترکیب رنگی مجازی PC4, PC3, PC2 پس از افزایش کنtrasست خطی

Color Composite Map of Takht-e-Soleyman

Band : TM 4 With Sharpen Filter



UTM 38S International 1924

BY : Remote Sensing Group of G.S.I.

M. Madani Givi

1:550000

2000 0 2000 4000 6000



تصویر ۲-۲- تصویر باند TM4 پس از افزایش کنترast خطی و اعمال فیلتر Edge

تشخیص ساختارهای زمین‌ساختی

مقدمه:

شناسایی عناصر ساختاری و بطور کلی تشخیص ساختار هر منطقه کمک ارزندای در جهت شناسایی و اکتشاف مواد معدنی می‌نماید. برای تشخیص شکستگی‌ها از تصاویر تک باندی و یا رنگی با بکارگیری فیلترهای مربوطه و همچنین از تصاویر با زوایای مختلف تابش خورشید استفاده گردید. برای این هدف نشانه‌های زمین ریخت‌شناسی که بسیار با ارزش می‌باشند، مورد توجه قرار گرفته است. در تعیین شکستگی‌ها تغییرات ناگهانی توپوگرافی، جابجایی بستر رودخانه‌ها، واحدهای چینه‌ای و مخروط افکنه‌ها و چگونگی ارتباط واحدهای سنگی بسیار قابل اهمیت می‌باشد و پاره‌ای از توده‌های نفوذی نهان را می‌توان با استفاده از بارزسازی دگرسانی تصاویر ماهواره‌ای پردازش شده مشخص نمود.

۱-۳- تکوین ساختاری منطقه تخت سلیمان

منطقه مورد بررسی از نظر ساختمانی در زون خوی - مهاباد (نبوی ۱۳۵۵) و محل برخورد زونهای ساختمانی سنتنج - سیرجان، البرز - آذربایجان و ایران مرکزی قرار می‌گیرد. جایگیری سنگهای دگرگونی پرکامبرین و پالئوزوئیک در زیررسوبها و سنگهای آتش‌نشانی الیگوسن - میوسن نشان از وجود یک برجستگی کهن (فرازمین گورگور - بلقیس - قبله داغ) احتمالاً از پالئوزوئیک پائین تا الیگوسن و نبود رسوبگذاری با فرسایش شدید در فاصله زمانی یاد شده در منطقه می‌باشد. این برجستگی بصورت یک فرازمین با راستای شمال باختری - جنوب خاوری از جنوب تا شمال منطقه کشیده شده است. مرز باختری آن از طریق گسل راندگی قینرجه - چهارتاق با حوضه فرورفتہ شیرمرد و مرز شمال خاوری آن با حوضه فرورفتہ پری محدود می‌باشد.

قدیمی‌ترین فاز کوهزایی موثر در منطقه به احتمال کوهزایی پان آفریکن است که سبب

دگرگونی و سخت شدن پوسته قاره‌ای پرکامبرین (رسوبات سازند کهر) و تشکیل فرازهای گورگور - بلقیس - قبله داغ شده است. دگرگونی رسوبات شیلی سازند کهر و نیز جایگیری مرمر جان گوتاران با مرز ناپیوسته بر روی آنها را شاید بتوان شواهدی از این فاز کوهزایی در منطقه مورد بررسی باشد. دلایل و شواهد آشکاری از تاثیر فازهای کوهزایی کالدونین و هرسینین در منطقه بررسی در دست نیست. نفوذ توده‌های دیوریت گابرویی، گرانودیوریتی و گرانیتی در سنگهای دگرگونی پرکامبرین و پالئوزئیک را شاید بتوان نمودی از فازهای کوهزایی کیمرین - پیشین و پسین در منطقه مورد بررسی قلمداد نمود. چین خورده‌گی و گسلش مجموعه رسوبی - آتشفشاری الیگوسن - میوسن و رسوبات قاره‌ای میوسن پلیوسن نیز در پیوند با جنبش‌های کوهزایی آلپ پسین در منطقه مورد بررسی می‌باشد.

پس از کوهزایی پیرنه حوضه قاره‌ای وسیعی با نهشته شدن سازند سرخ زیرین تشکیل گردید که تا پایان میوسن آغازی ادامه می‌یابد. در این زمان دریای الیگوسن در حال پیشروی می‌باشد و رسوبات آن با دگرشیبی هم شیب (Disconformity) بر روی سنگهای قدیمی‌تر قرار می‌گیرد.

رسوبگذاری قاره‌ای سازند سرخ زیرین در الیگوسن پایانی قطع می‌گردد و با حرکت خشکی‌زایی منفی به سنگهای دریایی معادل سازند قم تبدیل می‌گردد. این مرحله از حرکت کوهزایی مربوط به فاز کوهزایی ساوین (Savian) می‌باشد. مجموعه رسوبات الیگوسن پایانی - میوسن آغازی شامل کنگلومراتی قاعده‌ای، مارن، سنگ آهک، گدازه‌های دریایی با ترکیب کالکوآلکان است که بصورت دگرشیبی فرسایشی هم شیب بر روی سازند قدیمی‌تر قرار گرفته‌اند. و به سمت شمال گسترش یافته‌اند.

نهشته شدن سنگهای دریایی معادل سازند قم از میوسن آغازی تا میوسن میانی ادامه می‌یابد. در میوسن میانی تحت تاثیر فاز کوهزایی استیرین (Styrian) از چرخه کوهزایی آلپ پایانی، مجدداً شرایط قاره‌ای حاکم می‌گردد و سری سازند سرخ بالایی با دگرشیبی هم شیب و

شرایط خشکی‌زایی منفی بر روی سنگهای دریائی کم عمق رسوبگذاری می‌نماید. در ادامه خشکی‌زایی میوسن میانی نهشت‌های تخریبی - قاره‌ای در حوضه‌های بین کوهستانی و حوضه‌های باقیمانده کولابی همراه شده است. این فاز کوهزایی با رژیم فشارشی باعث دگرگشکی رسوبات دوران سوم می‌گردد. در همین زمان چشمه‌های آهک ساز شروع به فعالیت می‌نماید. در ناحیه مورد مطالعه پس از تاثیر فاز کوهزایی استیرین، رژیم فشارشی در آغاز فازهای والاشین (Walachehain) به شدت افزایش می‌یابد (تشکیل زندان سلیمان، زندان نبی کندی و تخت سلیمان و...) تراورتن‌های قدیمی دارای خلل و فرج‌های بزرگ و به همراه هوازدگی شدید می‌باشند که این نوع از تراورتن‌ها (مربوط به بعد از فاز کوهزایی والاشین) گسترش وسیعی را دربر می‌گرفته‌اند. در حالیکه پس از فعالیت رژیم فشارشی فاز والاشین رسوبگذاری تراورتن‌ها با تشکیل گنبدها و برجستگی‌های وسیع و بصورت پراکنده ولیکن در امتداد گسل‌ها همراه بوده است.

تصویر ماهواردی شماره ۱-۳ ناحیه تراورتنی منطقه تخت سلیمان را از نمای نزدیک نشان می‌دهد.

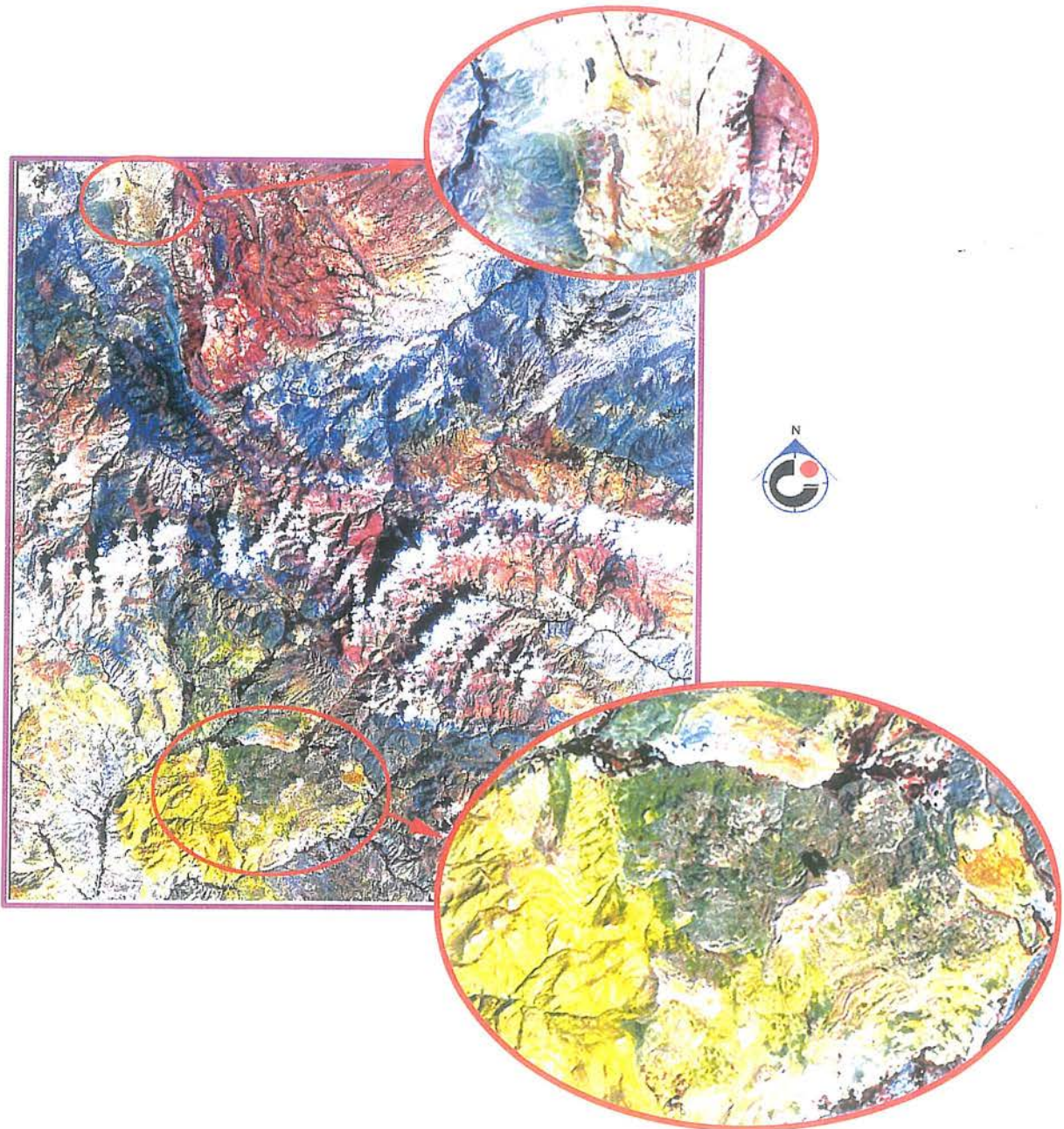
تصویر ماهواردی شماره ۲-۳ تفکیک تراورتن‌های قدیم و جدید را با گرافیک‌های رنگی، قرمز برای تراورتن‌های گستردۀ قدیمی و سبز برای تراورتن‌های گنبدهای شکل جدید، نشان می‌دهد.

عکسهای شماره ۱-۳ و ۲-۳ تراورتن‌ها را با توجه به ساختار مختلفشان نشان می‌دهد.

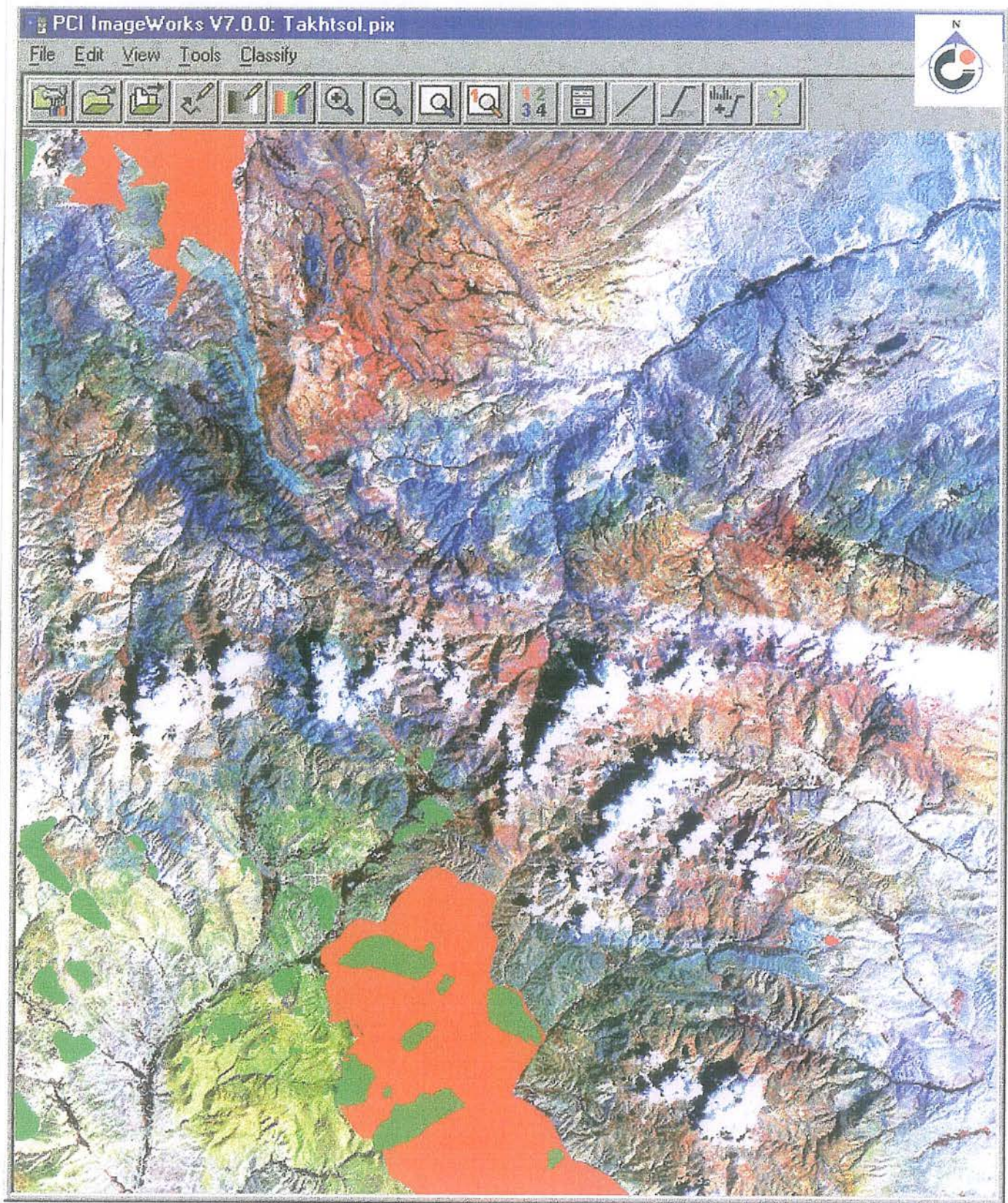
۲-۳-۲- تشخیص و تعیین ساختارهای زمین ساختی

۱-۲-۳- گسل‌ها :

مهمترین گسل منطقه که روندی شمال باختری - جنوب خاوری دارد بنام گسل قینزجه - چارطاق نامیده می‌شود. در اثر عملکرد رانگی این گسل، سنگهای دگرگونی منتب به



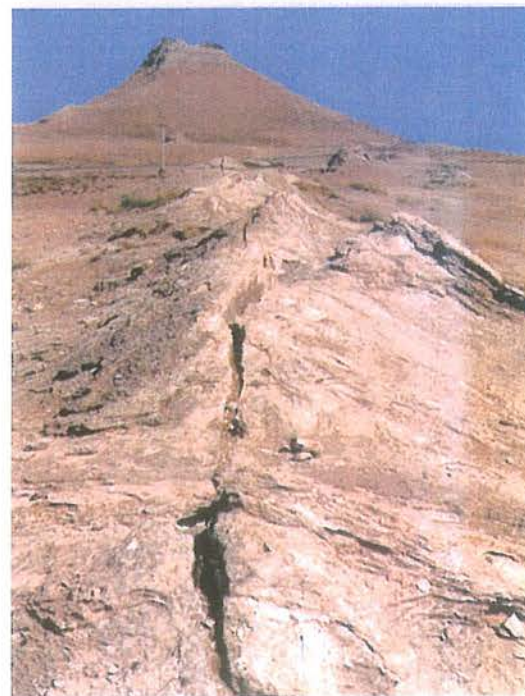
تصویر ۱-۳-نمای نزدیک از نواحی تراورتنی منطقه تخت سلیمان



تصویر ۲-۲- تفکیک تراورتن‌های قدیمی و جدید با گرافیک رنگی، گرافیک قرمز بیانگر تراورتن قدیمی و گرافیک سبز برای تراورتن‌های گنبدهای شکل جدید



عکس شماره ۳-۱- نمایی از تراورتن‌های قدیمی با خلل و فرج‌های زیاد و بزرگ در منطقه بايونه وسط



عکس شماره ۳-۲- نمایی از تراورتن‌های گندی شکل جدید با خلل و فرج کوچک

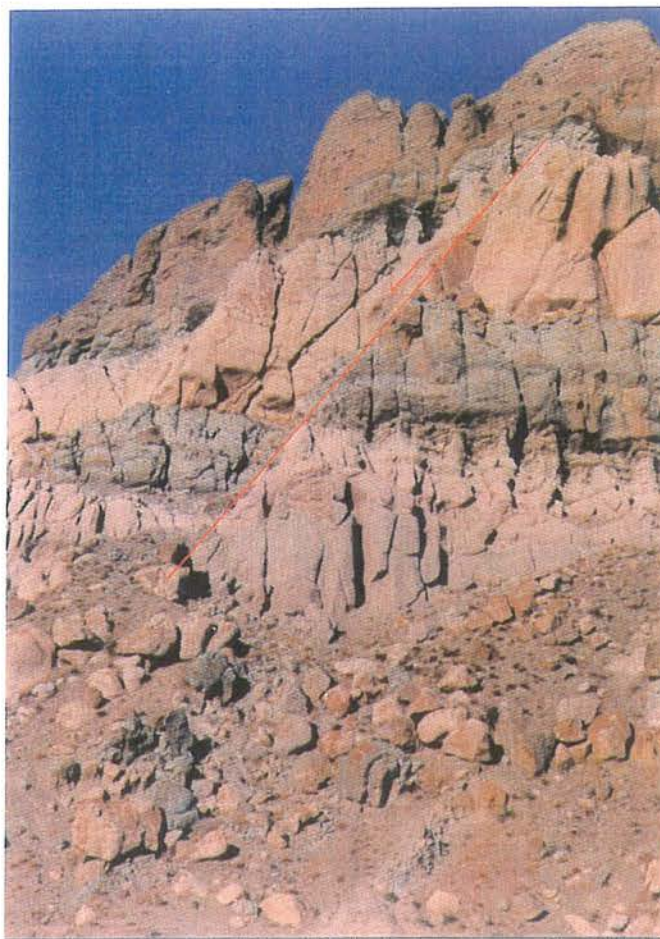
در منطقه زندان سلیمان

پرکامبرین - پالئوزوئیک (در بخش خاوری گسل) در مجاورت سنگهای رسوبی و آتشفشنانی الیگوسن - میوسن (در بخش باختری گسل) قرار گرفته است. گسل قینزجه - چارطاق افزون بر سازوکار راندگی دارای جنبش راستالغز بزرگی است که در ضلع خاوری عملکرد فشاری ناشی از حرکت راستالغز راست بر آن بطرف جنوب سبب تشکیل یکسری گسلهای رورانده با راستای تقریباً خاوری - باختری شده است. در راستای این گسلها، سنگهای دگرگونی بر روی رسوبات الیگوسن - میوسن رانده شده‌اند (گسل رورانده قره‌ناز - قوزلو و گسل رورانده لعل کان) اگر ادامه گسل قینزجه - چارطاق را در برگه $1:100,000$ تکاب دنبال کنیم در انتهای این گسل، می‌توان Splay Rault را مشخص نمود که دارای سازوکار راستالغز راست بر با عملکرد تراستی می‌باشد.

افزون بر گسل یاد شده در منطقه دو سیستم گسل عمدۀ با امتداد شمال باختر - جنوب خاور و همچنین شمال خاور - جنوب باختر نمایانند که به احتمال گسلهای درجه ۲ و ۳ در پیوند با گسل راستالغز قینزجه - چارطاق می‌باشند. گسلهای شمال باختر - جنوب خاوری گسلهای R1 و از نوع راست بر هستند که کنشی مانند گسل اصلی دارند. در حالیکه گسلهای شمال خاور - جنوب باختری، گسلهای R2 و دارای عملکرد چپ بر می‌باشند. همچنین یکسری گسل تقریباً خاوری - باختری در منطقه دیده می‌شود که گسلهای ژرف و احتمالاً ادامه روندهای قدیمی می‌باشند که مهمترین آنها گسل خاوری - باختری زندان سلیمان با جابجاشدگی راست بر با همراه عملکرد تراستی است.

بیشتر گسلهای شمال خاوری - جنوب باختری که دارای سازوکار راستالغز چپ بر نیز هستند دارای سنی جوانتر از گسل قینزجه - چارطاق می‌باشند چراکه در بیشتر موارد جابجایی در امتداد این گسل نمایان است.

تعدادی گسلهای نرمال نیز مشاهده می‌شود که بیشتر در اثر عملکرد گسلهای راستالغز منطقه از نوع راست بر ایجاد شده‌اند. عکس شماره ۲-۳ گسلهای نرمال را در رسوبات نئوژن



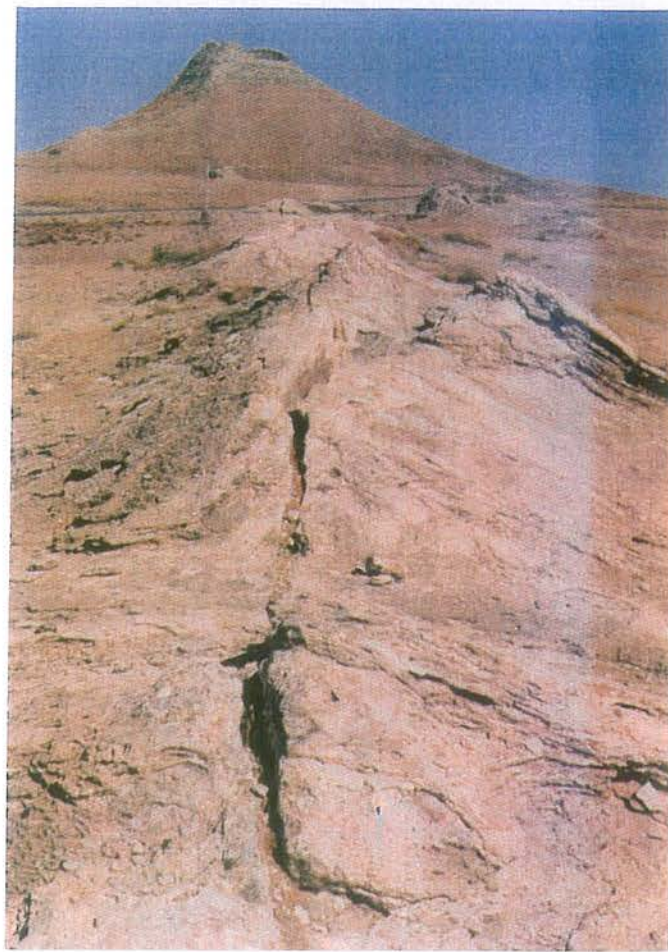
عکس ۳-۳- گسلهای نرمال در رسوبات نئوژن در منطقه تخلی چاق دید به سمت خاور

نشان می‌دهد. چشمه‌های آهک ساز در امتداد گسل‌ها تشکیل شده و با پیگیری روند قرارگیری آنها در تصویر ماهواره‌ای می‌توان گسل‌های نامشخص را در اطراف آنها شناسایی کرد. بویژه گسل‌هایی، این چشمه را قطع نموده‌اند که این مسئله می‌تواند دلیلی بر فعال بودن آنها محسوب شود عکس شماره ۳-۴ گسل خورده‌گی چشمه‌های آهک ساز را نشان می‌دهد که امتداد این گسل تراورتن زندان سلیمان را نیز قطع نموده است.

تصویر شماره ۳-۳ گسل‌های منطقه مورد بررسی را نشان می‌دهد. همانطور که در این تصویر مشاهده می‌گردد دو سیستم گسل تراستی در ناحیه قابل مشاهده است که یکی دارای روند شمال باخته‌ی - جنوب خاوری و دیگری روند تقریباً خاوری - باخته‌ی می‌باشد. همانطور که بیان شد مهمترین گسل تراستی منطقه، گسل قینزجه - چارطاق می‌باشد که سازوکاری راستالغز راست بر دارد. تصویر شماره ۳-۴ نمودار گل سرخی گسل‌های تراستی و معکوس منطقه را نشان می‌دهد که راستای گسل‌های تراستی میزان طول بیشتری را نشان می‌دهد که بر این اساس می‌توان دو سیستم تنفس را در ساختار کلی منطقه بیان کرد. قدیمی‌ترین فاز فشارشی که سبب بالآمدگی و دگرگونی و سخت شدن پوسته قاره‌ای پرکامبرین و تشکیل فرازمین گورگور - بلقیس - قبله داغ شده است و دارای جهت تنفس اصلی (۱۶۰° N45E) می‌باشد.

در خاور منطقه تخت سلیمان در حوالی روستای قره ناز و خورجهان با توجه به تصویر ماهواره‌ای شماره ۳-۵ می‌توان فرازمین و فروزمنهایی را مشاهده کرد که دو اثر عملکرد فاز فشارشی با روند تنفس اصلی (۱۶۰° N45E) می‌باشد که منجر به بالآمدگی سنگهای دگرگونه بصورت فرازمین گشته است و در مناطقی که بصورت فروزمن باقی مانده‌اند، با پیشروی دریای اولیگوسن - میوسن رسوبات این دوره در این مناطق نهشته شده است.

دومین فاز فشارشی با روند تنفس اصلی (۱۶۰° N20E) می‌باشد که سبب حرکت راستالغز راست بر گسل تراستی قینزجه - چارطاق و نیز تشکیل گسل‌هایی با روند شمال خاوری - جنوب باخته‌ی با سازوکار راستالغز چپ بر شده است که روند گسل اصلی قینزجه - چارطاق را در بیشتر نواحی قطع نموده است.



عکس ۴-۳- گسل خورده‌گی چشمه‌های آهک‌ساز در بین راه زندان سلیمان و آبگرم - ادامه

این گسل حتی زندان سلیمان را نیز قطع می‌کند.



- گسل در اسدنی
- گسل ذرمان
- گسل امتداد لغز
- خطواوه

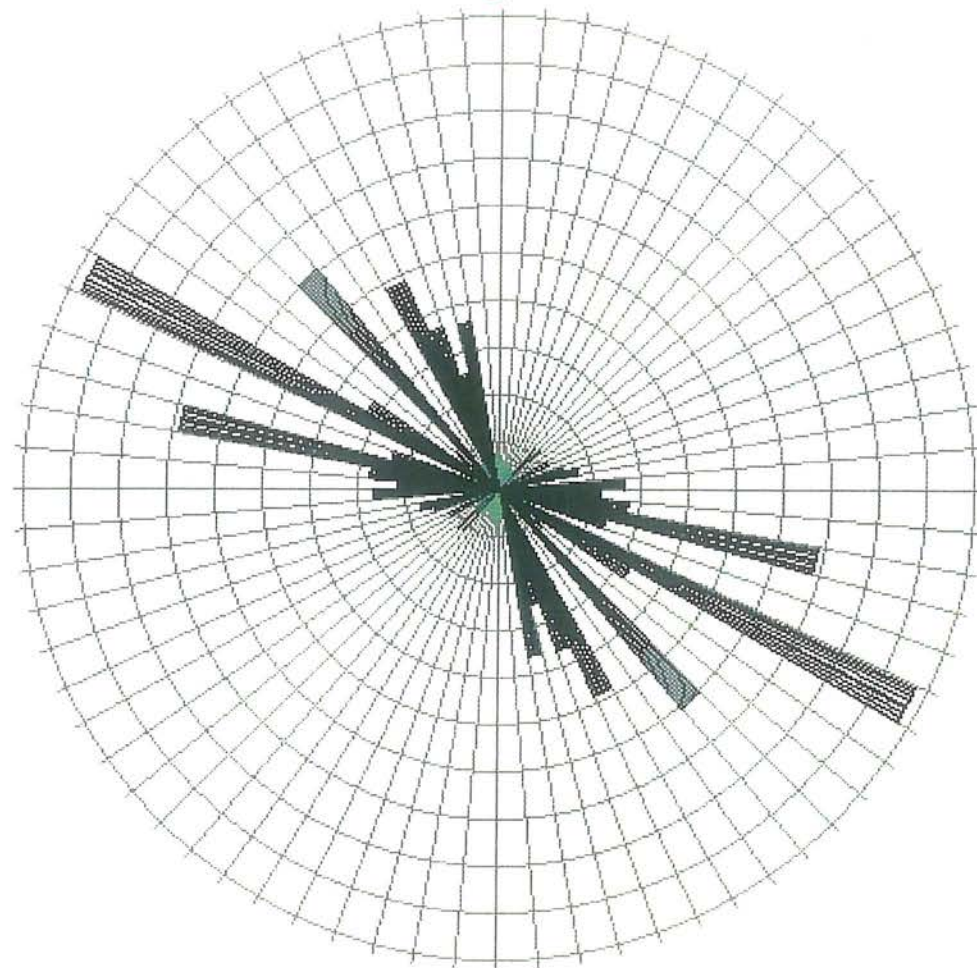
N

تصویر ۳-۳- گسلهای منطقه برگه تخت سلیمان با توجه به سازوکار آن

Rose Diagram Thrust Fault from Takht-e-Soleyman Area

N

TOTAL DATA=
C.I. = 5 °



تصویر ۳-۴- نمودار گل سرخی گسلهای فشارشی (تراست و معکوس) منطقه تخت سلیمان

تصویر ماهواره‌ای شماره ۳-۶ بردگی گسل قینزجه - چار طاق مربوط به عملکرد گسلهای چپ را نشان می‌دهد.

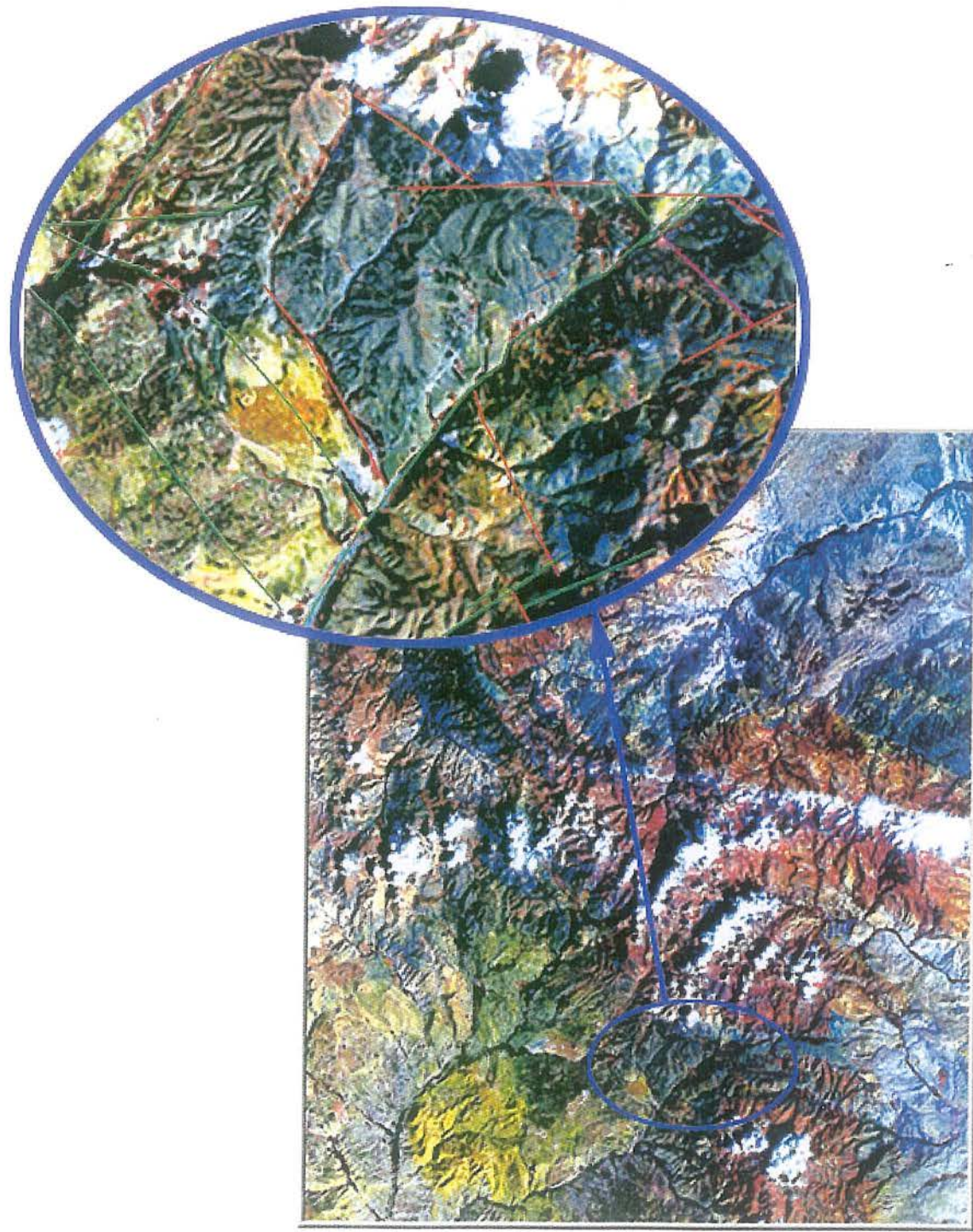
تصویر شماره ۳-۷ نمودار گل سرخی مربوط به گسلهای امتداد لغز منطقه می‌باشد و تصویر شماره ۳-۸ نمودار گل سرخی مربوط به گسلهای نرمال منطقه را نشان می‌دهد.

۳-۲-۲- چین خوردگی:

دو نوع چین خوردگی در منطقه بیشتر قابل مشاهده است. یک نوع در اثر عملکرد فازهای فشارشی بویژه در رسوبات نئوژن ایجاد شده که بصورت تاقدیس و ناویدیس‌های پی در پی دیده می‌شوند. تصویر شماره ۳-۹ چین خوردگی منطقه بین آقدره تا زردشوران را با روند و میل چین خوردگی نشان می‌دهد.

تیپ دوم از چین خوردگی‌ها مربوط به مواردی است که در اثر عملکرد گسلهای عمیق ایجاد شده که این نوع در بین گسلهای تراستی منطقه تشکیل می‌شود. بطور مثال تاقدیس تازه کندو یا تاقدیس کوه اورتا یورد تصویر ماهواره‌ای شماره ۳-۱۰ تاقدیس تازه کندو گسلهای مربوط به آن را نشان می‌دهد.

تصویر ماهواره‌ای شماره ۳-۱۱ تاقدیس اورتا یورد و شکل شماتیک تشکیل آنرا نشان می‌دهد.

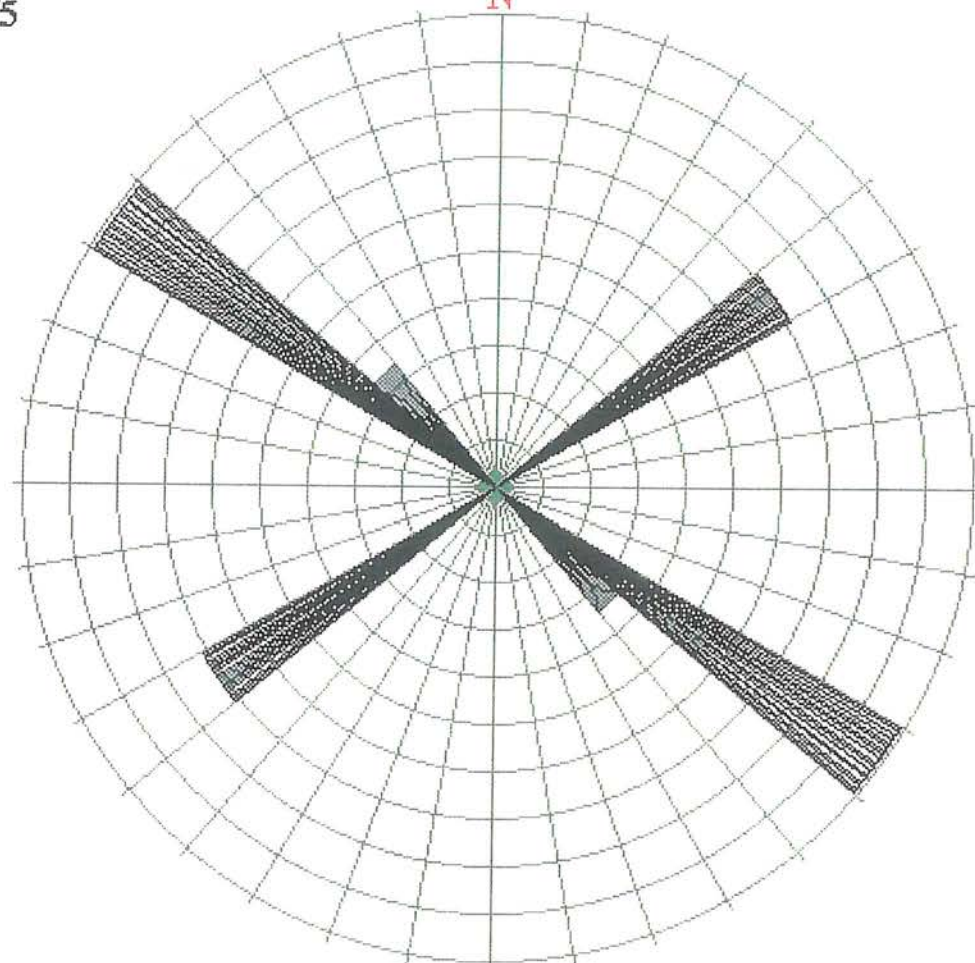
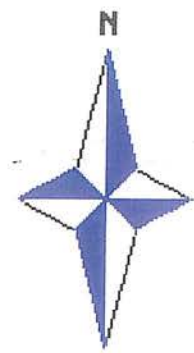


تصویر ۳-۶- بریدگی گسل قینچه - چار طاق مربوط به عملکرد گسلهای چپبر

Rose Diagram Strike Slip Fault from Takht-e-Soleyman Area

TOTAL DATA= 75
C.I . = 10°

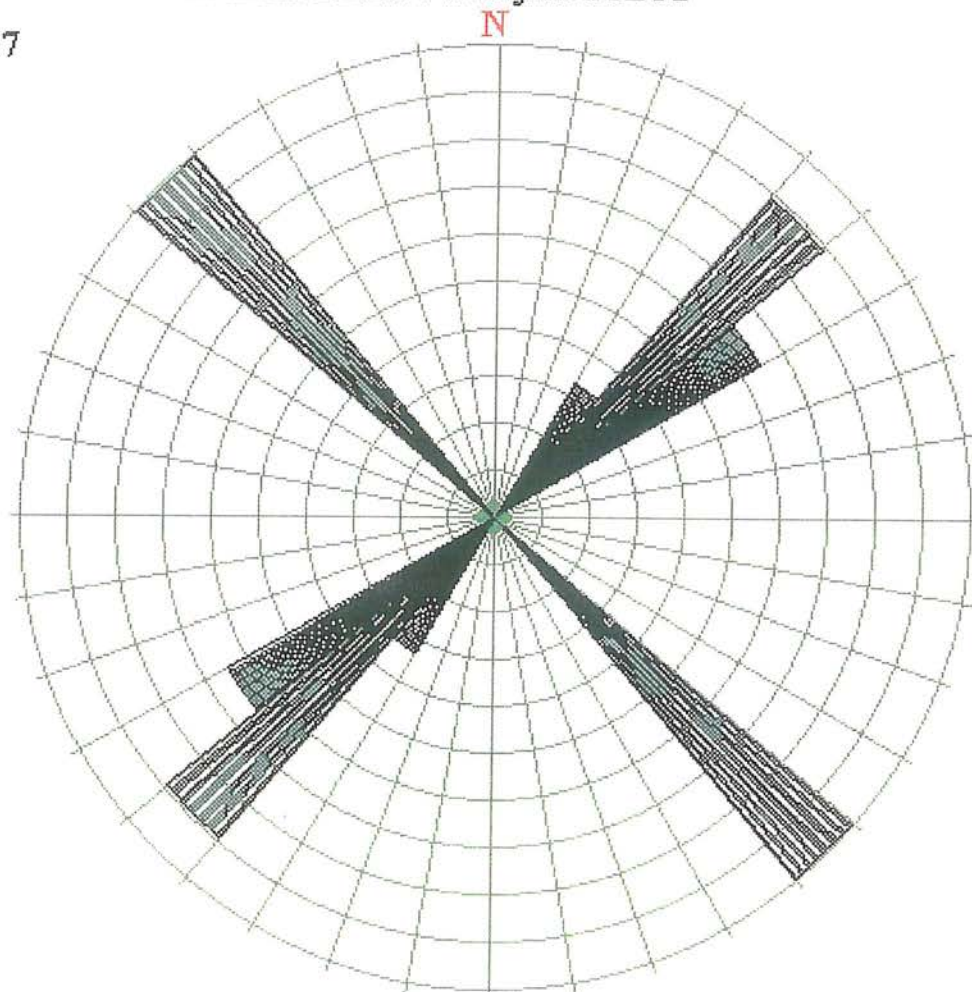
N



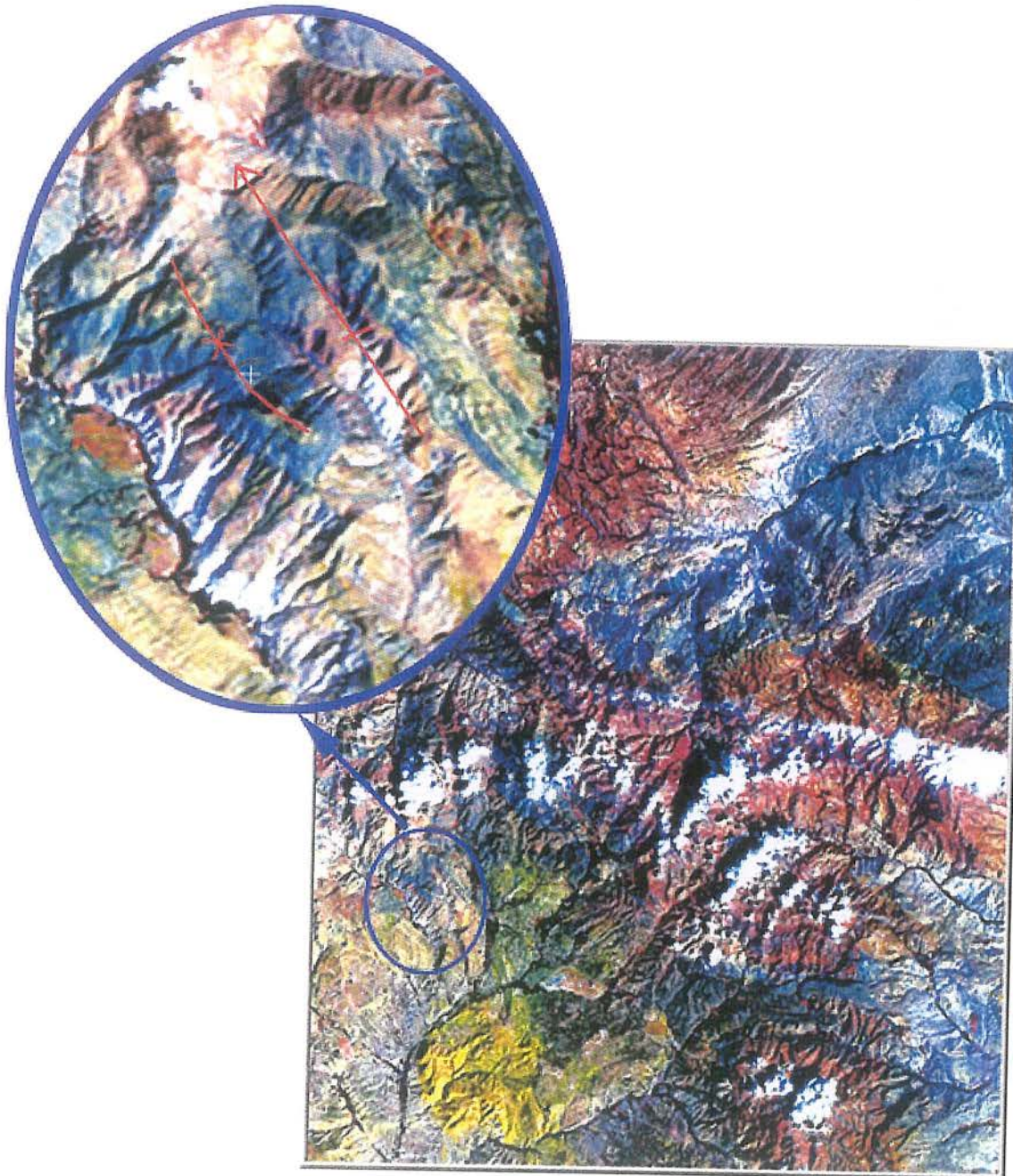
تصویر ۷-۳-نمودار گل سرخی گسلهای امتداد لغز برگه تخت سلیمان

Rose Diagram Normal Fault from Takht-e-Soleyman Area

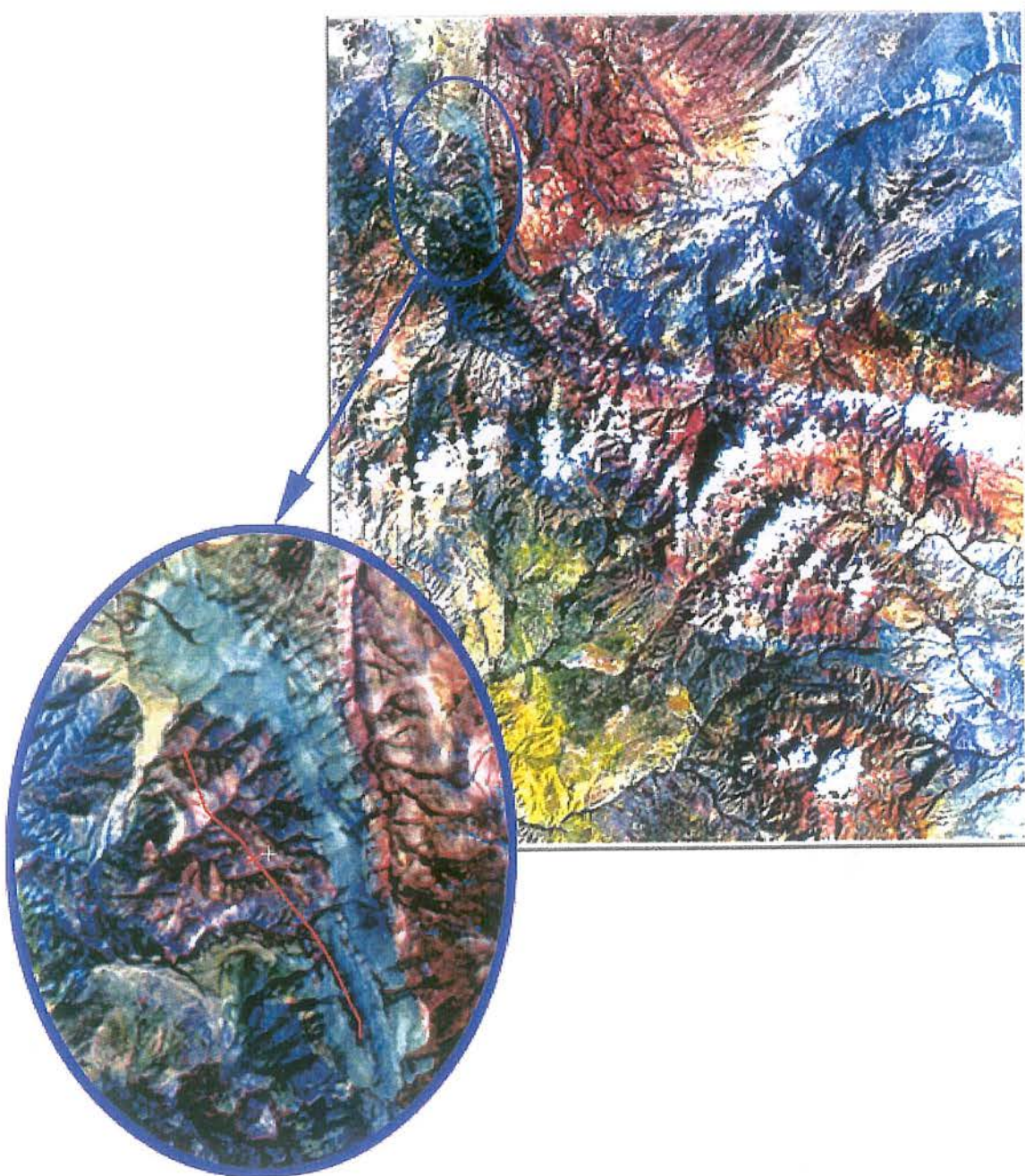
TOTAL DATA= 47
C.I.= 10°



تصویر ۳-۸- نمودار گل سرخی مربوط به گسلهای نرمال منطقه



تصویر ۳-۹- چین خورده منطقه بین آقدره تا زرده شوران با روند N/35°E



تصویر ۱۰-۳- تاقدیس تازه کند و گسلهای مربوط به این تاقدیس



تصویر ۳-۱۰- تصویر ماهواره‌ای تاقدیس اورتایورد و شکل شماتیک تشکیل دهنده آن

پردازش داده‌ها جهت بارزسازی آلتراسیون

مقدمه :

پی‌جوئی کانسارهای گرمابی با استفاده از پردازش تصاویر ماهواردای بر پایه ویژگی‌های سطحی این نوع کانسارها صورت می‌گیرد. با مشخص کردن محدوده سنگهای دگرسان شده که به کمک ترکیب باندهای مختلف اطلاعات TM لندست بارز می‌گردد، می‌توان موقعیت احتمالی یک کانسار را تعیین نمود. (Goetz 1989)

کانسارهای گرمابی در نتیجه واکنش بین محلولهای گرمابی و سنگ میزبان و تغییراتی که در ترکیب شیمیایی و مینرالوژیکی آنها ایجاد می‌شود بوجود می‌آیند. کاربرد ویژه فن آوری دورسنگی در تهیه نقشه دگرسانی‌های گرمابی و تعیین نوع آنها است که انواع دگرسانی در محدوده مادون قرمز با انعکاسی میانه تا نزدیک از امواج الکترومغناطیسی بارز می‌گردند. با استفاده از روش‌های پردازشی و شناخت بازتاب‌های طیفی می‌توان وجود اکسیدها و هیدروکسیدهای آهن همانند لیمونیت و گوتیت را مشخص نمود.

وجود لیمونیت و گوتیت در محیط‌های سطحی بسیار مهم است زیرا محصول اکسیدان کانسارهای سولفیدی هستند (Harris et al. 1998). بنابراین آشکارسازی محصولات شسته شده سولفیدها، بطور مثال لیمونیت و گوتیت (گوسن‌ها) ممکن است مستقیماً راهنمای اکتشافی باشد.

در محدوده طیفی 1.0 m^2 از اطلاعات برای مشخص کردن کانیهای هیدروکسیل‌ها (Hydrous) مانند سرسیت، فیلوسیلیکات‌ها، کانیهای رسی، میکا و بیشتر سولفات‌ها استفاده می‌شود. این کانیها بیشتر بیان کننده دگرسانی فیلیک و آرژیلیک هستند بویژه بعنوان راهنمای اکتشافی برای مس پورفیری و رسوبات فلزی قیمتی بکار گرفته می‌شوند (Harris et al 1998).

۴-۲-پردازش اطلاعات ماهواره‌ای:

برای آشکارسازی زونهای دگرسانی بر روی تصاویر TM لندست چندین روش بر پایه منحنی‌های طیفی امواج الکترومغناطیسی وجود دارد که مهمترین آنها شامل:

الف - ترکیب رنگ مجازی از تقسیم باندها

ب - آنالیز مولفه‌های اصلی PCA

ج - روش‌های کلاسه بندی مختلف

که در اینجا در مورد دو روش اولیه برای تهیه نقشه سنگهای دگرسان شده توضیح داده خواهد شد. روش تقسیم باندها (نسبتی) که با استفاده از تقسیم یک باند بر باند دیگر بدست می‌آید، که برای ارزیابی ویژگی‌های طیفی مواد زمینی بسیار مفید است. این عمل بر اساس میزان اختلاف در بازتاب پدیده‌ها در باندهای گوناگون است. تفریق باندی نیز مشاهده تقسیم آنها است که می‌تواند در شناسایی نواحی دگرسانی بکار برد شود. این روش نسبت به دیگر روش‌های پیچیده پردازش تصویر نظریه تجزیه و تحلیل مولفه‌های اصلی کارایی بیشتری دارد. زیرا نتایج اعداد رقومی بازتاب طیفی حاصل شده (DN) می‌تواند مستقیماً به اطلاعات ترکیبی مواد زمین نسبت داده شوند (Harris et al 1998).

۴-۳-تجزیه و تحلیل باندهای TM لندست:

قبل از بیان محاسبات روش‌های نسبتی و PCA، ابتدا تجزیه و تحلیل آماری تک باندها را برای انتخاب بهترین باند و ایجاد ترکیب رنگی مجازی را مرور می‌نمائیم. نتایج آماری هر یک از باندها در جدول شماره ۴-۱ نشان داده شده است. این جدول نشان می‌دهد که باندهای TM3,TM2,TM1 دارای توزیع روشنائی (albedo) یکسانی هستند و دارای مقدار حداقل بزرگتری نسبت به باندهای TM7, TM5, TM4 می‌باشند که این حالت بدلیل پدیده پراکنش اتمسفری است. باند TM2 دارای کمترین مقدار واریانس است و لذا دارای کنتراست پایین می‌باشد، ولیکن باند

Display Dataset Statistics

STATISTICS FOR DATASET: madani/Takht-e-Soleyman

REGION: All

	Band1	Band2	Band3	Band4	Band5	Band7
	-----	-----	-----	-----	-----	-----
Non-Null Cells	262144	262144	262144	262144	262144	262144
Area In Hectares	250029.826	250029.826	250029.826	250029.826	250029.826	250029.826
Area In Acres	617837.202	617837.202	617837.202	617837.202	617837.202	617837.202
Minimum	0.000	0.000	0.000	0.000	0.000	0.000
Maximum	255.000	255.000	255.000	255.000	255.000	255.000
Mean	49.896	84.434	93.089	107.375	121.873	138.936
Median	45.000	78.000	90.000	106.000	125.000	143.000
Std. Dev.	32.046	40.846	39.349	45.033	47.995	49.894
Std. Dev. (n-1)	32.046	40.846	39.349	45.033	47.995	49.894
Corr. Eigenval.	4.925	0.558	0.403	0.073	0.022	0.019
Cov. Eigenval.	9142.440	908.512	835.438	97.933	49.254	31.092
Correlation Matrix	Band1	Band2	Band3	Band4	Band5	Band7
-----	-----	-----	-----	-----	-----	-----
Band1	1.000	0.926	0.874	0.610	0.651	0.632
Band2	0.926	1.000	0.971	0.700	0.805	0.796
Band3	0.874	0.971	1.000	0.707	0.845	0.847
Band4	0.610	0.700	0.707	1.000	0.759	0.640
Band5	0.651	0.805	0.845	0.759	1.000	0.962
Band7	0.632	0.796	0.847	0.640	0.962	1.000
Determinant	0.000					
Covariance Matrix	Band1	Band2	Band3	Band4	Band5	Band
-----	-----	-----	-----	-----	-----	-----
Band1	1026.951	1211.736	1101.698	879.834	1000.564	1010.756
Band2	1211.736	1668.433	1560.580	1287.528	1577.428	1622.480
Band3	1101.698	1560.580	1548.365	1253.162	1595.865	1661.956
Band4	879.834	1287.528	1253.162	2020.001	1641.157	1437.217
Band5	1000.564	1577.428	1595.865	1641.157	2303.484	2302.889
Band7	1010.756	1622.480	1661.956	1437.217	2302.889	2489.436
Determinant	1040719345804850.500					

جدول ۱-۴- نتایج آماری هر یک از باندها نسبت به بقیه باندها

TM5 دارای بیشترین مقدار واریانس است که این نیز بدلیل تفاوت زیاد بین عکس العمل طیفی مواد گوناگون سطح زمین در این باند می باشد که ایجاد کنتراست بالایی را می نماید.

اطلاعات باندهای مجاور و نزدیک در تصاویر چند باندی TM بیشتر همبستگی دارند بعبارتی همبستگی منفی مابین باندهای مرئی و مادون قرمز و نیز مثبت بین باندهای مرئی لندست وجود دارد. بازتاب پوشش گیاهی به گونه ای است که تراکم پوشش گیاهی سبب کاهش انعکاس بخش قرمز طیف الکترومغناطیس و افزایش انعکاس در طیف مادون قرمز است. وجود همبستگی مابین باندهای تصاویر چند طیفی بیانگر وجود اطلاعات مشترک و یا به عبارت دیگر تکرار اطلاعات است.

ماتریکس همبستگی (جدول ۴-۱) نشان می دهد که باندهای TM3, TM2, TM1 در قسمت مرئی طیف کاملاً با یکدیگر همبستگی دارند. کمترین همبستگی بین باندهای TM4, TM1 (۱۰٪ درصد) می باشد.

بر اساس تجزیه و تحلیل تک باندی و بکار بردن اندیس انتخاب سه گانه باندها (IOBS) ترکیب رنگی TM5=R, G=TM4, B=TM1 بهترین ترکیب رنگی مجازی جهت مشخص نمودن واحدهای سنگی گوناگون می باشد (Moore et al 1999). تصویر ۴-۱ نشانه نهاده ترکیب رنگی مجازی ۵,4,1 = RGB از داده های TM منطقه تخت سلیمان می باشد.

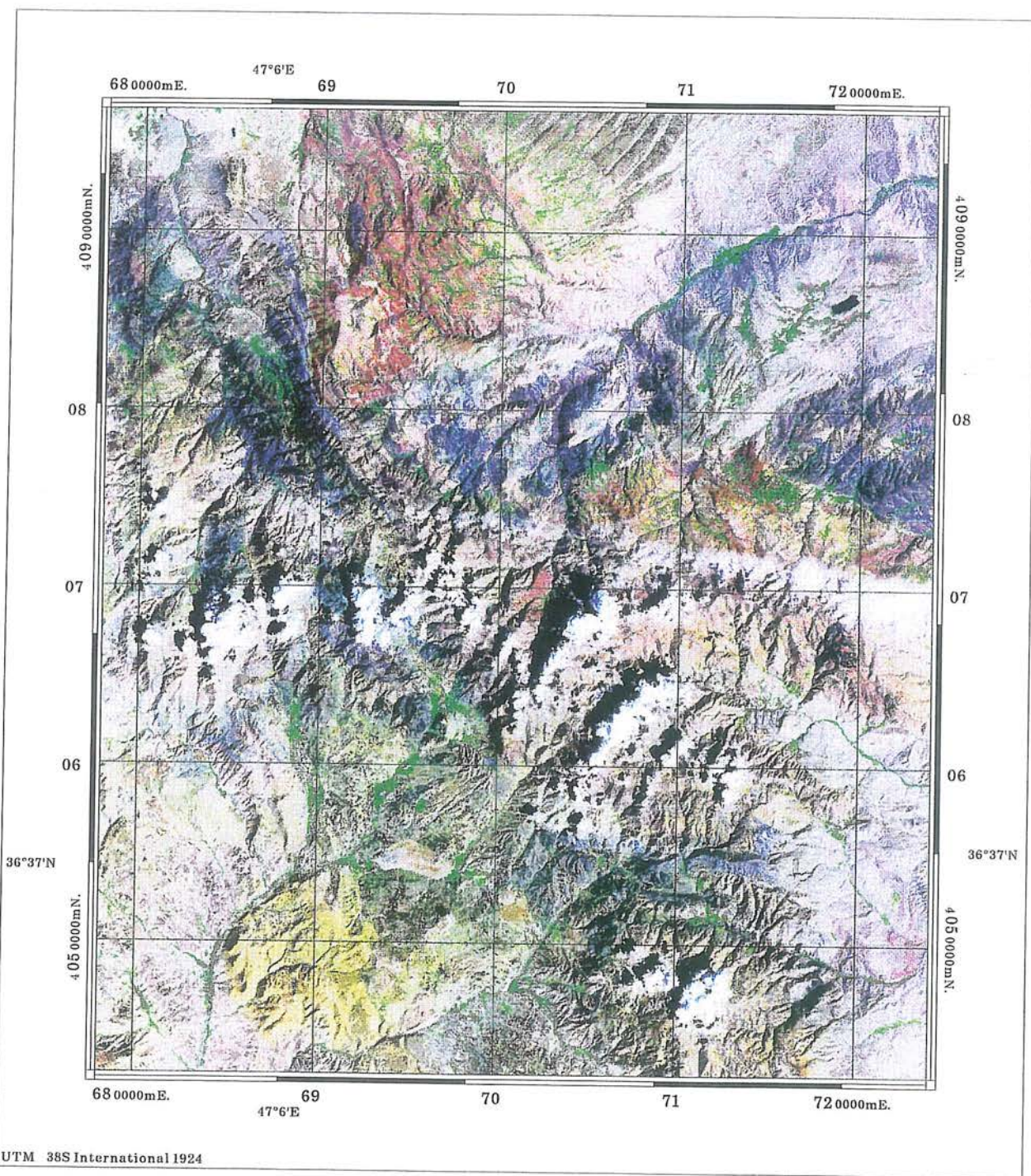
۴-۴- ترکیب رنگ مجازی از تقسیم باندها

تصاویر نسبتی (Ratio) حاصل از تقسیم ارزش های DN یک باند طیفی بر باند دیگر می باشد. یک مزیت اصلی تصویر نسبتی این است که این تصاویر خصوصیات طیفی یا رنگی پدیده های تصویر را بدون توجه به تغییرات تابش وابسته به توپوگرافی و آلبیدوی سطح زمین آشکار می کند (Rowan & Lathran 1980).

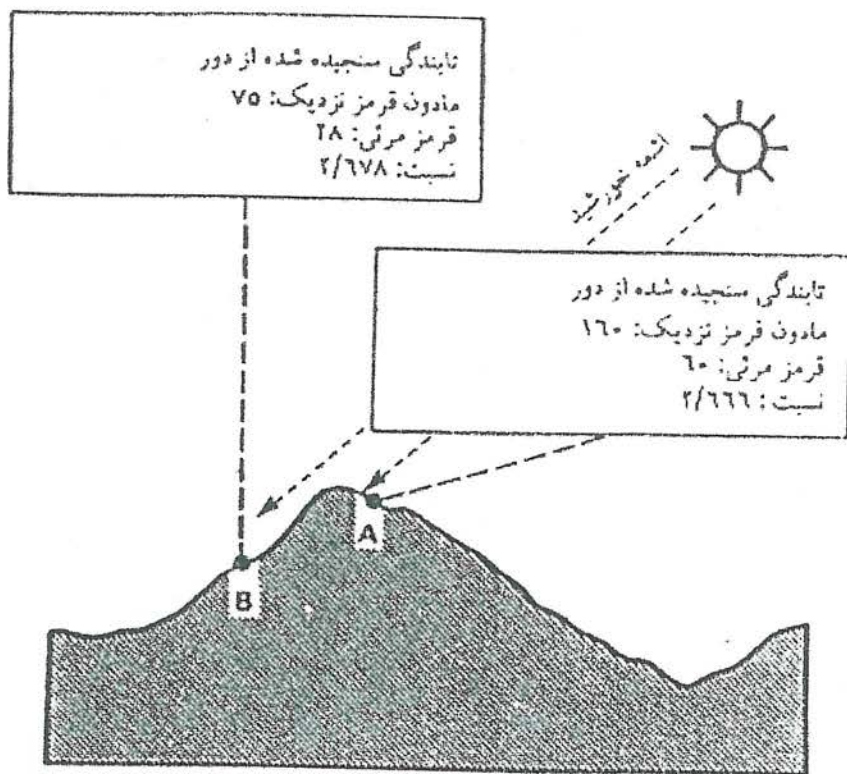
شکل ۱-۴ وضعیتی فرضی را که در آن تابندگی نقطه A ۵۰٪ درصد تابندگی نقطه B صرفأً

Color Composite Map of Takht-e-Soleyman

Bands : R= 5 , G= 4 , B= 1



تصویر ۲-۱۰- تصویر ماهواره‌ای ترکیب رنگ مجازی از داده‌های TM5,4,1



52	53	54	58	62	69	72
51	53	55	61	66	72	73
51	54	58	65	70	75	74
52	58	62	69	73	76	75
54	61	65	72	74	76	76
58	64	67	72	73	76	76
60	65	68	71	72	75	77

Band 5

53	53	53	60	67	79	84
52	54	56	65	73	84	88
51	56	60	72	80	88	89
53	61	68	79	85	90	88
56	66	74	85	88	91	89
61	72	78	87	88	90	90
65	75	81	87	86	89	90

Band 3

7	8	8	8	8	7	7
7	8	8	8	8	7	7
7	8	8	8	7	7	7
8	8	8	7	7	7	7
8	8	8	7	7	7	7
8	8	8	7	7	7	7

Ratio Bands 5/3

شکل ۱-۴- وضعیتی فرضی تابندگی A,B که تفاوت منظر دامنه نسبت به

آزمایش خورشید را نشان می‌دهد

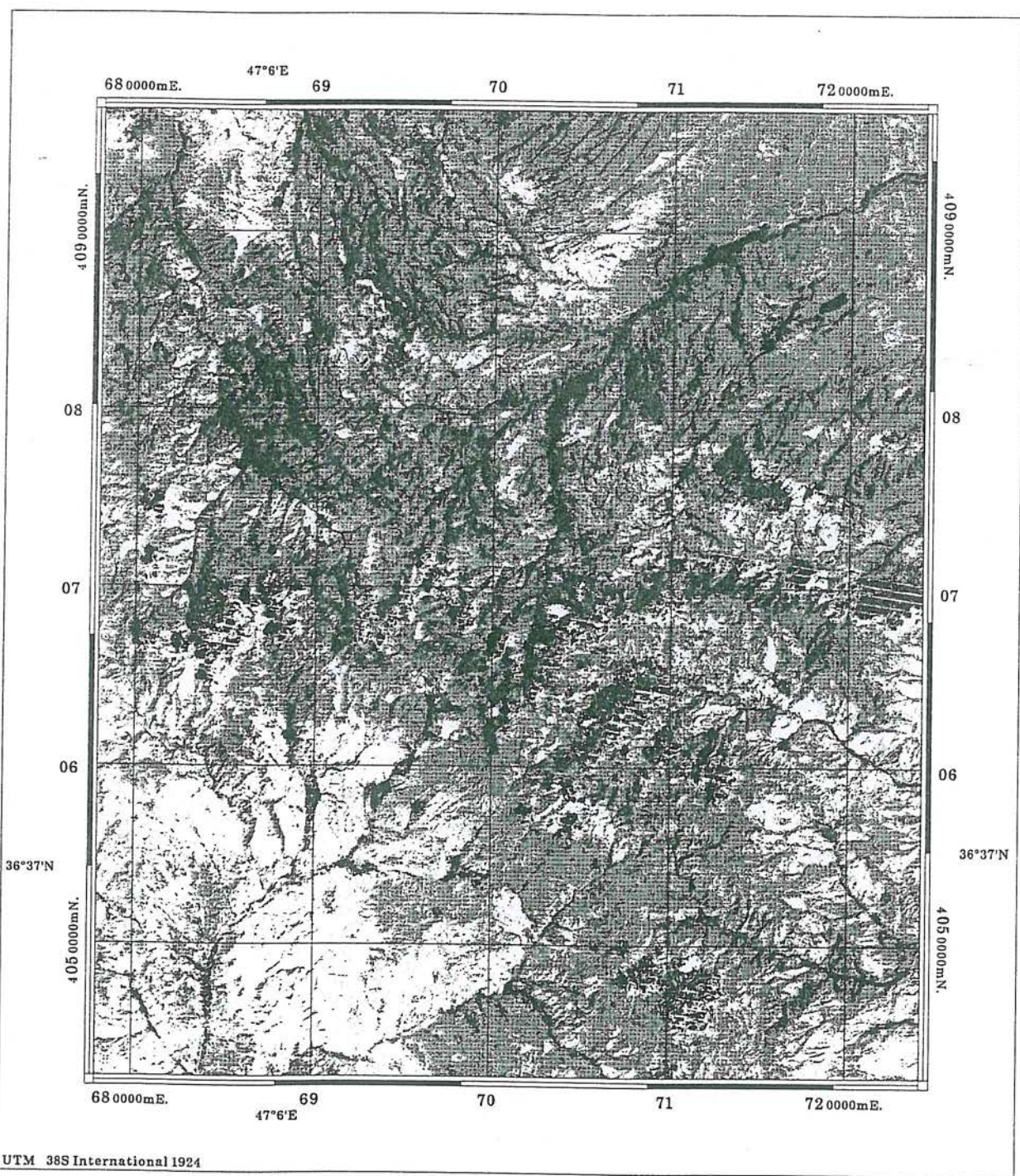
می باشد که بر اثر تفاوت منظر دامنه نسبت به آزمیوت خورشید را نشان می دهد. اگر چه دو نقطه A و B بر روی یک نوع پوشش زمین قرار دارند، نتیجه تفریق ارزش‌های عددی دو باند در نقطه A تقریباً دو برابر تفریق ارزش‌های عددی دو باند در نقطه B است. حال آنکه نسبت دو باند در دو نقطه A و B تقریباً یکسان است. در این حالت اثر توپوگرافی به نحو مؤثری حذف شده است، البته همیشه چنین حالتی پیش نمی آید (P.M.Mather 1987).

در تصویر نسبتی TM3/TM1 اکسیدهای آهن بیشتر سولفیدهای آن (بطور شاخص) پیریت و کالکوپیریت در ناحیه مطالعاتی روشن‌تر خواهند بود. عبارتی دیگر مقدار درجه روشنایی آنها زیاد است اکسیدهای آهن دارای حداکثر انعکاس در باند TM3 و حداقل انعکاس در باند TM1 می باشند. تصویر ماهواره‌ای شماره ۴-۲ نشان دهنده مناطق دارای اکسیدهای آهن را (احتمالاً زون گوسن) که دارای مقدار DN بالا هستند نشان می دهد. در تجزیه و تحلیل این تصویر باید دقیقت زیاد کرد زیرا هر سازندی که اکسید آهن دار باشد در تصویر نسبتی TM3/TM1 روشن‌تر دیده می شود، بنابراین بین مناطق حاوی آنومالی اکسیدهای آهن با سازندهای آهن دار (بیشتر خمیره و سیمان آنها) باید تفکیک قائل شد. در تصویر ۴-۲ بخش زیادی از جنوب باختری نقشه تخت سلیمان بعلت وجود سازند سرخ فوقانی که شامل ماسه سنگ و میکرو-کنگلومراهای قرمزرنگ می باشد دارای مقدار DN بالا در تصاویر نسبتی می باشد چرا که محیط تشکیل سازند سرخ فوقانی محیط اکسیدان در حاشیه دریای نئوژن می باشد. عکس شماره ۴-۱ ماسه سنگها و مارنهای سازند سرخ فوقانی که در قاعده آن میکروکنگلومرا دیده می شود را نشان می دهد.

برای تشخیص نواحی دگرسانی بطور مثال دگرسانی سرسیتی (فیلیک) و نیز کانیهای رسی تصویر نسبتی TM5/TM7 مناسب می باشد، زیرا در باند TM5 سنگهای دگرسان با بازتاب شدید و در باند TM7 با بازتاب کم و یا جذب قوی بدليل وجود کانیهای هیدروکسیل مشخص می گردد، بنابراین جهت TM5/TM7 دارای DN بالایی خواهد بود. در تصویر شماره ۴-۳ تصویر نسبتی TM5/TM7 بصورت تک رنگ دیده می شود که می توان با دقیقت بسیار مناطق دگرسانی

Color Composite Map of Takht-e-Soleyman

Ratio Bands: Band 3 / Band 1



UTM 38S International 1924

BY : Remote Sensing Group of G.S.I.

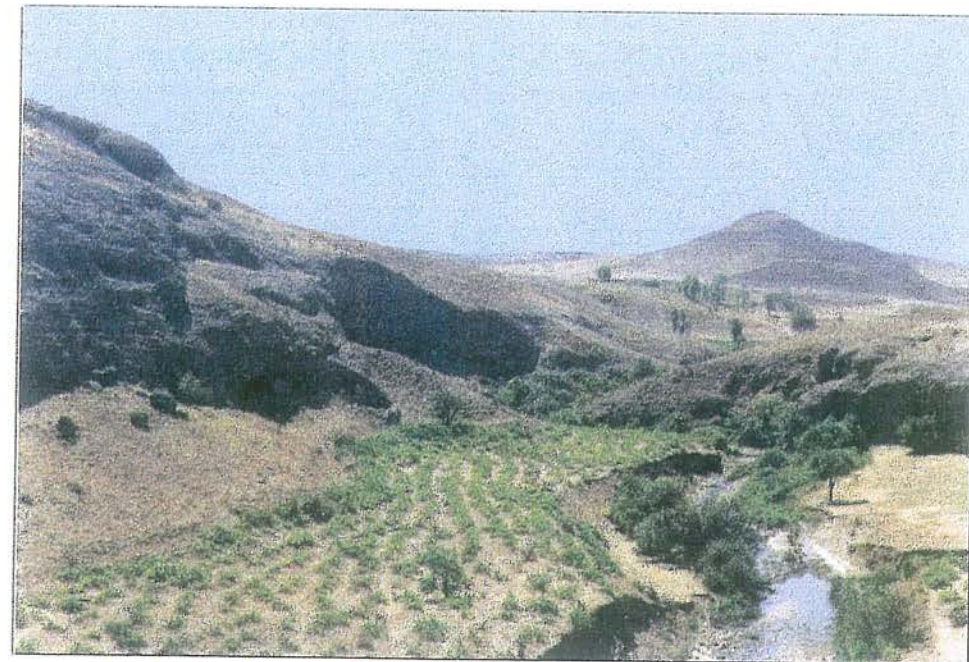
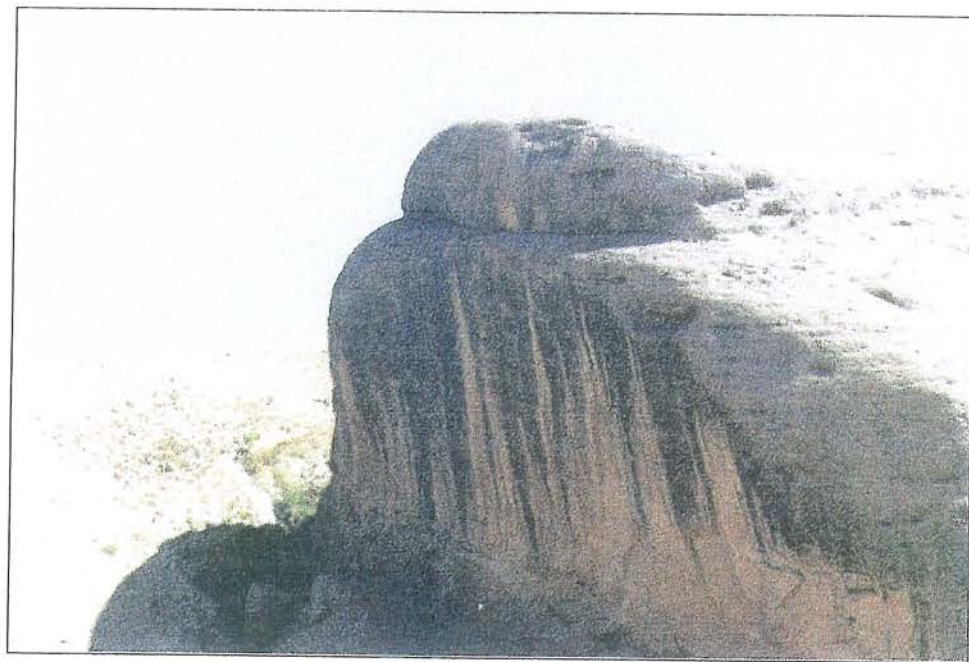
M. Madani Givi

1:350000

2000 0 2000 4000 6000



تصویر ۲-۴- تصویر نسبتی ماهواردای TM3/TM1

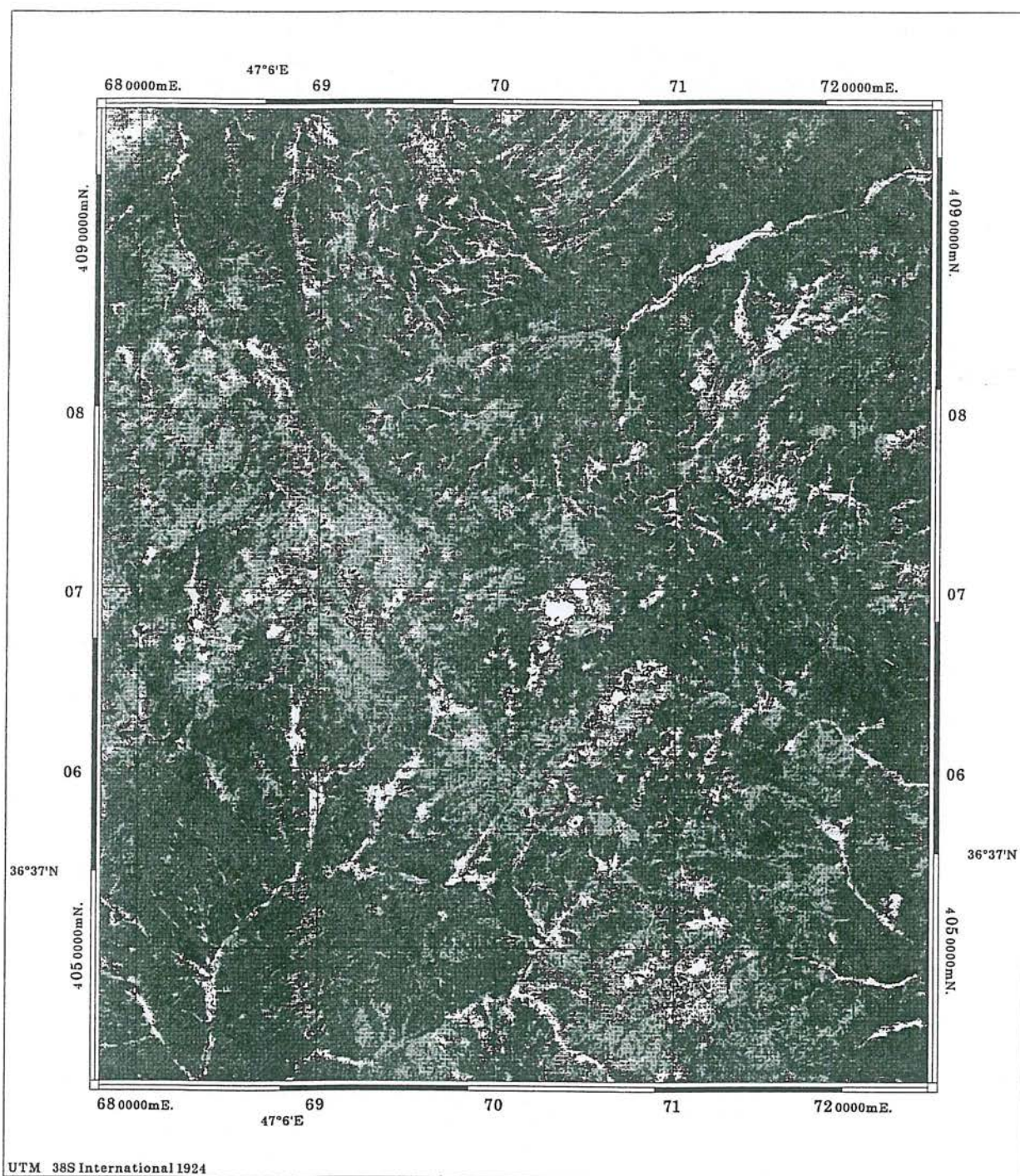


عکس شماره ۱-۴- ماسه سنگ و مارنهای سازند سرخ فوقانی با قاعده میکروکنگلومرا

در باخته گوگردچی (دید رو به جنوب)

Color Composite Map of Takht-e-Soleyman

Ratio Bands : Band 5 / Band 7



BY: Remote Sensing Group of G.S.I.
M. Madani Givi

1:350000

2000 0 2000 4000 6000



تصویر ۳-۴- تصویر نسبی TMS/TM7 برای مشخص کردن نواحی دگرسانی

هیدروکسیلی را مشخص نمود. برای اینکه تصویر رنگی مجازی از محدوده‌های دگرسان شده ایجاد گردد، از ترکیب رنگی مجازی $B=TM3/TM1$, $G=TM4/TM2$, $R=TM5/TM7$ استفاده می‌کنیم که در این حالت مناطق دگرسان برنگ بنفش تا صورتی کم رنگ بارز می‌شود. در تصویر شماره ۴-۴ پوشش گیاهی برنگ زرد دیده می‌شود. در تصویر شماره ۴-۵ مناطقی که دارای یونهای هیدروکسیلی می‌باشند با گرافیک ویژه‌ای جدا شده این نواحی بهتر نمایان می‌شود.

در تصویر تیریقی شماره ۴-۶ که از ترکیب رنگی مجازی $B=TM3-TM1$, $G=TM4-TM2$, $R=TM5-TM7$ ایجاد شده است، نواحی دگرسانی نسبت به دیگر مناطق بارزتر دیده می‌شود.

۴-۴-پردازش تصاویر ماهواره‌ای بر اساس آنالیز مولفه‌های اصلی (PCA) همانطور که در بخش ۴-۳ بیان گردید، مابین باندهای تصاویر TM همبستگی وجود دارد که حکایت از وجود اطلاعات مشترک و یا به عبارت دیگر تکرار اطلاعات است، بنابراین برای کاهش فراوانی و ابعاد داده‌ها تکnik آنالیز مولفه اصلی PCA مفید می‌باشد

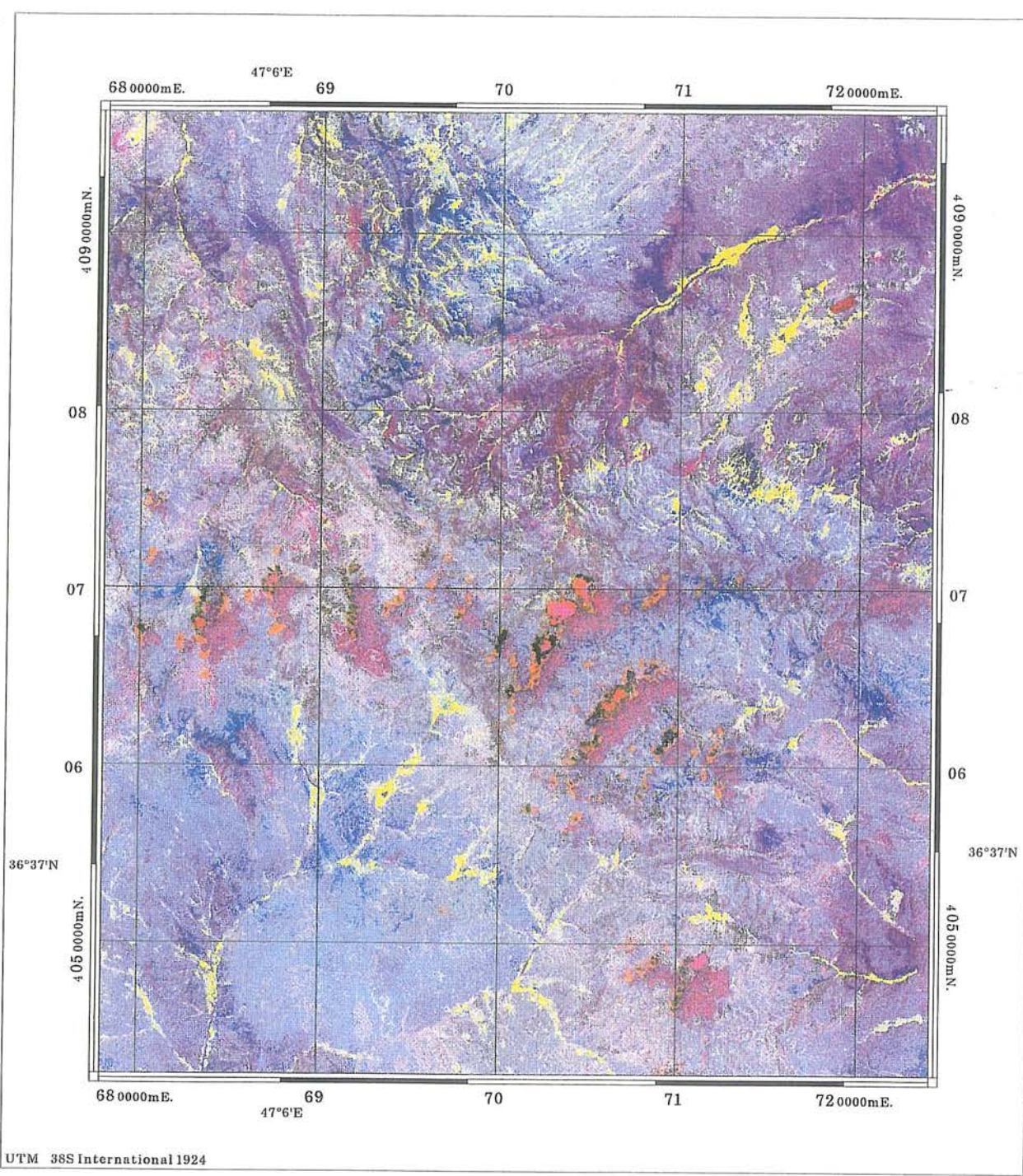
(Drury1987.Lillesand&Kiefer1987)

شش باند اصلی داده‌های TM بجز باند TM6 (باند حرارتی) بطور آماری به شش مؤلفه اصلی PCA جدید تبدیل می‌گردد، بطوریکه ضریب همبستگی بین باندها به صفر می‌گراید. این خصوصیات آنالیز مولفه‌های اصلی برای فشرده کردن اطلاعات بسیار مفید است. جدول ۴-۲ طبقه‌بندی آماری مولفه‌های اصلی بر اساس واریانس و کوواریانس داده‌ها را نشان می‌دهد.

اولین مؤلفه اصلی PC1 دارای مقدار عددی مثبت برای تمام باندها را دارد و نیز با توجه به جدول ۴-۳ در TM1 بیشترین واریانس داده‌ها (9142.44) می‌باشد که توسط بالاترین مقدار ویژه eigen Value (82.63) نشان داده شده است، بنابراین PC1 بیشترین کنتراست و نیز اطلاعات

Color Composite Image of Takht-e-Soleyman

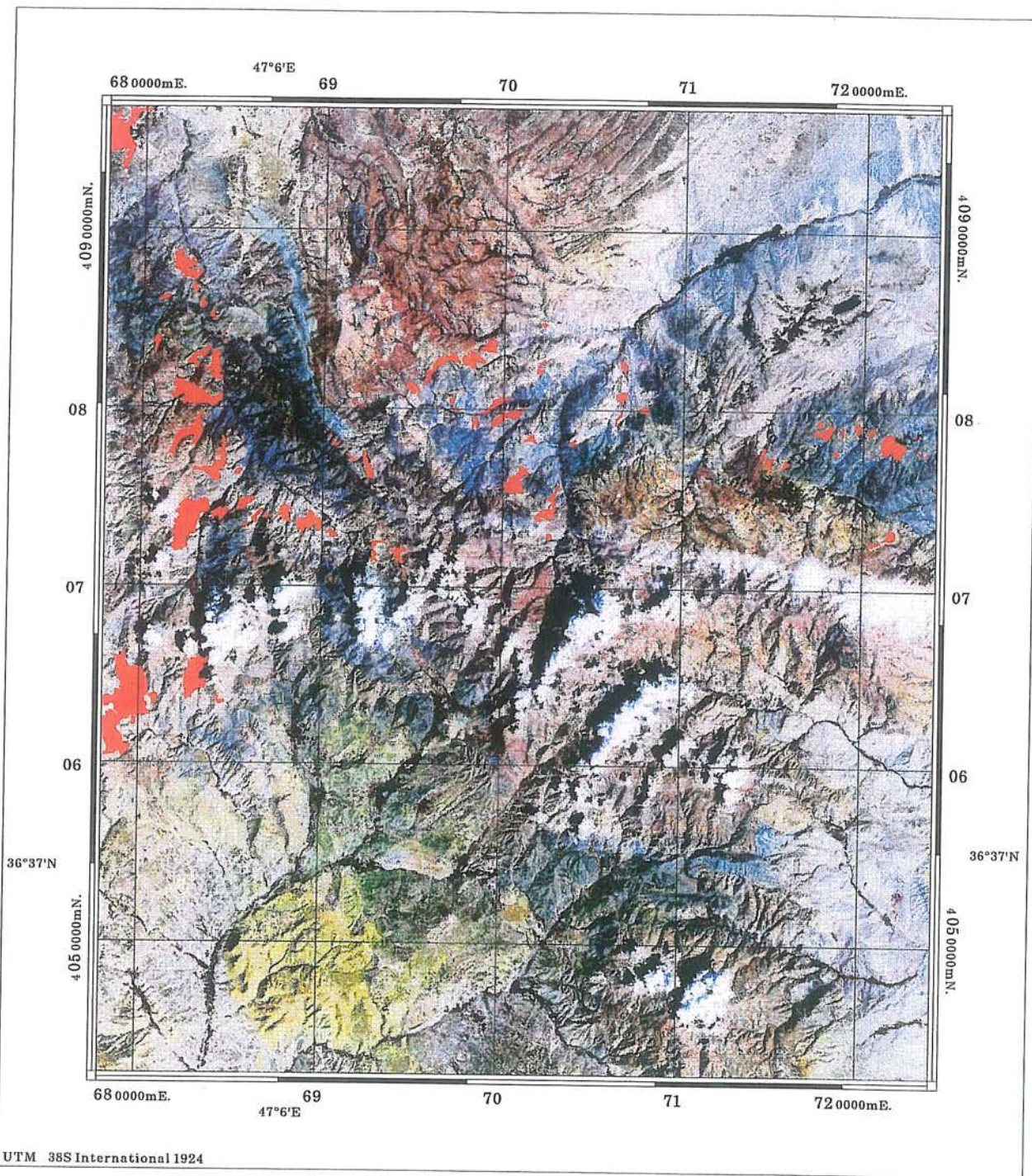
Ratio Bands : R=5 / 7, G=4 / 2, B=3 / 1 With Linear Enhancement



تصویر ۴-۴- ترکیب رنگ مجازی حاصل از تصویر نسبتی TM₅/TM₇, TM₄/TM₂, TM₃/TM₁

Color Composite Map of Takht-e-Soleyman

Bands : R= B5 , G= B3 , B= B3

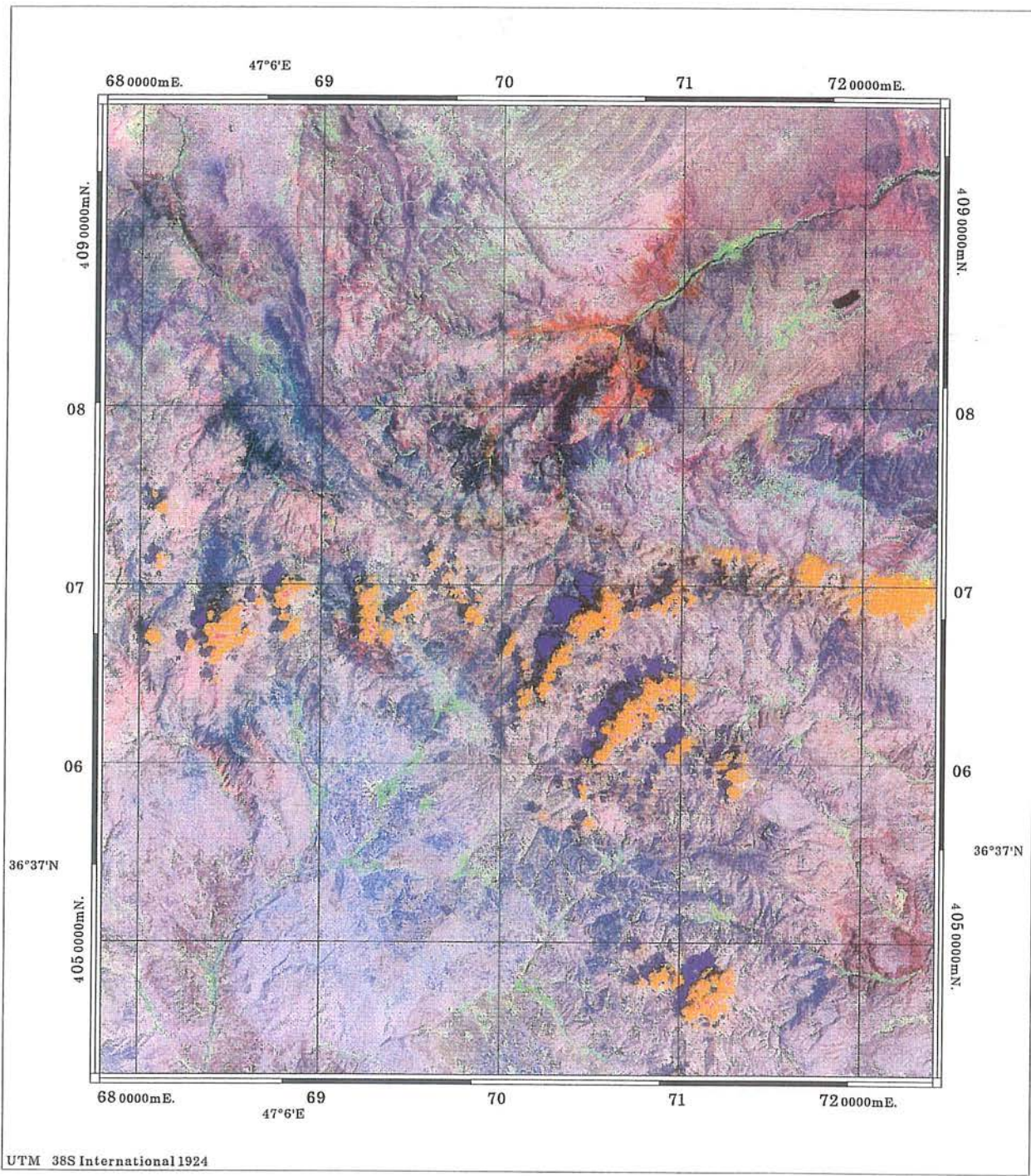


تصویر ۴-۵- نواحی دگرسانی با گرافیک قرمز در تصویر ترکیب مجازی

نشان داده شده است TM5,3,1

Color Composite Image of Takht-e-Soleyman

Difference Bands: R= 5-7, G= 4-2, B= 3-1



UTM 38S International 1924

BY : Remote Sensing Group of G.S.I.

M. Madani Givi

1:350000



تصویر ۶-۴- ترکیب رنگ مجازی تصویر تفاضلی حاصل از TM5-TM7, TM4-TM2, TM3-TM1

STATISTICS FOR DATASET: madani/Takhti-e-Soleyman						
REGION: All	Band1	Band2	Band3	Band4	Band5	Band 7
Non-Null Cells	262144	262144	262144	262144	262144	262144
Area In Hectares	250029.826	250029.826	250029.826	250029.826	250029.826	250029.826
Area In Acres	617837.202	617837.202	617837.202	617837.202	617837.202	617837.202
Cov. Eigenvectors	PC1	PC2	PC3	PC4	PC5	PC6
Band1	0.274	-0.514	-0.244	-0.691	-0.215	-0.278
Band2	0.399	-0.389	-0.255	0.183	0.170	0.750
Band3	0.392	-0.237	-0.232	0.611	0.128	-0.589
Band4	0.384	-0.213	0.874	0.058	-0.198	0.014
Band5	0.479	0.429	0.072	-0.334	0.681	-0.080
Band7	0.485	0.546	-0.227	0.030	-0.637	0.085
Inv. of Cov. Ev.	PC1	PC2	PC3	PC4	PC5	PC6
Band1	0.274	0.399	0.392	0.384	0.479	0.485
Band2	-0.514	-0.389	-0.237	-0.213	0.429	0.546
Band3	-0.244	-0.255	-0.232	0.874	0.072	-0.227
Band4	-0.691	0.183	0.611	0.058	-0.334	0.030
Band5	-0.215	0.170	0.128	-0.198	0.681	-0.637
Band7	-0.278	0.750	-0.589	0.014	-0.080	0.085
Corr. Eigenvectors	PC1	PC2	PC3	PC4	PC5	PC6
Band1	0.390	-0.628	0.058	0.627	-0.188	0.147
Band2	0.432	-0.325	-0.052	-0.302	0.464	-0.631
Band3	0.436	-0.185	-0.124	-0.638	-0.210	0.555
Band4	0.363	0.306	0.860	-0.029	-0.166	-0.087
Band5	0.417	0.453	-0.174	0.306	0.604	0.365
Band7	0.406	0.409	-0.458	0.117	-0.560	-0.362
Inv. of Corr. Ev.	PC1	PC2	PC3	PC4	PC5	PC6
Band1	0.390	0.432	0.436	0.363	0.417	0.406
Band2	-0.628	-0.325	-0.185	0.306	0.453	0.409
Band3	0.058	-0.052	-0.124	0.860	-0.174	-0.458
Band4	0.627	-0.302	-0.638	-0.029	0.306	0.117
Band5	-0.188	0.464	-0.210	-0.166	0.604	-0.560
Band7	0.147	-0.631	0.555	-0.087	0.365	-0.362

جدول ۴-۲- طبقه‌بندی آماری مؤلفه‌های اصلی بر اساس واریانس و کوواریانس داده‌ها

توپوگرافی را می دهد که برای بارزسازی ساختارهای خطی و تفسیر ساختمانی مفید می باشد.

بررسی مقدار و علامت (مثبت یا منفی) کوواریانس بردار ویژه eigen Vector برای PCA نسبت به باندها با توجه به جدول ۴-۲ می توان اطلاعات مفیدی کسب کرد. بنابراین مولفه های Fe⁺³, Fe⁺², گیاهان، آهن سه ظرفیتی PCA_{۶,۵,۴,۳,۲} می تواند بترتیب برای آهن دو ظرفیتی (Bushara 1996) سودمند باشدند (noise).

Bands	Eigen Values	Variance (%)	ToTal (%)
B1	9142.44	82.63	82.63
B2	908.512	8.21	90.84
B3	833.438	7.55	98.39
B4	97.933	0.88	99.27
B5	49.254	0.45	99.72
B7	31.092	0.28	100.00

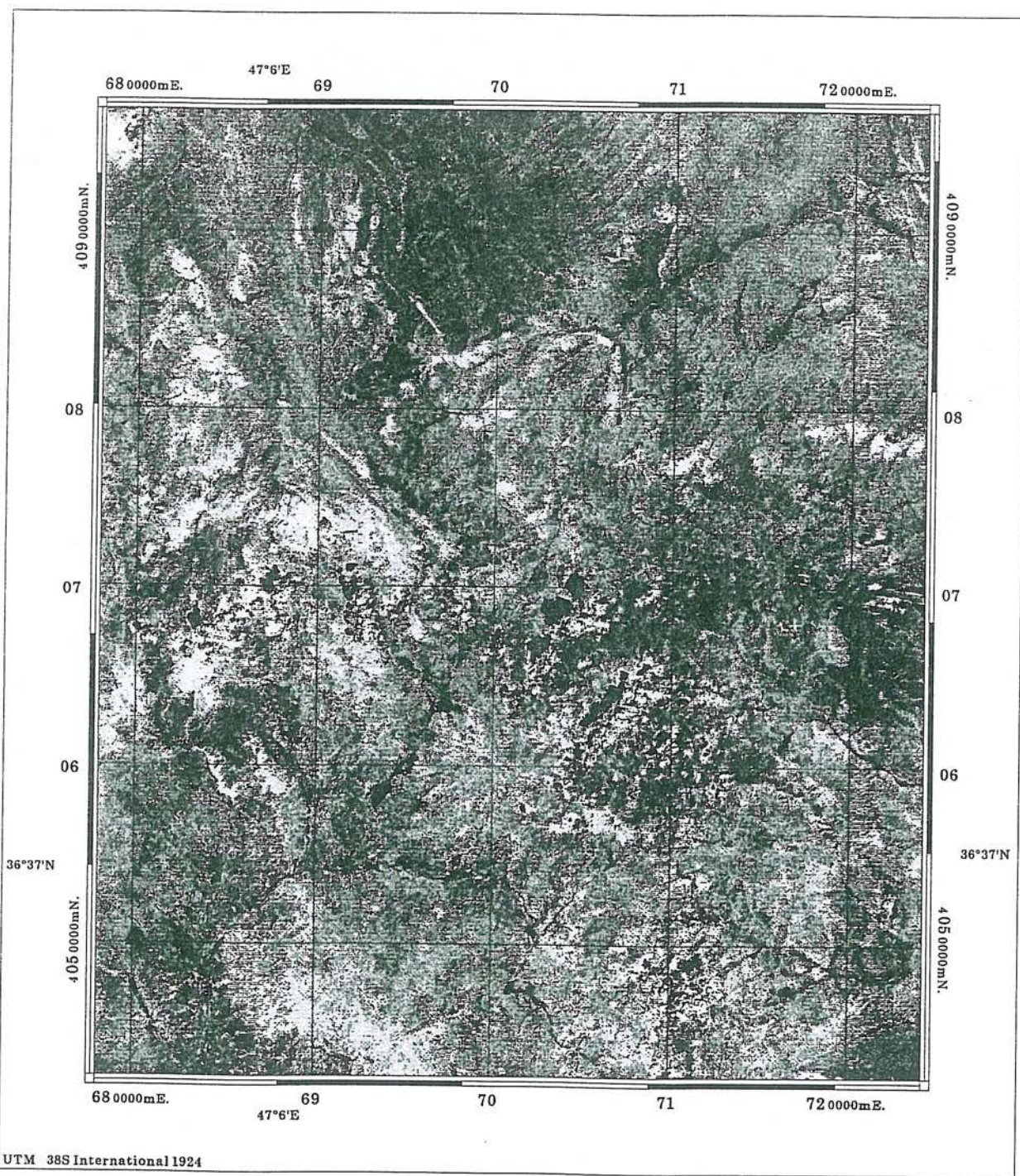
جدول ۴-۳- بیانگر مقادیر واریانس و مقدار ویژه باندهای مختلف TM

با بررسی بردار ویژه eigen Vector برای PC3 در جدول ۴-۲، حداکثر بازتاب در TM4 (0.874) و حداقل آن در TM2 با مقدار (0.255) دیده می شود که این مسئله با بازتاب شدید پوشش گیاهی در باند TM4 و جذب آن در باند TM2 مطابقت می کند.

کانیهای هیدروکسیل نیز بصورت پیکسلهای روشن در PC5 دیده می شود زیرا حداکثر مقدار بردار ویژه در TM5 (0.681) و حداقل آن در TM7 (0.637) می باشد که از نظر تئوری، هیدروکسلها بازتاب شدید در TM5 و بازتاب ضعیف در TM7 دارند. اینگونه تحلیل مولفه های اصلی در جداسازی کانیهای اکسید آهن و هیدروکسیل بدون ابهام در یک تصویر PCA جدأگانه، موفق عمل می کند. تصویر شماره ۴-۷ تصویر PC5 جهت نشان دادن کانیهای هیدروکسیل در منطقه تخت سلیمان می باشد. همانطور که در این تصویر دیده می شود، پیکسل هایی که دارای DN بالا هستند یعنی روشن تر می باشند بیانگر نواحی است که حاوی کانیهای هیدروکسیل می باشند. اگر تعداد کانالهای ورودی کاهش داده شود، شناس تعیین یک PC مشخص برای کانی خاص افزایش خواهد یافت (Loughlin 1991).

Color Composite Image Map of Takht-e-Soleyman

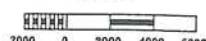
Principal Component Analysis : PC5



BY: Remote Sensing Group of G.S.I.

M. Madani Givi

1:350000



تصویر ۷-۴- تصویر ماهواره‌ای PC5 جهت نشان دادن کانیهای هیدروکسیل

۱-۵-۴-آنالیز مولفه اصلی برای چهار باند نقشه برداری هیدروکسیل

جدول ۴-۴ بیانگر تبدیل مولفه‌های اصلی بر داده‌های خام باندهای TM (۱، ۴، ۵، ۷) منطقه تخت سلیمان می‌باشد. باندهای TM2، TM3 آگاهانه حذف گردیده‌اند تا از نقشه برداری اکسیدهای آهن صرف‌نظر گردد و حتی بایستی توجه شود که TM2 و یا TM3 می‌تواند بجای TM1 در این تبدیل جایگزین گردد.

در این محاسبه آماری PC1 نشان‌دهنده شدت روشنایی (albedo) تصویر PC2 بیانگر کنتراست بین (SWIR) و محدوده مرئی، PC3 مشخصه پوشش گیاهی و PC4 نمایانگر کانیهای حاوی هیدروکسیل بصورت پیکسل‌های تیره می‌باشد. این تصویر هیدروکسیل (H) که در تصویر ۴-۸ بصورت آشکارسازی (infrequency) نشان داده شده است، بیانگر تمرکز آنومالیهای H بصورت زونهای روشن‌تر و مشخص می‌باشد. یک خصوصیت مهم این تصاویر (H) اینست که پوشش گیاهی در TM4 مقدار متفاوت دارد و این نوع تصویر برای شباهت موثر بین کلاسه‌های پوشش گیاهی مشخص (آنها که دارای برگ محتوی آب زیاد هستند) و هیدروکسیل در (SWIR) بسیار سودمند هستند.

روش ساده برای نقشه برداری هیدروکسیل توسط PCA بروی باندهای TM1, 4, 5, 7 می‌باشد به این صورت که بارهای بردار ویژه (eigen Vector) برای باندهای TM5 و TM7 در هر دو PC3 و PC4 بررسی می‌کنیم تا مشخص شود در کدامیک بار قوی و یا متوسط از هر دو باندها با علامت مخالف دارد و با بکارگیری آشکارسازی (infrequency) پیکسل‌های آنومالی‌ها در تمامی حالات روشن‌تر می‌باشد و تنها آن دسته از تصاویری که PC5 آنها دارای بار TM7 مثبت دارند، چنین حالتی را نشان می‌دهند. این تصاویر هیدروکسیل [H] بنام کروستا خوانده می‌شود

.(Loughlin 1991)

Display Dataset Statistics

STATISTICS FOR DATASET: Madani\Takht-e-Soleyman

REGION: All

	Band1	Band4	Band5	Band7
Non-Null Cells	11176416	11176416	11176416	11176416
Area In Hectares	250399.362	250399.362	250399.362	250399.362
Area In Acres	618750.345	618750.345	618750.345	618750.345
Minimum	0.000	11.000	0.000	0.000
Maximum	255.000	255.000	255.000	166.000
Mean	103.069	86.527	125.930	74.288
Median	100.000	85.000	128.000	76.000
Std. Dev.	24.226	17.092	29.533	19.003
Std. Dev. (n-1)	24.226	17.092	29.533	19.003
Corr. Eigenval.	3.196	0.401	0.377	0.027
Cov. Eigenval.	1746.466	232.087	119.481	14.283
Correlation Matrix	Band1	Band4	Band5	Band7
-----	-----	-----	-----	-----
Band1	1.000	0.625	0.705	0.667
Band4	0.625	1.000	0.768	0.648
Band5	0.705	0.768	1.000	0.958
Band7	0.667	0.648	0.958	1.000
Determinant	0.013			
Corr. Eigenvectors	PC1	PC2	PC3	PC4
-----	-----	-----	-----	-----
Band1	0.465	-0.746	0.476	-0.009
Band4	0.474	-0.232	-0.830	-0.180
Band5	0.540	0.356	0.044	0.761
Band7	0.517	0.513	0.287	-0.623

جدول ۴-۴- محاسبات آماری مؤلفه‌های اصلی بر داده‌های خام باندهای TM(7,5,4,1)

Display Dataset Statistics

STATISTICS FOR DATASET: Madani\Takht-e-Soleyman
REGION: All

Inv. of Corr. Ev.	PC1	PC2	PC3	PC4
Band1	0.465	0.474	0.540	0.517
Band4	-0.746	-0.232	0.356	0.513
Band5	0.476	-0.830	0.044	0.287
Band7	-0.009	-0.180	0.761	-0.623
Covariance Matrix	Band1	Band4	Band5	Band7
Band1	586.879	258.841	504.137	306.826
Band4	258.841	292.135	387.786	210.556
Band5	504.137	387.786	872.201	537.390
Band7	306.826	210.556	537.390	361.102
Determinant	691692508.882			
Cov. Eigenvectors	PC1	PC2	PC3	PC4
Band1	0.486	-0.862	-0.146	-0.002
Band4	0.331	0.032	0.911	0.243
Band5	0.688	0.407	-0.107	-0.591
Band7	0.425	0.300	-0.371	0.769
Inv. of Cov. Ev.	PC1	PC2	PC3	PC4
Band1	0.486	0.331	0.688	0.425
Band4	-0.862	0.032	0.407	0.300
Band5	-0.146	0.911	-0.107	-0.371
Band7	-0.002	0.243	-0.591	0.769

ادامه جدول ۴-۴



تصویر ۸-۴- تصویر هیدروکسیل (H) با آشکارسازی infrequency

۴-۵-۲-آنالیز مولفه‌های اصلی برای چهار باند - نقشه‌برداری اکسید آهن

جدول ۴-۵ بیانگر تبدیل مولفه‌های اصلی بر داده‌های خام باندهای TM_{1,۳,۴,۵} منطقه تخت سلیمان می‌باشد. حذف باند (SWIR) بطور آگاهانه بود تا از نقشه‌برداری هیدروکسیل اجتناب شود. در این تبدیل می‌توان TM₇ را بجای TM₃ جایگزین کرد ولیکن نتیجه آن نسبت به حالت قبل اثر کمتری دارد. در این محاسبه آماری PC₁ نشاندهنده شدت روشنایی (albedo) تصویر، PC₂ بیانگر کنتراست بین (IR) و محدوده مرئی (PC₃) مشخصه پوشش گیاهی و PC₄ نمایانگر اکسید آهن بصورت پیکسل‌های روشن می‌باشد.

اصول نقشه‌برداری اکسید آهن مشابه با نقشه‌برداری هیدروکسیل می‌باشد. به این صورت که بارهای بردار ویژه (eigen Vector) را برای باندهای TM₃, TM₁ در هر دو PC₃ و PC₄ بررسی می‌کنیم تا مشخص شود در کدامیک بار قوی و یا متوسط از هر دو باندها با علامت مخالف دارد و با بکارگیری آشکارسازی (infrequency) پیکسل‌های آنومالیهای اکسید آهن در تمام حالات روشن‌تر می‌شود و تنها آن دسته از تصاویری که آنها دارای بار TM₇ مثبت می‌باشد، چنین حالتی را نشان می‌دهند. این تصاویر اکسید آهن [F] بنام تصاویر کروستا خوانده می‌شود (Loughlin 1991).

تصویر ۴-۹ یک تصویر اکسید آهن [F] که به کمک آشکارسازی (infrequency) بارز شده است را نشان می‌دهد. همانطور که در تصویر نشان داده شده است پیکسل‌های روشن بیانگر وجود اکسید آهن در منطقه تخت سلیمان می‌باشد.

با جایگزین کردن TM₂ به جای TM₁ می‌توان هماتیت را نقشه‌برداری کرد. بخاطر نویه‌های موجود و سیستماتیک در TM₂، اینگونه تصاویر هماتیت دارای نویه‌ها (noises) زیادی نسبت به هم تصاویر H و هم تصاویر F می‌باشند (Loughlin, 1991).

STATISTICS FOR DATASET : Madani\Takht-e-Soleyman				
REGION: All	Band1	Band3	Band4	Band5
Non-Null Cells	11176416	11176416	11176416	11176416
Area In Hectares	250399.362	250399.362	250399.362	250399.362
Area In Acres	618750.345	618750.345	618750.345	618750.345
Minimum	0.000	0.000	11.000	0.000
Maximum	255.000	255.000	255.000	255.000
Mean	103.069	72.296	86.527	125.930
Median	100.000	71.000	85.000	128.000
Std. Dev.	24.226	19.584	17.092	29.533
Std. Dev. (n-1)	24.226	19.584	17.092	29.533
Corr. Eigenval.	3.279	0.425	0.225	0.071
Cov. Eigenval.	1781.999	220.795	99.509	32.462
Correlation Matrix	Band1	Band3	Band4	Band5
Band1	1.000	0.884	0.625	0.705
Band3	0.884	1.000	0.710	0.856
Band4	0.625	0.710	1.000	0.768
Band5	0.705	0.856	0.768	1.000
Determinant	0.022			
Corr. Eigenvectors	PC1	PC2	PC3	PC4
Band1	0.491	-0.603	-0.419	-0.469
Band3	0.528	-0.294	0.168	0.779
Band4	0.471	0.704	-0.529	0.061
Band5	0.509	0.235	0.719	-0.412

جدول ۴-۵- محاسبات آماری مؤلفه‌های اصلی بر داده‌های خام باندهای TM5,4,3,1

Display Dataset Statistics				
STATISTICS FOR DATASET: Madani\Takht-e-Soleyman				
REGION: All				
Inv. of Corr. Ev.	PC1	PC2	PC3	PC4
Band1	0.491	0.528	0.471	0.509
Band3	-0.603	-0.294	0.704	0.235
Band4	-0.419	0.168	-0.529	0.719
Band5	-0.469	0.779	0.061	-0.412
Covariance Matrix	Band1	Band3	Band4	Band5
Band1	586.879	419.213	258.841	504.137
Band3	419.213	383.551	237.752	494.984
Band4	258.841	237.752	292.135	387.786
Band5	504.137	494.984	387.786	872.201
Determinant	1270963170.326			
Cov. Eigenvectors	PC1	PC2	PC3	PC4
Band1	0.506	-0.750	-0.052	0.423
Band3	0.442	-0.198	0.140	-0.863
Band4	0.331	0.265	-0.905	-0.038
Band5	0.662	0.573	0.398	0.273
Inv. of Cov. Ev.	PC1	PC2	PC3	PC4
Band1	0.506	0.442	0.331	0.662
Band3	-0.750	-0.198	0.265	0.573
Band4	-0.052	0.140	-0.905	0.398
Band5	0.423	-0.863	-0.038	0.273

ادامه جدول ۴-۵



تصویر ۴-۹- تصویر اکسید آهن [F] با آشکارسازی infraqvency

۶-۴- ترکیبات کروستا و نقشه برداری آلتراسیون

تصاویر تک رنگی هیدروکسیل و اکسید آهن ایجاد شده از آشکارسازی بروی مولفه های اصلی چهار باند برای تفسیر تمرکز های آنومالی بسیار آسان می باشد که توسط پیکسل های روشن تر که دارای DN بالا می باشند، نشان می دهد. مزیت دیگر تصاویر کروستا اینست که می توانند با هم دیگر جمع شوند و یک تصویر (H+F) ایجاد کند که تمرکز آنومالی هم هیدروکسیل و هم اکسیدهای آهن را توسط پیکسل های روشن تر نشان می دهد. اگر ترکیب رنگی مجازی (H,H+F,F) را بصورت RGB قرار دهیم در این صورت در تصویر شماره ۶-۱۰ می توان آنومالی های موجود را اینگونه تفسیر کرد که پیکسل های سفید تا روشن بیانگر هم آلتراسیون آرزیلیکی و هم اکسید آهن است و نیز محدوده قرمز روشن تا نارنجی بیشتر نشان دهنده زون آرزیلیکی و رنگ فیلی روشن تا آبی بر عکس بیشتر حاوی اکسیدهای آهن نسبت به زون آرزیلیکی را نشان می دهد.

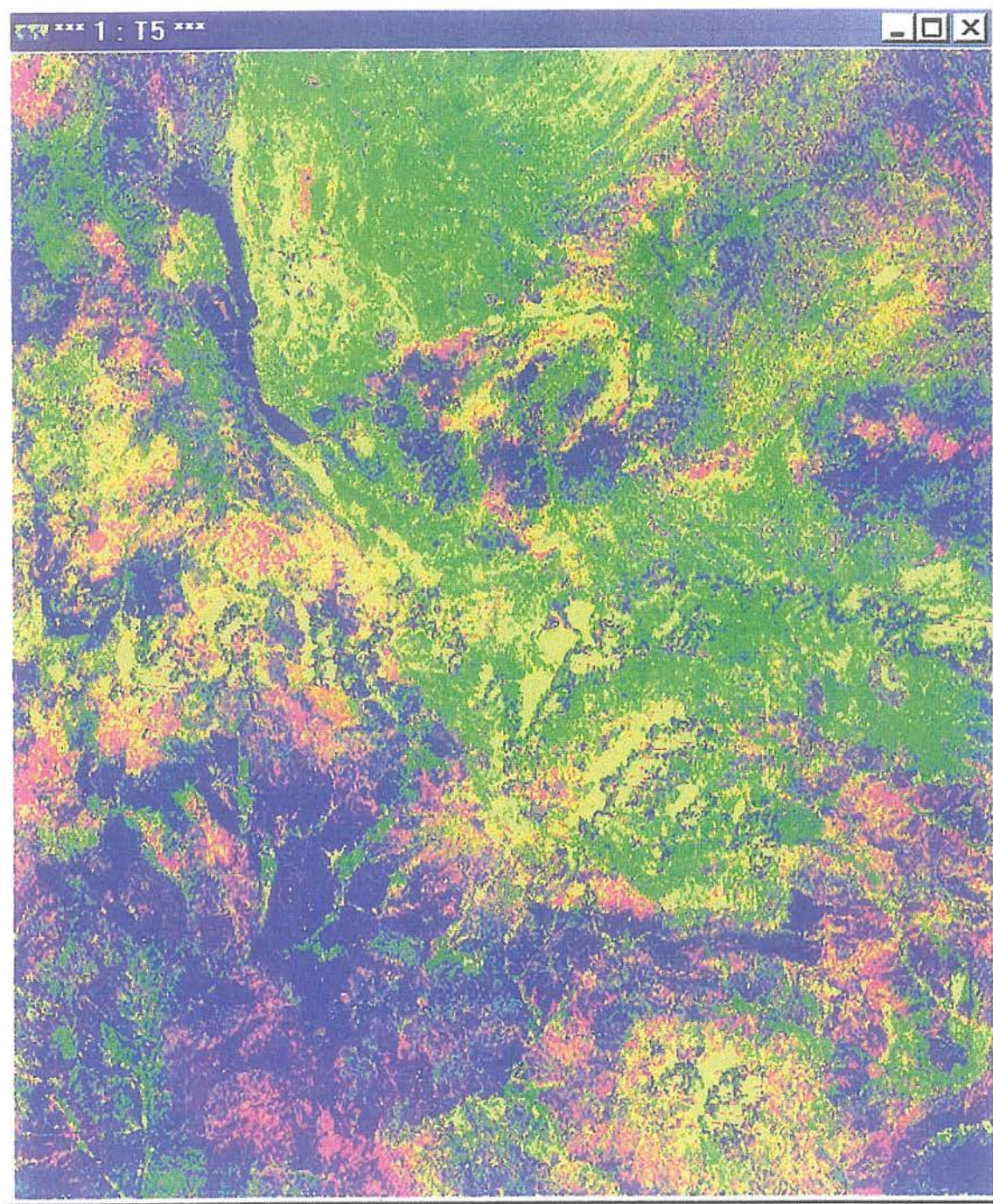
نتیجه‌گیری:

محدوده برگه ۱:۱۰۰,۰۰۰ تخت سلیمان بعلت تاثیر ولکانیسم در دوره پلیوکواترنر و قبل از آن از لحاظ معدنی غنی می‌باشد. بنابراین تشخیص محدوده‌های آلتراسیون و ارتباط آن با ساختار زمین ساختی منطقه حائز اهمیت می‌باشد.

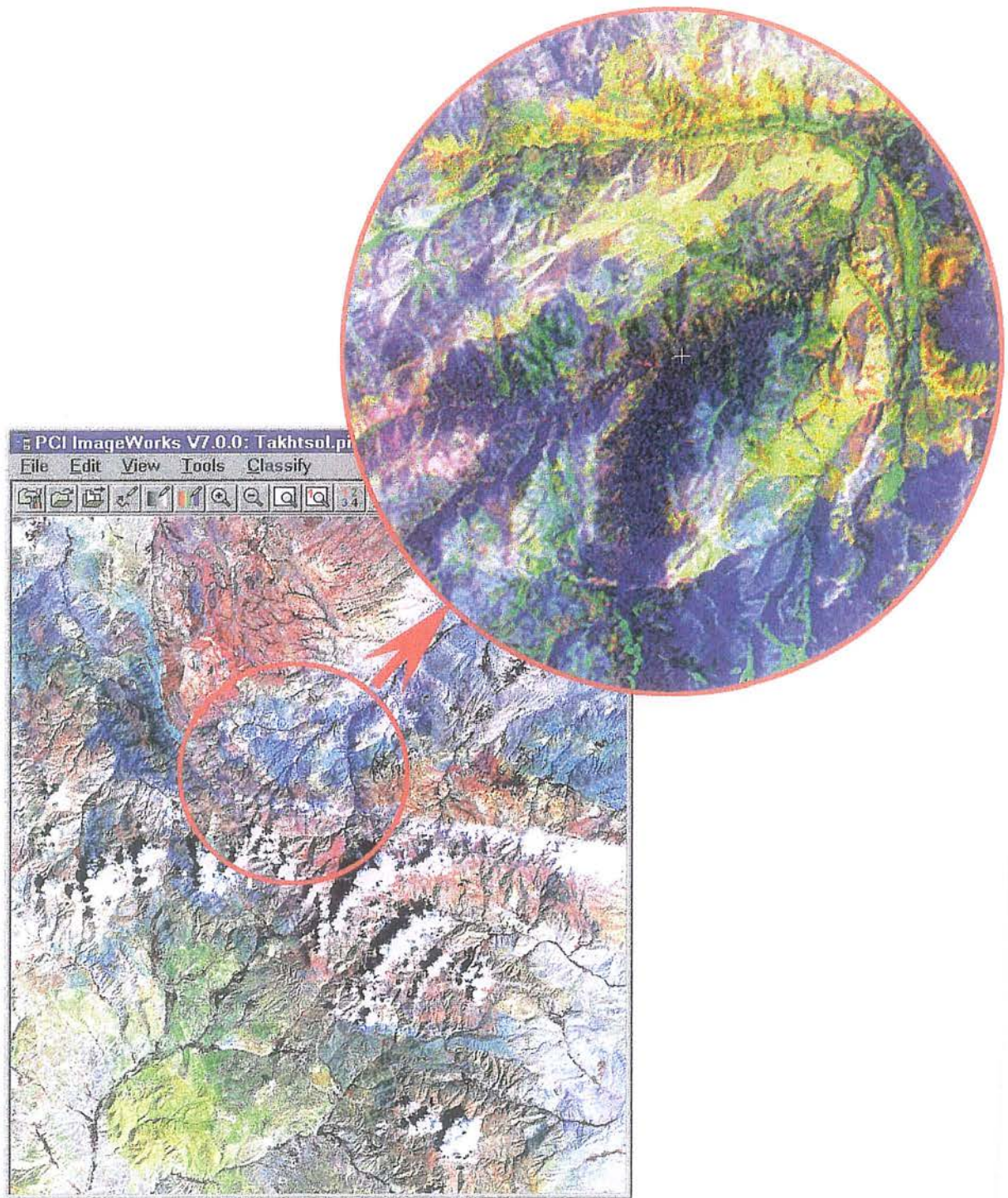
در این برگه بطور اعم آلتراسیون منطقه از ساختارهای حلقوی و گسل‌ها تبعیت می‌کند. در بیشتر جاها محل همبری ساختارهای حلقوی با یکدیگر و یا با گسل‌های موجود بهترین مکان برای تجمع کانسارهای گرمابی می‌باشد.

همانطور که در تصویر ۱۱-۴ دیده می‌شود در بخش باختری برگه ساختار حلقوی بزرگی قابل تشخیص می‌باشد که دگرسانی این محدوده در حاشیه این ساختار و در واحدهای ولکانیکی آندزیتی - تراکی آندزیت قابل تشخیص است و همچنین در محدوده زره‌شوران ساختار حلقوی دیگری دیده می‌شود که محل همبری این ساختار حلقوی با ساختار حلقوی بزرگ خاوری، معدن آق دره قرار می‌گیرد.

با توجه به تصویر ۱۲-۴ هفت محدوده اکتشافی مشخص گردیده است که برای پی‌جوئی بیشتر در اختیار گروه اکتشاف سازمان زمین‌شناسی قرار گرفته است. با توجه به اینکه بزرگترین مخازن طلای دنیا در زونهای برشی (Shear Zones) قرار دارند شاید بتوان در برگه تخت سلیمان در شمال روسیه قراول خانه در واحدهای شیستی کوه اورتاپورد که اندیس‌های پیریت و کالکوپیریت بوفور در این واحدهای سنگی قابل تشخیص است، از لحاظ ساختاری با توجه به زون برشی گسلی، گسل تخت سلیمان در شمال محدوده روسیه قراول خانه را جهت پی‌جوئی طلا تاکید نمود. ب



تصویر ۱۰-۴- تصویر ترکیب رنگ مجازی H,H+F,F در محیط RGB



تصویر ۱۱-۴- ساختارهای حلقوی در برگه تخت سلیمان و ارتباط آن با دگرسانی منطقه



تصویر ۱۲-۴- هفت محدوده اکتشافی با توجه به تصویر ترکیب مجازی